

175826

**FLOROTELÜRİT OPTİK CAMLARIN TERMAL
MİKROYAPISAL ve SPEKTROSKOPİK ÖZELLİKLERİ**

DOKTORA TEZİ

**İdris KABALCI
(509982020)**

**Tezin Enstitüye Verildiği Tarih : 13 Aralık 2005
Tezin Savunulduğu Tarih : 22 Şubat 2006**

Tez Danışmanı :

Prof.Dr. Gönül ÖZEN

Tez Danışmanı :

Prof.Dr. Alphan SENNAROĞLU (Koç Ü.)

Diğer Jüri Üyeleri

Prof.Dr. M. Lütfi ÖVEÇOĞLU (İ.T.Ü.)

Prof.Dr. Nihat BERKER (Koç Ü.)

Prof.Dr. Önder PEKCAN (İşik Ü.)

Doç.Dr. Cenap ÖZBEN (İ.T.Ü.)

Yard.Doç.Dr. Özgür MÜSTECAPIOĞLU (Koç Ü.)

ÖNSÖZ

Tez çalışmalarımın yürütülmesinde bilgi ve tecrübeleriyle yardımcı olan danışman hocam, Sayın Prof.Dr. Gönül ÖZEN'e ve Sayın Prof.Dr. Alphan SENNAROĞLU'na en içten sonsuz saygı ve teşekkürlerimi sunarım.

Deneysel uygulama ve araştırmalarda, laboratuar imkanlarını her zaman en doğal haliyle sağlayan, İ.T.Ü. Kimya Metalurji Fakültesi Malzeme Mühendisliği Bölümü Öğretim Üyesi, Sayın Prof.Dr. M.Lütfi ÖVEÇOĞLU'na, Koç Üniversitesi Fizik Bölümü Öğretim Görevlisi, Sayın Adnan KURT'a ölçümler esnasında yardımcılarından dolayı, Ümit DEMİRBAŞ'a teşekkürlerimi ve saygılarımı sunarım.

Tüm çalışmalarım süresince sevgi ve iyimserliklerinden dolayı, Arş.Gör. Ali GELİR ve Fizik Bölümü arkadaşımı; sevgileri, destekleri ve bana öğrettikleri hayat boyu geçerli ahlak kuralları için sevgili Annem ve Babam, Şerife ve Halil KABALCI'ya; eşim ve çocuklara teşekkürlerimi ve sevgilerimi sunarım.

Aralık 2005

İdris KABALCI

İÇİNDEKİLER

KISALTMALAR	v
TABLO LİSTESİ	vi
ŞEKİL LİSTESİ	viii
SEMBOL LİSTESİ	xii
ÖZET	xii
SUMMARY	xv
1. GİRİŞ	1
2. TEORİK YAKLAŞIMLAR	8
2.1. Önemli Cam Sistemleri	8
2.1.1. Oksitli Camlar	8
2.2. Nadir Toprak İyonları	12
2.2.1. Tulyum (Tm^{3+}) iyonu	13
2.3. Fiber Optik ve Yükselticiler	17
2.4. Işığın Soğurulması Emisyonu ve Einstein Katsayıları	20
2.4.1. Judd-Ofelt Formalizmi	24
2.4.2. Işımasız geçiş ve çapraz sönüüm	31
2.5. Optik Band Genişliği ve Urbach Enerjisi	33
2.6. Termal Analiz	34
2.7. Mikroyapı Karakterizasyonu	40
2.7.1. X-Işınları Kırınımı Metodu	40
2.7.2. Optik Mikroskop (OM) ve Taramalı Elektron Mikroskopu (SEM)	43
3. DENEYSEL YÖNTEMLER	47
3.1. Cam Malzemelerin Sentezi	47
3.2. Optik Ölçümler	49
3.2.1. Yoğunluk ölçümü	49
3.2.2. Kırılma indisinin hesaplanması	49
3.2.3. UV/VIS/NIR Soğurma spektroskopisi	50
3.2.4. Floresans spektroskopisi	50
3.2.5. Yaşam süresi spektroskopisi	51
3.3. Termal Analiz (DTA) ve Mikroyapısal Karakterizasyon (OM-XRD-SEM)	52
4. DENEYSEL SONUÇLAR	57
4.1. Yoğunluk, Termal Analiz ve Mikroyapısal Karakterizasyon Verileri	57
4.1.1. Aktivasyon enerjisinin hesabı	71
4.2. Optik Ölçüm Verileri	74

4.2.1. UV/VIS/NIR soğurma spektrumu verileri	74
4.2.2. Floresans spektrumu verileri	82
4.2.3. Yaşam süreleri spektrumu verileri	84
5. SONUÇLARIN DEĞERLENDİRİLMESİ	92
KAYNAKLAR	96
EKLER	105
ÖZGEÇMİŞ	116

KISALTMALAR

CW	: Sürekli Lazerler
EDFA	: Erbiyum katkılı cam fiberler
DTA	: Diferansiyel termal analiz
DSC	: Diferansiyel taramalı kalorimetre
FTIR	: Fourier dönüşümlü Raman spektroskopisi
IR	: Kızılaltı
KGO	: Kendiliğinden geçiş olasılığı
KYF	: Potasyum yitriyum florit
N-IR	: Yakın-kızılaltı
NDFA	: Neodimyum katkılı cam fiberler
NBO	: Oksijenle bağ yapmayan durum
PMT	: Fotoçoğaltıcı tüp
PDFA	: Prosedimyum katkılı fiber yükseltici
SEM	: Taramalı Elektron Mikroskopu
TDFA	: Tulyum katkılı fiber yükselticiler
XPS	: X-ışınları fotoelektron spekroskopisi
XRD	: X-ışınları kırınımı
YAG	: Yitriyum aluminyum garnet
YLF	: Yttrium lithium fluoride (LiYF_4)
YAP	: YAl_2O_3
ZBLAN	: $\text{ZrF}_4\text{-BaF}_2\text{-LaF}_3\text{-YF}_3\text{-AlF}_3\text{-NaF}$

TABLO LİSTESİ

	<u>Sayfa No</u>
Tablo 2.1. Periyodik tabloda orta kıızılatlı optik fiberlerde kullanılan elementler.....	9
Tablo 2.2. Nadir toprak elementleri	13
Tablo 2.3. Tm^{3+} iyonlarının taban durumundan uyarılmış duruma geçişleri gösteren hesaplanmış matris elemanları	29
Tablo 2.4. Bazı camların fonon enerjileri.....	33
Tablo 2.5. Isıtma hızına bağlı olarak farklı kristallenmeler için n ve m değerleri.....	38
Tablo 4.1. Cam malzemelerin kalınlıkları ve yoğunlukları.....	59
Tablo 4.2. $(1-x)TeO_2-xPbF_2$ camlardan $5^{\circ}C/dk.$ ısıtma hızında elde edilen DTA eğrilerindeki cam-geçiş, T_g , kristallenme, T_{p1} ve T_{p2} , ve ergime sıcaklıkları, T_m	61
Tablo 4.3. $(1-x)TeO_2-xPbF_2$ camlardan $10^{\circ}C/dk.$ ısıtma hızında elde edilen DTA eğrilerindeki cam-geçiş, T_g , kristallenme, T_{p1} ve T_{p2} , ve ergime sıcaklıkları, T_m	61
Tablo 4.4. $(1-x)TeO_2-xPbF_2$ camlardan $15^{\circ}C/dk.$ ısıtma hızında elde edilen DTA eğrilerindeki cam-geçiş, T_g , kristallenme, T_{p1} ve T_{p2} , ve ergime sıcaklıkları, T_m	61
Tablo 4.5. $(1-x)TeO_2-xPbF_2$ camlardan $20^{\circ}C/dk.$ ısıtma hızında elde edilen DTA eğrilerindeki cam-geçiş, T_g , kristallenme, T_{p1} ve T_{p2} , ve ergime sıcaklıkları, T_m	61
Tablo 4.6. %1.0 mol Tm_2O_3 içeren $(1-x)TeO_2-xPbF_2$ camlardan, $10^{\circ}C/dk.$ ısıtma hızında elde edilen DTA eğrilerindeki cam-geçiş, T_g , kristallenme, T_{p1} ve T_{p2} , ve ergime sıcaklıkları, T_m	61
Tablo 4.7. %1.0, 0.2 ve 0.5 mol Tm_2O_3 içeren $(1-x)TeO_2-xPbF_2$ camlardan $10^{\circ}C/dk.$ ısıtma hızında elde edilen DTA eğrilerindeki cam-geçiş, T_g , kristallenme, T_{p1} ve T_{p2} , ve ergime sıcaklıkları, T_m	61
Tablo 4.8. $0.9TeO_2-0.1PbF_2$, $0.85TeO_2-0.15PbF_2$, $.75TeO_2-0.25PbF_2$ cam malzemelerinin farklı ısıtma hızlarında elde edilen cam geçisi, T_g , kristallenme pik T_{p1} , T_{p2} sıcaklıkları değerleri.....	72
Tablo 4.9. DTA ve DSC ile elde edilen sıcaklık parametrelerinin karşılaştırılması, cam geçisi, T_g , kristallenme pik sıcaklığı, T_p	72
Tablo 4.10. Tm^{3+} 'un temel seviye soğurma bandlarının, integrali alınmış, soğurma tesir kesitlerinin kompozisyonuna bağımlılığı.....	80
Tablo 4.11. Judd-Ofelt şiddet parametrelerinin kompozisyonbağımlılığı ve ışimalı yaşam süreleri (τ_R).....	80
Tablo 4.12. Tm^{3+} iyonunun uyarılmış salınım tesir kesiti.....	82
Tablo 4.13. Floresans yaşam süreleri ve ışimalı kuvantum verimleri.....	85

Tablo 4.14. Tm^{3+} iyonunun $0.9TeO_2-0.1PbF_2$ camındaki ışınmalı geçiş olasılıkları, A_{ed} , ışınmalı yaşam süreleri, $\tau_R(ms)$, ve dallanma oranları, β değerleri.....	90
Tablo 4.15. $0.9TeO_2-0.1PbF_2$ ve $0.75TeO_2-0.25PbF_2$ cam malzemeleri için optik band genişliği E_{opt} , eV, ve ΔE Urbach enerjisi (eV) nin gösterimi.....	91
Tablo C.1. Tm^{3+} iyonunun $0.9TeO_2-0.1PbF_2$ camındaki ışınmalı geçiş olasılıkları, A_{ed} , ışınmalı yaşam süreleri, $\tau_R(ms)$, ve dallanma oranları, β değerleri.....	108
Tablo C.2. Tm^{3+} iyonunun $0.85TeO_2-0.15PbF_2$ camındaki ışınmalı geçiş olasılıkları, A_{ed} , ışınmalı yaşam süreleri, $\tau_R(ms)$, ve dallanma oranları, β değerleri.....	109
Tablo C.3. Tm^{3+} iyonunun $0.83TeO_2-0.17PbF_2$ camındaki ışınmalı geçiş olasılıkları, A_{ed} , ışınmalı yaşam süreleri, $\tau_R(ms)$, ve dallanma oranları, β değerleri.....	110
Tablo C.4. Tm^{3+} iyonunun $0.80TeO_2-0.20PbF_2$ camındaki ışınmalı geçiş olasılıkları, A_{ed} , ışınmalı yaşam süreleri, $\tau_R(ms)$, ve dallanma oranları, β değerleri.....	111
Tablo C.5. Tm^{3+} iyonunun $0.78TeO_2-0.22PbF_2$ camındaki ışınmalı geçiş olasılıkları, A_{ed} , ışınmalı yaşam süreleri, $\tau_R(ms)$, ve dallanma oranları, β değerleri.....	112
Tablo C.6. Tm^{3+} iyonunun $0.75TeO_2-0.25PbF_2$ camındaki ışınmalı geçiş olasılıkları, A_{ed} , ışınmalı yaşam süreleri, $\tau_R(ms)$, ve dallanma oranları, β değerleri.....	113
Tablo D.1. Deneysel malzemelerin özellikleri.....	114

ŞEKİL LİSTESİ

	Sayfa No
Şekil 1.1	: Tm ³⁺ iyonu için enerji seviye diyagramı..... 4
Şekil 1.2	: TeO ₂ -PbF ₂ -CdF ₂ malzemesinin faz diyagramı..... 6
Şekil 2.1	: Fiber optik teknolojisinde kullanılan malzemelerin listesi.(a): Optik fiber haberleşmesi için uygun olmayan, (b): üzerinde çalışılan ve optik fiber haberleşmesi için en ümit verici olan malzemeler..... 10
Şekil 2.2	: Elektron-elektron ve elektron-konak malzeme arasındaki yarılmaları gösteren enerji seviye diyagramını..... 15
Şekil 2.3	: Tm ³⁺ iyonu için enerji seviye diyagramı ve çapraz sönüm..... 16
Şekil 2.4	: %1.0 mol Tm ³⁺ iyonunun 0.9TeO ₂ -0.1PbF ₂ cam malzemesi için soğurma spektrumu..... 16
Şekil 2.5	: E ₁ ve E ₂ enerjili iki seviyeli sistem..... 21
Şekil 2.6	: Işımasız ve çapraz sönüm süreçleri..... 32
Şekil 2.7	: 0.9TeO ₂ -0.1PbF ₂ için DTA grafiği..... 36
Şekil 2.8	: Kristal yapıda Bragg denkleminin gösterilisi..... 42
Şekil 2.9	: Demet elektronları ile geri saçılımış elektronlardan ikincil elektron oluşumu..... 44
Şekil 3.1	: Zaman ayarlı elektrikli carbolite fırından bir görünüm 47
Şekil 3.2	: Malzeme sentezinde kullanılan kimyasallar, agata, platin krozeler, ve grafit kalıp..... 48
Şekil 3.3	: Sentezlenen Tm ³⁺ :TeO ₂ -PbF ₂ cam malzemelerinin görünümü..... 48
Şekil 3.4	: Floresans deney düzeneği..... 51
Şekil 3.5	: Yaşam süresi deney düzeneği..... 52
Şekil 3.6	: Temel DTA sistemi..... 53
Şekil 3.7	: XRD cihazının görünümü..... 54
Şekil 3.8	: OM cihazının görünümü..... 54
Şekil 3.9	: SEM cihazının görünümü..... 55
Şekil 4.1	: Kompozisyon'a bağlı yoğunluk değişimi..... 58
Şekil 4.2	: Konsantrasyona bağlı yoğunluk değişimi..... 58
Şekil 4.3	: 10°C/dak ısıtma hızında alınan, 0.9TeO ₂ -0.1PbF ₂ , 0.85TeO ₂ -0.15PbF ₂ , 0.75TeO ₂ -0.25PbF ₂ için DTA grafiği..... 62
Şekil 4.4	: 5,10, 15 ve 20 °C/dak ısıtma hızında alınan, 90TeO ₂ -10PbF ₂ için DTA grafiği..... 63
Şekil 4.5	: 5,10, 15 ve 20°C/dak ısıtma hızında 1. ve 2. pik değerleri için alınan, 0.85TeO ₂ -0.15PbF ₂ DTA grafiği..... 63
Şekil 4.6	: 5,10, 15 ve 20°C/dak ısıtma hızında alınan, 0.75TeO ₂ -0.25PbF ₂ DTA grafiği..... 64

Şekil 4.7	: (1-x)TeO ₂ -xPbF ₂ , (a) x=0.0, (b) 0.10, (c) 0.15, birinci kristalizasyon piki, (d) x=15, ikinci kristalizasyon piki, (e) x=0.25 cam malzemesinin XRD grafiği.....	64
Şekil 4.8	: (a) 0.90TeO ₂ -0.10PbF ₂ için 10 °C/dak'da 370°C ye; (b) 0.85TeO ₂ -0.15PbF ₂ birinci ekzotermik krsitallenme piki için 10 °C/dak'da 360°C ye; (c) 0.85TeO ₂ -0.15PbF ₂ ikinci ekzotermik krsitallenme pik için 10°C/dak'da 420°C ye; (d) 0.75TeO ₂ -0.25PbF ₂ için 10 °C/dak'da 340°C ye kristallendirilen malzemelerin optik mikroskop analizi.....	67
Şekil 4.9	: (a) 0.90TeO ₂ -0.10PbF ₂ malzemesinin 10 °C/dak da 370 °C de ısil işleme tutulmasıyla ilgili;(b) 0.85TeO ₂ -0.15PbF ₂ malzemesinin DTA sonuçlarına göre birinci ekzitermk kristallenme pikine göre 360 °C deki; (c) 0.85TeO ₂ -0.15PbF ₂ malzemesinin DTA sonuçlarına göre ikinci ekzotermik kristallenme pikine göre 420 °C deki SEM analizi.....	69
Şekil 4.10	: (a) 0.90TeO ₂ -0.10PbF ₂ malzemesinin 10°C/dak da 370°C de ısil işleme tutulmasıyla ilgili; (b) 0.85TeO ₂ -0.15PbF ₂ malzemesinin DTA sonuçlarına göre birinci ekzotermik kristallenme pikine göre 360°C deki; (c) 0.85TeO ₂ -0.15PbF ₂ malzemesinin DTA sonuçlarına göre ikinci ekzotermik pikine göre 420°C deki; (d) 0.75TeO ₂ -0.25PbF ₂ malzemesinin DTA sonuçlarına göre birinci ekzotermik kristallenme pikine göre 340°C deki kesitten alınan SEM analizi.....	71
Şekil 4.11	: 0.90TeO ₂ -0.10PbF ₂ malzemesi için Ozawa değişimi.....	73
Şekil 4.12	: x=0.10,0.15 ve 0.25 mol PbF ₂ malzemesi için Kissinger değişimi....	73
Şekil 4.13	: 0.90TeO ₂ -0.10PbF ₂ camı için 400-2000 nm dalga boyunda 1.0 mol% Tm ³⁺ iyonunun soğurma bandının kompozisyon'a bağımlılığı....	75
Şekil 4.14	: (1-x)TeO ₂ -xPbF ₂ camları için 400-840 nm dalga boyunda %1.0 mol Tm ³⁺ iyonunun soğurma bandının kompozisyon'a bağımlılığı.....	76
Şekil 4.15	: (1-x)TeO ₂ -xPbF ₂ camları için 1000-2000 nm dalga boyunda 1.0 mol% Tm ³⁺ iyonunun soğurma bandının kompozisyon'a bağımlılığı....	76
Şekil 4.16	: (1-x)TeO ₂ -xPbF ₂ camları için 395-840 nm dalga boyunda %y mol Tm ³⁺ iyonunun soğurma bandının konsantrasyona bağımlılığı.....	77
Şekil 4.17	: (1-x)TeO ₂ -xPbF ₂ camları için 1050-2000 nm dalga boyunda %y mol Tm ³⁺ iyonunun soğurma bandının konsantrasyona bağımlılığı....	77
Şekil 4.18	: Judd-Ofelt şiddet parametrelerinin PbF ₂ kompozisyonuna bağlı değişimi.....	81
Şekil 4.19	: Dalgalı boyuna bağlı olarak (1-x)TeO ₂ -xPbF ₂ camı için a=0.2, b=0.5 ve c=%1.0 mol Tm ³⁺ iyonunun ölçülen salınım şiddeti.....	83
Şekil 4.20	: x=%0.1 mol PbF ₂ , y=1.0 mol Tm ³⁺ iyonu için, 1470 nm deki ışma şiddetinin 1800 nm deki ışma şiddetine oranı.....	83
Şekil 4.21	: Floresans spektrumunun sıcaklığına bağlı değişimi.....	84
Şekil 4.22	: x=0.10 mol ve y=0.2 ve 1.0 mol Tm ³⁺ iyonu için, zamana bağlı 1800 nm deki lüminesans eğrisi.....	86
Şekil 4.23	: x=0.1 mol ve y=%0.2 ve 1.0 mol Tm ³⁺ iyonu için, zamana bağlı 1470 nm deki lüminesans eğrisi.....	86
Şekil 4.24	: x=%0.1 mol ve y=%0.2 ve 1.0 mol Tm ³⁺ iyonu için, zamana bağlı 1470 nm deki ölçülen yaşam süresi eğrisi.....	87
Şekil 4.25	: Konsantrasyona bağlı olarak ışınım kuvantum verimi değişimi.....	88
Şekil 4.26	: Kompozisyon'a bağlı olarak ışınım kuvantum verimi değişimi.....	88

Şekil 4.27	: 0.9TeO ₂ -0.1PbF ₂ ve 0.75TeO ₂ -0.25PbF ₂ camları için 370-770 nm dalga boyunda soğurma bandı.....	91
Şekil A.1	: 0.85TeO ₂ -0.15PbF ₂ camı için 400-2000 nm dalga boyunda %1.0 mol Tm ³⁺ iyonunun soğurma bandının kompozisyon'a bağlılığı.....	106
Şekil B.1	: Dalgaboyuna bağlı olarak 0.90TeO ₂ -0.10PbF ₂ camı için %1.0 mol Tm ³⁺ iyonunun ölçülen salınım şiddeti.....	107
Şekil E	: Enerji seviyeleri.....	115

SEMBOL LİSTESİ

T_g	: Cam geçiş sıcaklığı
T_p	: Kristallenme tepe sıcaklığı
T_m	: Erime sıcaklığı
D_{2h}, D_{4h}, D_4	: Simetri nokta grubu
n	: Kırılma indisı
τ_M, τ_R	: Yaşam süreleri
$\Omega_2, \Omega_4, \Omega_6$: Judd-Ofelt şiddet parametresi
Z	: Atom numarası
S	: Toplam spin kuantum sayısı
L	: Toplam orbital açısal momentum
E_{opt}	: Optik band genişliği
ΔE	: Urbach enerjisi
v	: Frekans
$\alpha(v)$: Soğurma katsayısı
λ	: Dalgaboyu
A_{ji}	: Kendiliğinden geçiş olasılığı katsayısı
E_j ve E_i	: Sistemdeki son ve ilk enerji seviyeleri
h	: Planck sabiti
k	: Boltzman sabiti
S_{ed}	: Elektrik dipol geçiş olasılığı
c	: Işık hızı
$U^{(t)}$: İndirgenmiş matris temsili
T_D	: Deby sıcaklığı
V	: Kristal potansiyeli
f_{den}	: Salınım etkisi
$\mu(\lambda)$: Soğurma katsayısı
W_R	: Kendiliğinden ışuma olasılığı
W_{MFR}	: Çoklu fonon sönübü
W_{ET}	: Enerji transferi oranı
E_c	: Kristallenme aktivasyon enerjisi
h, k, l	: Miller indisleri
N_A	: Avogadro sayısı

FLOROTELÜRİT OPTİK CAMLARIN TERMAL MİKROYAPISAL ve SPEKTROSKOPİK ÖZELLİKLERİ

ÖZET

Telürit esaslı cam malzemeler; katıhal lazer malzemelerinden lazer malzemesi olarak, fiber optik yükselticilerinde ve doğrusal olmayan optik camlarda kullanılan önemli fotonik malzemelerdir.

Bu nedenle, telürit camlarının spektroskopik özelliklerini deneysel araştırmacıların başlıca araştırma konusu haline gelmiştir. Telürit camlarının en önemli özellikleri olarak, geniş iletim bölgesine ($0.35\text{-}6\mu\text{m}$), en yaygın oksitli camlar arasında en düşük fonon enerjisine, yüksek kırılma indisine, düşük erime sıcaklığına, yüksek dielektrik sabitine sahip olmasıdır. Ayrıca, yakın morötesinden orta kıızılaaltı bölgeye kadar, geniş bir geçirgenlik bölgesine sahiptir. Atmosferik nemliliğe karşı dirençlidirler ve cam matrisi içine büyük oranda nadir toprak iyonları ile katkılabilirler. Lazer konak malzemesinin en önemli özelliklerinden bir diğeri ise, katkılanan nadir toprak iyonlarının $4f\text{-}4f$ geçişlerinin kendiliğinden ışıma olasılıklarıdır. Kendiliğinden ışıma olasılığı, uyarmalı ışıma tesir kesiti, kuantum verimi ve floresans dallanma oranıyla doğrudan bağlantılı olduğundan, lazer geçiği için önemli bir parametre olasılığı göstermektedir. Genel olarak, Judd-Ofelt teorisi, farklı $4f\text{-}4f$ geçişlerinin soğurma tesir kesitlerini inceleyerek, kendiliğinden geçiş olasılıklarını içeren, elektrik dipol geçiş olasılıklarının belirlenmesinde kullanılmaktadır. Kendiliğinden ışıma olasılığı, temel olarak Ω_t şiddet parametreleri ile, $U^{(t)}$ indirgenmiş matris elemanları, tensör operatörlerinin çarpımlarının toplamı olarak ifade edilmektedir. Katkılanan aktif iyon için kendiliğinden ışıma olasılıklarının daha yüksek değerlerini elde etmede, Ω_t şiddet parametreleri ile ilişkili olarak en iyi ve uygun kompozisyonun belirlenmesi gerekmektedir.

TeO_2 kristali, günümüzde optik fiberlerin temel maddesi olan SiO_2 gibi tek başına cam yapısı göstermemektedir. Fakat, TeO_2 konak malzemesine WO_3 , ZnO , ve PbF_2 gibi modifiye ediciler ilave edilirse, TeO_2 esaslı cam malzemeler elde etmek mümkündür. TeO_2 esaslı camların en düşük fonon enerjisine ve yüksek kırılma indisine sahip olması nedeniyle, lazer ışımı veren nadir-toprak iyonlarının ışıma olasılıklarını doğrudan etkilemektedir. Bu nedenle, cam fazında katılanan TeO_2 esaslı optik malzemelerin fiziksel özelliklerinin, modifiye edici elementlerin miktarına bağımlılığı detaylı olarak araştırılmalıdır. Bu nedenle PbO , ZnO ve PbF_2 gibi cam modifiye ediciler ile birlikte sentez edildiğinde görünür ve yakın kıızılaaltı bölgelerde geçirgenliği yüksek malzemeler elde etmek mümkündür.

Günümüzde hem kıızılaaltı bölgesinde iyi geçirgenliğe sahip, hem de üst enerji dönüşümü prensibine dayalı katıhal-lazer malzemeleri üzerine yapılan araştırmalar artmaktadır. Özellikle, Nd^{3+} , Er^{3+} ve Tm^{3+} iyonu gibi nadir toprak elementleriyle katkıllanmış camlar, lazerlerde aktif kazanç ortamı olarak kullanılmaktadır. Ayrıca bu

tür malzemeler, Tm^{3+} gibi nadir toprak elementiyle katkılandığında, 800-nm dalgaboyundaki bir ışığı, 363-450 nm aralığındaki bir dalga boyuna sahip ışığa dönüştürebilme özelliğine sahiptir.

Optik spektrumun yakın kızınlı bölgelerindeki uygulamaları nedeniyle, Tm^{3+} katkılı telürit cam malzemelerinin optik özelliklerinin bilinmesi, yeni lazer malzemelerinin sentezi ve teknolojik uygulamaları için önemlidir. Tulyum iyonu, 1470 ve 1800 nm dalgaboylarında, sırasıyla, fiber optik yükseltici ve fiber lazerler elde etmek için uygun geniş ışıma bandlarına sahiptir.

Bu çalışma, telürit optik camlarında, Tm^{3+} iyonlarının ışıma olasılıklarına, PbF_2 kompozisyonunun etkisinin araştırılması üzerine gerçekleştirilen spektroskopik çalışmaları kapsamaktadır. Tm^{3+} iyonu katkılı $(1-x)TeO_2-xPbF_2$ cam malzemeleri, kompozisyon ve konsantrasyon miktarına bağlı olarak, oda sıcaklığında, platin kroze içinde karıştırılan kimyasalların elektrikli-zaman ayarlı fırın'da $800^{\circ}C$ de eritilmesiyle sentezi gerçekleştirildi. Sentezi gerçekleştirilen cam malzemelerin soğurma spektrumu ölçümleri için yüzeyleri parlatıldı. Bu çalışmanın ilerleyen aşamalarında, PbF_2 kompozisyon katkılı $(1-x)TeO_2-xPbF_2$ camlarının termal özellikleri, kristalleşme kinetiği, mikroyapı morfolojisi, kristal fazlarının oluşumu, termal analiz yöntemi (DTA), X-ışınları kırınımı (XRD), Optik mikroskop (OM) ve taramalı elektron mikroskopu (SEM) teknikleri ile araştırıldı ve incelendi. Aynı zamanda, tulyum iyonu katkılı cam kompozisyonlarının, Judd-Ofelt şiddet parametreleri, ışimalı ve ışımasız geçiş olasılıkları, UV/VIS/NIR-soğurma, floresans ve yaşam süreleri deneyel olaraık incelendi.

Cam malzemelerin, termal analiz sonucu, cam geçiği, T_g , kristalizasyon, T_p ve erime, T_m sıcaklıklarını belirlendi. Sabit ısıtma hızında, termal analiz sonucu elde edilen DTA grafiklerinden anlaşıldığı üzere, kompozisyon miktari arttıkça, cam geçiği, T_g , kristalizasyon tepe, T_p , ve erime sıcaklıklarında, T_m , azalma görülmektedir. Diğer yandan, ısıtma hızı arttıkça, termal analiz sonuçlarındaki tepe değerlerinde genişlemeler tespit edilmiştir. Kristalizasyon tepe alanlarından yararlanarak kristalleşme kinetik enerjileri hesaplandı. Elde edilen cam malzemelerin, yüzey morfolojisi taramalı elektron mikroskopu (SEM) ile ve kristal faz yapıları ise X-ışınları kırınımı metodu (XRD) kullanılarak araştırıldı. Bu deneyler sonucunda, malzemede kristalleşme faz çeşitleri olarak, tetragonal α - TeO_2 , ortorombik γ - TeO_2 , kübik- $PbTe_3O_7$ ve kübik δ - TeO_2 fazlarında olduğu tespit edildi.

Deneyin ilerleyen aşamalarında ilk olarak elde edilen cam malzemelerin yoğunlukları Arhcimed'e's prensibinden yararlanılarak hesap edildi. Cam malzemelerdeki kompozisyon oranı $x=0.10$ mol'den 0.25 'e arttırıldıkça yoğunluklar, 6 dan 6.3 g/cm^3 e artmaktadır. İkinci adım olarak, sentezlenen her malzeme için üç farklı spektroskopik araştırma gerçekleştirildi. Tm^{3+} iyonu katkılı $(1-x)TeO_2-xPbF_2$ cam malzemelerdeki tulyum iyonlarının $4f-4f$ enerji seviyelerindeki kendiliğinden geçiş olasılıklarını belirlemek için, oda sıcaklığında 400-2000 nm arasında soğurma spektrumları elde edildi. Elde edilen soğurma spektrumlarına göre, Tm^{3+} iyonlarının, 1G_4 , 3F_2 , 3F_3 , 3F_4 , 3H_5 , 3H_4 ve 3H_6 soğurma bandlarına sahip oldukları belirlendi. Bu bölümde, Tm^{3+} katkılı cam malzemelerdeki kompozisyon ve konsantrasyonun ışıma bandları üzerindeki etkisi araştırıldı. Birinci set malzemelerde sabit $\%1.0$ mol tulyum iyonu için kompozisyon oranları 0.10 , 0.15 , 0.17 , 0.20 , 0.22 ve 0.25 olarak değiştirildi. İkinci set malzemeler için kompozisyon oranını sabit 0.10 mol PbF_2 için

tulyum iyonu konsantrasyonu %0.2, 0.5 ve 1.0 olarak değiştirildi. Cam malzemelerdeki konsantrasyon ve kompozisyon miktarlarının floresans üzerindeki etkisi, sürekli-dalga boyuna sahip 785-nm diyot lazer ile uyarılarak, PbS detektörü ile önyükselticiden geçen ışımalar 1200-2200 nm aralığında ölçüldü. Bu ölçüm sonucu, Tm^{3+} iyonunun 1470 ve 1800-nm de iki farklı ışima bandına sahip olduğu tespit edildi. Cam malzemedeki Tm^{3+} iyonu konsantrasyonu arttırıldıkça, 1470-nm $^3F_4 \rightarrow ^3H_4$ geçiş neticesinde oluşan ışima şiddeti, çapraz sönüm (cross-relaxation) etkisiyle 0.98 den 0.18 değerine azalma göstermektedir. Bu sonuç, %0.2 mol'den daha az orandaki Tm^{3+} iyonu için elde edilen lazer malzemesinin, 1470-nm dalga boyunda fiber optik yükselticiler için uygun olduğunu göstermektedir. Cam malzemelerdeki çapraz sönüm olayı, enerji transferi ve tulyum iyonlarının arasındaki ortalama mesafeye bağlı olduğu görülmektedir. PbF_2 kompozisyonunun malzemedeki Tm^{3+} iyonlarının uyarmasız geçiş olasılıklarının hesaplanması Judd-Ofelt teorisi kullanıldı. Judd-ofelt teorisine göre, PbF_2 miktarı arttırıldıkça, Ω_2 şiddet parametreside artış göstermektedir. Ω_4 ve Ω_6 şiddet parametreleri ise fazla bir değişim göstermemektedir. PbF_2 miktarı 0.10 mol'den 25 mol'e artırıldığında, $^3H_4 \rightarrow ^3H_6$ geçişleri sonucunda oluşan ışınmali yaşam süresi (radiative lifetime), τ_R , 2.9 ms'den 1.49 ms'ye değerine düşmektedir. 1470 ve 1800-nm dalga boyunda ölçülen yaşam süreleri, malzemenin kuantum veriminin hesaplanması belirleyici bir etkisi olmaktadır. 0.2 mol Tm^{3+} katkılı cam malzemenin ($0.9TeO_2-0.1PbF_2$) en yüksek ışınım kuantum verimine sahip olması nedeniyle 1470 nm dalga boyunda fiber optik yükseltici olarak kullanılma potansiyeline sahip olduğu görülmektedir.

THERMAL MICROSTRUCTURAL and SPECTROSCOPIC PROPERTIES OF THE FLUOROTELLURITE OPTICAL GLASSES

SUMMARY

Tellurite-based glass materials are important photonic materials because they can be built as the solid-state lasers, the fiber optics amplifiers and the non-linear optical devices.

Therefore the spectroscopic properties of the tellurite glasses are one of the main research of an experimental scientist. Tellurite glasses are transparent for a wide range of the electromagnetic spectrum in the visible and the near infrared region. They have low phonon energy, high refractive index, low melting temperature, and high dielectric constant comparing with other oxide glasses such as silicate glasses. They are also resistant to atmospheric moisture and capable of incorporating large concentrations of rare-earth ions into the glass matrix. One of the most important property of the laser host materials is the spontaneous emission probabilities for the $4f$ - $4f$ transitions of the rare earth ions since the spontaneous emission probability of the laser transition is an important parameter. It is directly related to the stimulated emission cross-section, radiative quantum efficiency, and fluorescence branching ratio. The Judd-Ofelt model is generally used to determine the electric-dipole transition probabilities including the spontaneous decay rate by utilising the absorption cross-sections of several $4f$ - $4f$ transitions. The Judd-Ofelt theory models the experimentally measured oscillator strengths as a linear sum of standard transition matrix elements involving so-called Judd-Ofelt parameters (JO). These Judd-Ofelt parameters are directly influenced by the host glass matrix and provide a qualitative measure of the asymmetry of the local crystal field near the rare-earth ion. The spontaneous emission probability is also affected by the sum of products of intensity parameters, Ω_t ($t=2, 4, 6$) and reduced matrix elements of tensor operators, $U^{(t)}$. To make the best use of the glass composition with respect to the intensity parameters, Ω_t , it is desirable to obtain higher values of the spontaneous emission probabilities for the suitable active ions and glass compositons.

TeO_2 crystal does not have the ability to form glass easily like SiO_2 , which has been used in the fiber optic amplifiers. But, addition of modifier elements like WO_3 , ZnO , and PbF_2 , produces TeO_2 based bulk glasses. Because of low phonon energy and high refractive index of the tellurite glasses, the spontaneous emission probabilities of the rare earth ions are expected to be larger. Therefore, properties of the TeO_2 based optical materials which is in the crystalline phase, includes a detailed research about the dependence on the amount of the modifier elements. After modifying the tellurite based glasses with the PbO , ZnO and PbF_2 glass modifier, it is easy to synthesize of large transparency glass materials in the visible and near infrared region.

In recent years, research on the solid state laser materials has increased. Especially, rare-earth ions like Nd^{3+} , Er^{3+} , and Tm^{3+} doped glasses have been used as the laser host. In addition, when doped into this kind of glass material, rare-earth ions such as Tm^{3+} , can change from 800-nm infrared emission to the visible 450 nm.

Due to applications in the near infrared region, properties of the Tm^{3+} doped tellurite glass materials lead to the new technological applications and synthesization of laser materials. Tm^{3+} ions have large emission bands at 1470 and 1800 nm wavelength suitable for the fiber optic amplifier and fiber laser.

This study include the spectroscopic research about the effect of lead fluoride on thulium ion emission probabilities in tellurite optical glasses. Tm^{3+} -ions doped $(1-x)\text{TeO}_2\text{-xPbF}_2$ glass materials were synthesised with compositions and ion concentrations in an electrically heated furnace in a platinum crucible at 800°C for 60 min. After synthesization of the glass materials, the surfaces were polished for the absorption spectrum by using alumina and cerium powder. In the next section of this research, the thermal analysis, crystallization kinetics, microstructural morphology, properties of the crystalline phases are investigated by using differential thermal analysis (DTA), x-ray diffraction spectrometry (XRD), optical microscope (OM), and scanning electron microscope (SEM) of the Tm^{3+} doped and undoped $(1-x)\text{TeO}_2\text{-xPbF}_2$ glasses. In addition, Judd-Ofelt intensity parameters, transition probabilities of the radiative and non-radiative, absorption spectrum in the UV/VIS/NIR region, florescence and lifetime spectrum were examined for the Tm^{3+} -doped tellurite glasses.

In the DTA scan at a constant heating rate, the glass transition, T_g , crystallization peak, T_p , and melting temperature were determined. All these parameters at a constant heating rate shows strong dependence on the glass composition. On the other hand, the DTA exotherm broadened as a result of increase in the heating rate by the time. The activation energies were calculated by using the DTA exotherm. The microstructure of the crystalline phases which related to the glass sample were investigated by using OM, SEM and XRD techniques. As a result of this experimental research, tetragonal $\alpha\text{-TeO}_2$, orthorhombic $\gamma\text{-TeO}_2$, cubic- PbTe_3O_7 and cubic $\delta\text{-TeO}_2$ phases were found in the glass structure.

In the next phase of experimental study, first of all, the density of each glass sample was measured by using Archimedes' principle with distilled water as the immersion liquid. As composition x varied from 0.10 to 0.25 mol, the measured density of the samples increased from 6 to 6.3 g/cm³. Second, three different spectroscopic measurement were performed with each glass sample. The absorption measurements were first made to determine the spontaneous emission probabilities of the $4f$ - $4f$ transitions of the Tm^{3+} ions for the $(1-x)\text{TeO}_2\text{-xPbF}_2$ glasses with a spectrophotometer in the 400-2000 nm. Related with absorption measurements, six absorption bands corresponding to the absorption of the $^1\text{G}_4$, $^3\text{F}_2$, $^3\text{F}_3$, $^3\text{F}_4$, $^3\text{H}_5$, and $^3\text{H}_4$ level were found to vary with the glass composition. In this chapter, we have investigated the luminescence properties as a function of glass composition and Tm^{3+} ion concentration in a new type of Tm^{3+} -doped tellurite glass. In the first set, the active ion concentration was constant (1.0 mol.% Tm^{3+}) and $x=0.10, 0.15, 0.17, 0.20, 0.22$ and, 0.25 mol. The second set had samples with $x=0.10$ mol and active ion concentrations of 0.2, 0.5, and 1.0 mol.%. In the fluorescence measurements, the

samples were then excited with a 25-mW continuous wave diode laser at 785-nm to measure the relative emission strengths of the 1470 -nm and 1800 -nm bands. After passing through a 0.5-m Czerny-Turner type monochromator, the fluorescence signal was detected with a PbS detector and amplified in two stages by using a preamplifier and a lock-in amplifier. Lifetimes of the 3F_4 and 3H_4 levels were measured with a pulsed 795-nm Ti^{3+} :sapphire laser which produced 60-nsec pulses at 1kHz and 500-Hz repetition rates. Our results show that as the Tm^{3+} ion concentration increases from 0.2 mol.% to 1.0 mol.%, the ratio of the 1470-nm intensity decreases from 0.98 to 0.18 relative to that of the 1800-nm band due to the onset of cross-relaxation. Rates of the cross relaxation were related with energy transfer between the Tm^{3+} ions in the glass host materials. We further investigated the variation of the emission cross section as a function of host compositions and found that for a fixed thulium concentration of 1.0 mol.%, samples with $x=0.20$ mol have the highest emission cross-sections at 1470 nm and 1800 nm. As a result, the luminescence quantum efficiencies of the 1470-nm and 1800-nm transitions were maximum for host compositions with $x=0.20$ mol and $x=0.22$ mol respectively. This result suggests that samples ($0.9TeO_2-0.1PbF_2$) with concentration less than 0.2 mol.% Tm^{3+} are most suitable for the design of 1470-nm fiber optic amplifier.

1. GİRİŞ

Katıhal lazer malzemeleri nadir toprak iyonu veya geçiş metal iyonu katkılı cam malzemelerden meydana gelmektedir. Dolayısıyle, üretimi yapılacak lazer cam malzemelerinin spektroskopik ve lazer özellikleri üzerinde, cam matrisinin ve katkı iyonlarının büyük bir etkisi bulunmaktadır. Bu nedenle, lazer malzemelerinin fiziksel özellikleri ile cam matrisi arasında kuvvetli etkileşmelerin olması, cam matrislerindeki kompozisyonun ve konsantrasyonun optik ve termal olarak etkilerinin araştırılmasını gerektirmektedir.

İlk cam lazeri 1960 yılında, Snitzer tarafından baryum silikat cam malzemesi kullanılarak elde edilmiştir [1]. Bunu takip eden yıllarda, nadir toprak iyonu katkılı cam malzemelerin spektroskopik araştırmaları hız kazanmıştır. Bu nedenle, cam malzemeler sahip oldukları mükemmel homojen, kararlı, iyi floresans ve şeffaflık özelliği nedeniyle, bilimsel ve teknolojik araştırmaların ilgi odağı haline gelmiştir [2].

Optik haberleşme alanında cam malzemelerin ilk kez optik fiber olarak kullanılmaya başlanmasıyla birlikte, cam malzemelerin nadir toprak iyonları için iyi bir matris ortamı oluşturduğu görülmüştür [3]. Ayrıca, fiber teknolojisinin optik haberleşmedeki başarılı uygulamaları, nadir toprak iyonu katkılı yükselticiler ile fiber lazerlerin üretilmesine basamak oluşturmuştur. Townsed ve ark. 1987 yılında nadir toprak iyonu katkılı düşük kayıplı optik fiberlerin üretilmesini başarmışlardır [4]. Bu tür fotonik malzemeler olarak, camların en önemli avantajı, üretilen fiberlerin çok düşük oranda ışık kayıplarının olmasıdır. Günümüzde, Er³⁺ katkılı (EDFA) 1500-nm dalga boyunda fiber yükselticiler ticari olarak üretilmeye başlanmıştır. Genellikle, Er³⁺ katkılı fiberler de, silika malzemesi matris ortamı olarak kullanılmıştır. Bu malzemeden elde edilen fiberlerdeki erbiyum iyonunun ışma spketrumu ve kazancının elde edilişi, Dr. Ahmet R. Kortan tarafından OFS (Optical Fiber Research) laboratuvarında başarıyla gerçekleştirilmiştir [4-5]. Optik haberleşmede kullanılan Er³⁺, Nd³⁺ ve Pr³⁺ katkılı fiber optik yükselticiler yaklaşık olarak 1300-nm ve 1550 nm dalga boyları yakınında ışma bandlarına sahiptir. Nd³⁺,

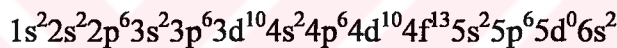
Pr^{3+} ve Dy^{3+} gibi nadir toprak iyonu katkılı fiber yükselticiler, 1300-nm ışırma band aralığında en iyi potansiyel uygulamalara sahiptir [6-9]. Gelişen optik ve fotonik teknolojisi, haberleşme alanında daha geniş iletim band aralığına ihtiyaç olduğunu göstermektedir. Bu nedenle, Tm^{3+} iyonunun ışırma bandlarının kıızıltı bölgede olması nedeniyle, spektroskopik ve yapısal olarak araştırılması gerekmektedir.

Mevcut teknolojik uygulamalarda, bir çok fiber lazerlerin ve fiber yükselticilerin üretiminde silika ve florit esaslı cam malzemeler kullanılmaktadır. Böylesi ümit verici gelişmelere rağmen, silika cam malzemelerin sahip olduğu yüksek fonon enerjisi ve florit cam malzemelerin ise düşük cam kararlılığı ve zayıf kimyasal dayanıklılığı birer dezavantaj olarak karşımıza çıkmaktadır [10]. Aynı zamanda, oksitli camlar arasında olan, silika (1000 cm^{-1}), fosfat (1100 cm^{-1}) ve borat (1400 cm^{-1}) camlarının sahip olduğu yüksek fonon enerjisi nedeniyle, enerji seviyeleri arasındaki çoklu fonon enerji geçişleri baskın hale gelmektedir [11].

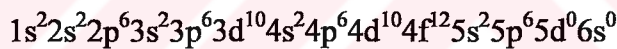
Oksitli camlar arasında yer alan TeO_2 esaslı fotonik malzemeler mükemmel optik özellikler göstermektedir. Telürit esaslı malzemeler, silika, borat ve florit cam malzemelerle karşılaştırıldığında, düşük erime sıcaklığı, T_m , yüksek kırılma indisi, $n > 2$, düşük fonon enerjisi, 780 cm^{-1} , yüksek dielektrik sabiti, görünürlük ve kıızıltı bölgede iyi derecede şeffaflık özellikleri göstermektedir [12-16]. Ayrıca, atmosferik nemliliğe karşı direnç, nadir toprak iyonları ile büyük oranlarda katkılabilirme özelliği de bulunmaktadır [17]. Telürit camlarının optik geçirgenlik bölgesi, $0.35\text{-}6 \mu\text{m}$ arasında değişim gösterirken, silika cam mazlemeleri $0.2\text{-}3 \mu\text{m}$ arasında değişim göstermektedir [18]. Telürit cam malzemelerin düşük erime sıcaklıklarının olması, yaklaşık 500°C , yeni malzemelerin üretilmesi ve işlenmesi aşamalarını kolaylaştırmaktadır. Düşük fonon enerjisi ve yüksek kırılma indisi ise, telürit cam malzemelerinin doğrusal olmayan optik cihazlarda ve fiber lazerlerde uygulama imkanlarını kolaylaştırmaktadır. Örneğin düşük fonon enerjisi neticesinde nadir toprak iyonlarının enerji seviyeleri arasındaki düşük ışırmasız enerji geçişleri silika cam malzemelerinde mümkün görülmemektedir. Buna ilave olarak, düşük fonon enerjisi telürit cam malzemelerinde daha yüksek ışınım kuantum verimi ve daha fazla floresans ışırma oranı sağlamaktadır [19]. (%1.0 mol) Tm^{3+} katkılı $\text{Ga}_2\text{S}_3\text{-GeS}_2\text{-La}_2\text{S}_3$ cam malzemesi için Kadono, $^3\text{F}_3(^+3\text{F}_2)$ ve $^3\text{H}_4(^3\text{F}_4)$ enerji seviyelerinin kuantum verimlerini $\%13 \pm 1$ ve $\%93 \pm 7$ olarak bulmuştur [20]. Yamauchi (%1.0 mol) $\text{Tm}^{3+}\text{:TeO}_2\text{-BaO-SrO-Nb}_2\text{O}_5$ cam malzemesinin $^3\text{H}_4(^3\text{F}_4)$ enerji seviyesi için

kuvantum verimini %86.2 olarak bulmuştur [21]. Balda (%0.5 mol) Tm³⁺ katkılı GeO₂-PbO-Nb₂O₅ cam malzemesi için ³H₄(³F₄) enerji seviyesinin kuvantum verimini %75 olarak bulmuştur [22]. Bu özellikler kıızılatlı bölgede yeni fiber lazerlerin ve fiber yükselticilerin oksitli cam malzemelerden üretilebileceğini vurgulamaktadır.

Nadir toprak iyonu katkılı cam malzemelerde, lazer ışması, telurit optik malzemelerine eser miktarda katılan nadir toprak iyonlarının $4f^n$ enerji seviyesindeki elektronik geçişler neticesinde oluşmaktadır. Dolayısıyle, teknolojik olarak üretilen fotonik malzemelerin optik özellikleri $4f^N$ elektronik konfigürasyonundaki $4f$ - $4f$ enerji seviyeleri arasındaki elektrik dipol geçişlerine kuvvetli bir bağılık göstermektedir. Çünkü nadir toprak iyonlarının cam matris içinde kararlı özelliği bulunmaktadır. Tulyum atomunun atom ağırlığı 169, atom numarası ise 69 dur. 69 elektrona sahip olan tulyum iyonunun elektronik konfigürasyonu, [Xe] $4f^{13}6s^2$ olup, burada [Xe] xenon'un elektronik konfigürasyonunu göstermektedir: Kısaca, nötral durumda orbital dağılımı,

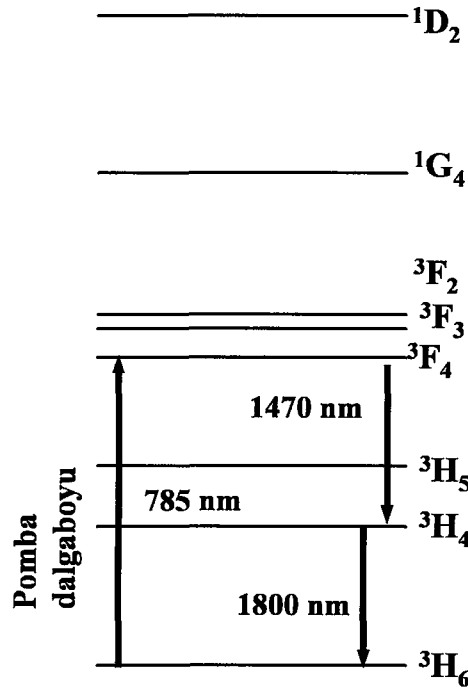


ve ionize olmuş durumda Tm³⁺ iyonunun orbital dağılımı,



şeklindedir.

Elektronik konfigürasyondaki ilk 9 set tamamıyla doldurulurken, $4f$ orbitalleri kısmen dolu olarak bulunmaktadır. Ayrıca, $4f$ enerji seviyesi, en dış orbitallerde bulunan $5s$ ve $5p$ enerji seviyeleri tarafından korunmaktadır. Bu korunma etkisiyle nadir toprak iyonları keskin geniş soğurma bandları göstermeye ve enerji seviyeleri cam matris ortamından fazla etkilenmemektedir. Nadir toprak iyonlarının ilginç diğer bir özelliği ise, $4f^N$ enerji seviyesi arasındaki elektrik dipol geçişlerinin, Laporte kuralı gereğince, parite korunumu nedeniyle yasaklı olması ve zıt pariteli bir $4^{N-1}5d$, konfigürasyon ile pertürbe edildiğinde izinli elektrik-dipol geçişleri görülmeketdir. Bu tür iyonların elektronik konfigürasyonu kuvantum mekaniğinde Russel-Saunders notasyonu, $^{2S+1}L_J$ ile gösterilmektedir. Burada, S toplam spin kuvantum sayısını, $L=S, P, D, F, G, \dots$ şeklinde toplam orbital açısal momentumu, $J=L+S$ ise toplam açısal momentumu, L ise spektroskopik terimi ifade etmektedir [23].



Şekil 1.1 : Tm^{3+} ionu için enerji seviye diyagramı [24].

Er^{3+} , Nd^{3+} , Pr^{3+} iyonlarına ilave olarak, Tm^{3+} görünür ve kızılaltı bölgelerde çalışan fiber yükseltici ve fiber lazer olarak üzerinde çalışılan diğer önemli bir nadir toprak iyonudur. Şekil 1.1'de Tm^{3+} iyonun enerji seviyeleri görülmektedir. Tulyum iyonu 1470-nm ($^3\text{F}_4 \rightarrow ^3\text{H}_4$) ve 1800-nm ($^3\text{H}_4 \rightarrow ^3\text{H}_6$) dalga boylarında önemli iki adet ışma bandlarına sahiptir. Tm^{3+} iyonu ışımalarında, $^3\text{H}_4 \rightarrow ^3\text{H}_6$ ve $^3\text{F}_4 \rightarrow ^3\text{H}_6$ enerji seviyeleri arasındaki elektronik geçişleri kimyasal sensörlerde, tıp ve atmosferik uygulamalarda kullanılma potansiyeline sahip görülmektedir. Aynı zamanda 1470-nm ışma bandı fiber-optik yükselticilerde, 1800-nm deki ışma bandı ise tulyum esaslı fiber lazer sistemlerinin tıbbi spektroskopik uygulamalarında uygunluğu bulunmaktadır. Diğer bir ilginç özellik ise, Tm^{3+} iyonunun 800-nm dalga boyunda kuvvetli soğurma bandına sahip olması ve bu dalga boyunda $^3\text{H}_6 \rightarrow ^3\text{F}_4$ enerji seviyesinin InGaAs yarıiletken diode lazer'lerle uyarılabilme özelliğidir [25].

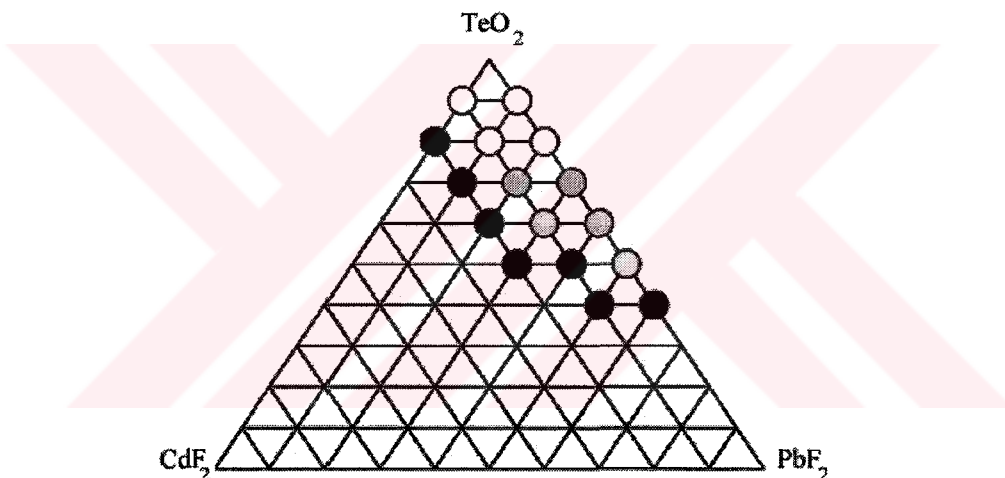
Nadir toprak iyonlarının enerji seviyeleri arasındaki ışimalı geçiş olasılıkları, cam matris ortamına bağlı olarak değişim göstermesi nedeniyle önemli bir parametredir. Lazer malzemelerinde ışimalı geçiş olasılıkları, $A(i,j)$, malzemedeki toplam ışma tesir kesiti, ışimalı yaşam süresi, τ_R , floresans dallanma oranı, β , ve ışınım kuantum verimiyle, η , yakından ilgilidir. Nadir toprak iyonlarının $4f$ - $4f$ enerji seviyeleri

arasındaki elektrik dipol geçiş olasılıkları, Judd-Ofelt teorisi yardımıyla hesaplanır. Telürit cam malzemelerdeki Tm^{3+} iyonunun görünür ve kıızıltı spektrum bölgesindeki soğurma bandları göz önüne alınarak, Judd-Ofelt şiddet parametreleri, Ω_2 , Ω_4 , Ω_6 hesaplanır. Yapılan bilimsel araştırmalarda, Ω_2 parametresi malzemedeki yerel simetriye ve geçişlere bağlı bir değişim gösterirken, Ω_4 ve Ω_6 parametreleri malzeme içi değişimlerden fazla etkilenmediği görülmüştür [8].

Günümüz teknolojisinde kullanılan bir çok optik cihazın performansı, verilen iyon için, uyarılmış enerji seviyesindeki iyonların yaşam sürelerine (τ) bağlılık göstermesindendir. Uyarılmış seviyedeki iyonların yaşam süreleri iki nedene bağlıdır: Bunlar'dan birincisi, ışimalı geçişler (radiative lifetime- τ_R), diğer ise ışımasız geçişlerdir (non-radiative transition- τ_{NR}). ışimalı geçişler, nadir toprak iyonu içindeki yerel kristal alanı simetrisinin değişiminden etkilenmektedirler. Taylor ve ark. $Tm^{3+}:60TeO_2-40ZnCl_2$ cam malzemesi için 3F_4 (3H_4) ve $^3H_4(^3F_4)$ (parantez içi gösterim Taylor ve ard. için geçerli) seviyelerindeki tulyum iyonu için hesaplanan ışimalı yaşam süreleri $471\text{ }\mu\text{s}$ ve 4.0 ms ; Lim ve ark. ise Tm^{3+} katkılı oxyfluoroborate camları için 2078 ve $351\text{ }\mu\text{s}$ olarak bulmuşlardır [26-27]. Telürit optik malzemelerinin sahip olduğu düşük fonon enerjisi, bu malzemelerdeki ışimalı geçiş olasılıklarını artırmaktadır, diğer yandan silika esaslı cam malzemelerin sahip olduğu yüksek fonon enerjisi ise silika esaslı malzemelerin ışımasız geçişlerini artırmaktadır. Kristal simetrisine ek olarak, cam konak malzemesindeki yerel fononların elektron orbitalleriyle (elektron-fonon birleşimi) çiftlenimi, uyarılmış seviyedeki iyonların örgü titreşimi sonucu ışımasız geçişlere neden olmaktadır. Enerji seviyeleri arasındaki ışımasız geçişler, iyonlar arasındaki enerji transferi sonucu, fononların oluşması ve iyon-iyon etkileşmesiyle yakından ilgilidir. Cam matrisi içindeki iyon konsantrasyonu miktarı, iyonlar arasındaki enerji transferini etkilemektedir. Dolayısıyle bir çok oksitli camların fonon enerjisi malzemenin kuvantum verimiyle ilgilidir [28].

Telürit optik malzemelerinin optik fiber olarak kullanılması aşamasında, malzemenin yapısal özelliklerinin bilinmesi cam yapının kararlılığının tespiti için üzerinde durulması gerekli diğer bir konudur. Telür elementinin metal ve metal olmayanlar arasında olması nedeniyle daha bir önem arzettmektedir. Telür dioksit (TeO_2), telür (Te) elementinin en kararlı oksiti olup, erime sıcaklığı $733^\circ C$ dir. Silva tarafından sentezi gerçekleştirilen $TeO_2-PbF_2-CdF_2$ malzemesinin faz diyagramına göre, Şekil

1.2'de görüldüğü gibi, $\text{TeO}_2\text{-PbF}_2$ cam malzemesinin cam olma aralığı %70 - %90 TeO_2 değerleri arasında değişmektedir. %70 mol TeO_2 ve %90 TeO_2 'den sonraları için cam olma özelliği kaybolmaktadır. Stehlik ve Balak 1946 yılında x-ışınları kırınımı sonucunda telür dioksitin kristal yapısının $\alpha\text{-TeO}_2$ (paratelürit) olarak saptamışlardır. 1967 yılında Beyer tarafından yapılan x-ışınları analizinde paratelürit yapının yanısıra $\beta\text{-TeO}_2$ kristal yapısının olduğunu kanıtlamışlardır [29-41]. Telürit kristal faz yapıları arasında, $\alpha\text{-TeO}_2$ den farklı olarak, $\gamma\text{-TeO}_2$ yeni bir fazı ve $\delta\text{-TeO}_2$ ise bu faz yapılarının üst üste binmiş şeklini kapsamaktadır. Blanchandin, iyi kristalize olmuş $\gamma\text{-TeO}_2$ yapısını elde etmiş ve XRD analizi sonucunda ortorombik yapıda olduğunu ($a=0.845$ nm, $b=0.499$ nm, $c=0.43$ nm ve $Z=4$), ayrıca WO_3 katkılı camda kübik $\delta\text{-TeO}_2$ kristal yapısının olduğunu gözlemiştir [41].



Şekil 1.2 : $\text{TeO}_2\text{-PbF}_2\text{-CdF}_2$ malzemesinin faz diyagramı [40].

Bu çalışmada, Bölüm 1, TeO_2 esaslı cam malzemelerin fiziksel ve optik özellikleri ile teknolojik uygulamalarını kapsamaktadır. Bölüm 2, önemli cam sistemleri, nadir toprak iyonları ve Tm^{3+} iyonunun özellikleri, fiber optik yükselticiler, ışığın soğurma ve emisyonu ile ilgili temel ve teorisiyle ilgili olarak Judd-Ofelt formalizmi, termal analiz ve mikroyapısal karakterizasyonu ihtiva etmektedir. Bölüm 3'de deneysel yöntemler olarak, optik özellikleri içeren, soğurma, floresans spektroskopisi ve yaşam süreleri; termal ve mikroyapısal özellikleri kapsayan termal analiz, optik mikroskop, X-ışınları kırınımı ve taramalı elektron mikroskopu hakkında deneysel çalışmaları ve kullanılan malzemelerin özellikleri deneysel teknikler olarak anlatıldı.

Deneysel çalışmanın tamamını bünyesinde barındıran 4. Bölüm içerisinde, farklı kompozisyon ve konsantrasyonlarda sentezi gerçekleştirilen cam malzemelerin, termal analiz (DTA), X-ışınları kırınımı (XRD), optik mikroskop (OM), taramalı elektron mikroskopu (SEM) ile yüzey morfolojisinin ve kristal faz çeşitlerinin araştırılması yapıldı. Ayrıca, bu cam malzemelerin soğurma spektrumları 400-2000 nm arasında ölçüldü, floresans ışımaları ise 1200-2200 nm arasında sürekli özellikli (cw) lazer diyon kullanılarak ölçüldü. Tulyum (Tm^{3+}) iyonlarının 1470 ve 1800-nm deki ışıma bandları tespit edildi, ilgili enerji seviyelerindeki tulyum iyonlarının yaşam süreleri Nd^{3+} :YAG lazer darbeli Ti:safir lazeri kullanılarak hesaplamalar gerçekleştirildi.

2. TEORİK YAKLAŞIMLAR

2.1. Önemli Cam Sistemleri

Teknolojik amaçlı endüstriyel olarak üretilen cam malzemeleri başlıca, oksitli, oksitli olmayan ve organik polimerik cam malzemeler olarak sınıflandırmak mümkündür. Silika, SiO_2 , fosfat, P_2O_5 , borat, B_2O_3 ve telürit, TeO_2 esashı malzemeler oksitli cam malzemelere; kalkojen malzemeler, $\text{Ge}_{33}\text{As}_{12}\text{Se}_{55}$, oksitli olmayan cam malzemelere örnek gösterilirken ve halen organik polimerik cam malzemelerin üzerinde çalışmalar devam etmektedir. Dolayısıyle günümüzde, haberleşme amaçlı olarak kullanılan optik fiberler, özellikle cam olan dielektrik malzemelerden yapılmaktadır. Haberleşme amaçlı optik fiberler için, malzemenin sahip olması gereken temel özellikler bulunmaktadır; bunlar, kullanılan spektral bölgede mükemmel şeffaflık (geçirgenlik), kimyasal etkilere karşı direnç, iyi kararlılık, iyi mekanik özellikler, düşük fiyat ve endüstriyel işlemlere uyumluluktur. Tablo 2.1'de fiber optikte kullanılan veya üzerinde çalışılan malzemeler görülmektedir [42-44]. Fiber optik teknolojisinde kullanılan malzemelerin listesi Şekil 2.1'de gösterilmektedir. Camların teknolojik olarak kolay üretilmesi nedeniyle, kristal fiberlerin üretilmesi camlarla karşılaştırıldığında çok yavaş üretim yöntemlerinin olması nedeniyle, kristal fiberleri haberleşme uygulamaları için genellikle uygun olmamaktadır.

2.1.1. Oksitli Camlar

Endüstriyel alanlarda kullanılan silika, SiO_2 , germanit, GeO_2 , borat, B_2O_3 , fosfat, P_2O_5 ve telürit, TeO_2 yapısındaki cam malzemelerin oksitli camları oluşturduğu belirtilmiştir. İlk modern optik fiberler oksitli cam malzemelerden yapılmış ve silikat cam malzemesi kullanılmıştır. Bu tür fiberlerin yüksek zayıflatma özelliğine sahip olması nedeniyle, çalışmalar zamanla yüksek silikalı fiberlere doğru yönelmiştir. Dolayısıyle, oksitli camlar daha düşük zayıflatmaya sahip olduklarıdan ilgi odağı haline gelmiştir.

Tablo 2.1: Periyodik tabloda orta kıızıllaltı optik fiberlerde kullanılan elementler [43].

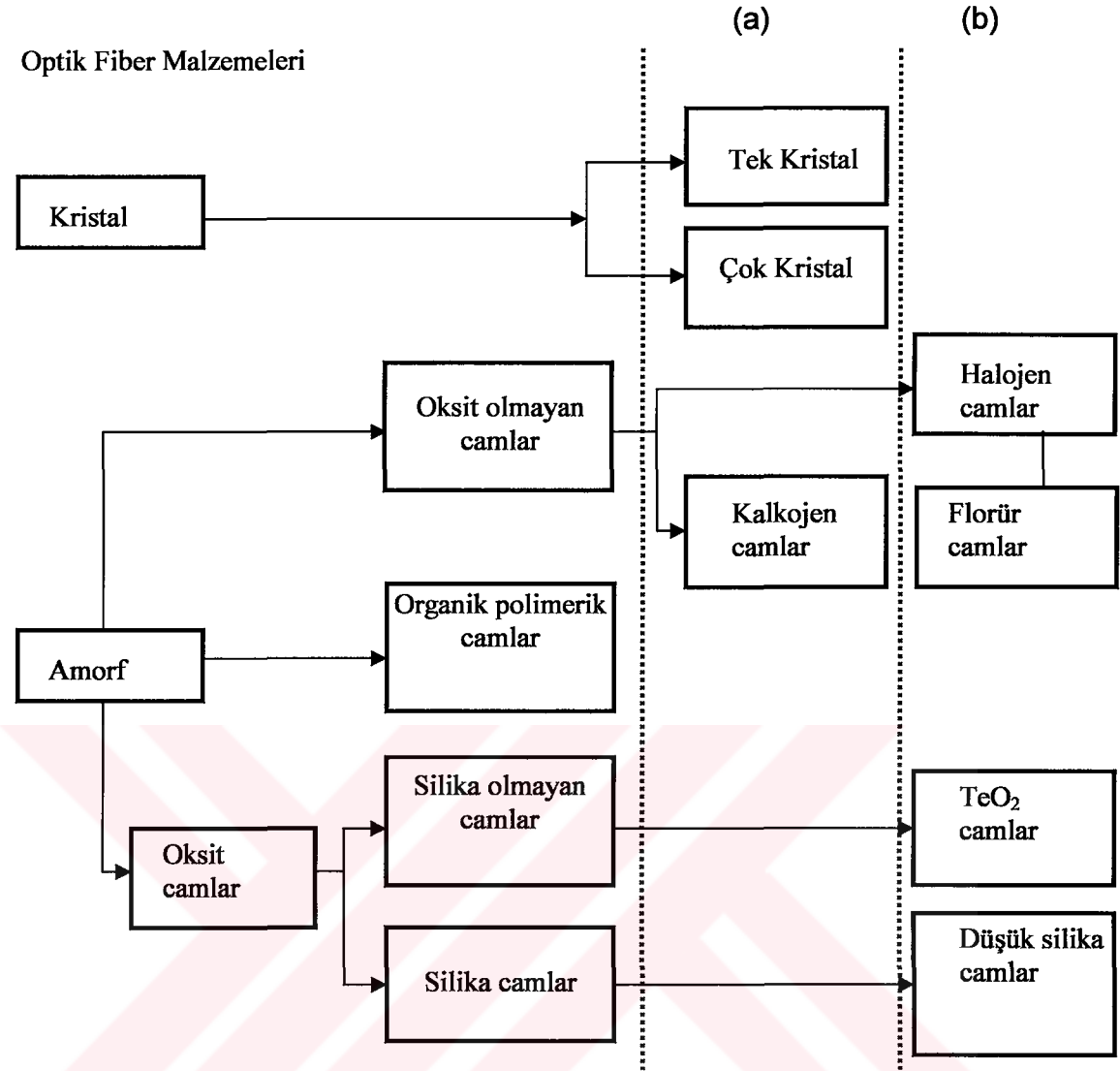
	III	IV	V	VI	VII
II	B	C	N	O	F
Zn	Ga	Ge	As	Se	Br
Cd	In	Sn	Sb	Te	I
Hg	Tl	Pb	Bi	Po	At

Normal koşullarda kristal olan, telüryum dioksit (TeO_2), telür, Te elementinin en kararlı oksidini oluşturmaktadır. Telür dioksitin erime sıcaklığı 733°C dir. Telüryum dioksit malzemesi silika gibi, kendi başına cam özelliğini göstermemekle birlikte, örgü içinde cam biçimlendiricisi olarak davranışmaktadır. Bu nedenle, WO_3 , LiCl , K_2O , ZnO ve V_2O_5 gibi cam yapıyı modifiye ediciler ile birlikte, ikili yada üçlü bileşikler halinde sentez edildiğinde TeO_2 ile cam yapı elde etmek mümkündür [3].

TeO_2 esaslı cam malzemeler, mekanik olarak sert, optik olarak izotrop, kimyasal olarak kararlı ve iyi termal ve optik özelliklere sahiptir. Telürit camlarının bazı önemli özellikleri arasında, $0.35 \mu\text{m}$ 'den $6 \mu\text{m}$ dalga boyu arasında kıızıllaltı bölgede yüksek optik geçirgenlik bölgесine sahip olmasını ve telürit camlarının kıızıllaltı ve dielektrik özelliklerinin oldukça ilgi çekici olduğunu söyleyebiliriz. Telürit camlarının kırılma indisleri $1.8 < n < 2.3$ aralığında değişim gösterirken, Stanworth tarafından, %80.4 mol TeO_2 -%13.5 mol PbO -%6.1 mol BaO cam malzemesi için dielektrik sabiti $\epsilon = 29$ olarak bulunmuştur [45].

İkili telürit sistemlerinde, yüksek TeO_2 içeren geniş cam formları, $\text{TeO}_2\text{-}\text{WO}_3$, $\text{TeO}_2\text{-}\text{ZnO}$, ve $\text{TeO}_2\text{-}\text{ZnCl}_2$ camları El-Mallawany tarafından elde edilmiştir [41]. Üç boyuttaki bu yapılar ise TeO_4 tetrahedrik yapısında olup, alkali oksit içeren telürit sistemlerinde bu TeO_4 tetrahedral yapısı TeO_3 trigonal yapıya dönüşmektedir. TeO_2 malzemesine PbO katkılanınca, Te'deki koordinasyon bağları zayıflamakta ve PbO miktarı arttıkça, Te azalma göstermektedir. Damrawi ve ark. [38] tarafından, üçlü $\text{PbF}_2\text{-}\text{PbO}\text{-}\text{TeO}_2$ üzerine yapılan bir çalışmada, PbF_2 miktarı arttıkça, cam geçiş sıcaklığı T_g nin azalma gösterdiğini bulmuştur. Hatta %50 mol'den fazla miktarda PbF_2 katkılanınca, elektriksel iletkenlik de artış göstermektedir [38].

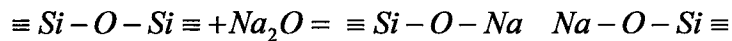
Optik Fiber Malzemeleri



Şekil 2.1 : Fiber optik teknolojisinde kullanılan malzemelerin listesi. (a): Optik fiber haberleşmesi için uygun olmayan, (b): üzerinde çalışılan ve optik fiber haberleşmesi için en ümit verici olan malzemeler [43].

Halen, çok düşük kayıplı optik fiberler, silika içeriği cam malzemelerin sentezlenmesiyle elde edilmektedir. Cam yapıda silika temel eleman olup, bu elemana diğer oksitler eklenirse malzemenin kimyasal ve fiziksel özellikleri uygun şekilde değişir. Silikat camları UV ve VIS bölgede optik olarak şeffaflık ve kimyasal olarak dayanıklılık özelliğine sahiptir. Bu özellikleri nedeniyle silikat camları, yarıiletken endüstrisinde, optikte ve opto-elektronik cihazlarda yaygın olarak kullanılma imkanına sahiptir. Erime sıcaklığı 2000°C de olan silikat camlarına modifiye edici bileşenler eklenerek, erime sıcaklıklarını 1500°C ye kadar düşürülmektedir. Aynı zamanda modifiye edicilerin etkisi, güçlü Si ile O arasındaki bağı kırarak, daha zayıf bir cam yapıya dönüştürmektedir. Aşağıda gösterildiği gibi,

iki silikon atomu arasında, oksijen atomu köprü (BO) görevi görmektedir. Diğer tarafından, silikon ve Na arasındaki oksijen atomunun oluşturduğu yapıya iki-çift bağlı oksijen atomu bağ (NBO-nonbridging oxygen) yapı denilmektedir [38-46].



GeO₂ camlarının silikat camlarına benzer özelliklerinin yanısıra, en üstün özelliği arasında kızılaltı optik geçirgenliği nedeniyle son derece düşük kayıplı optik fiberler için potansiyel malzeme olarak kullanılmaktadır. Diğer bir oksitli cam malzemesi olarak, fosfat camları lineer olmayan kırılma indisini ve geniş soğurma tesir kesitine sahip olması optik uygulamalarda en iyi malzeme özelliğine sahiptir.

Florürlü camların yüksek derecede zehirli olması ve hijyeniklilik gerektirdiğinden, teknolojik alanlarda kullanılma alanları kısıtlı olmaktadır. Florürlü camların kimyasal bağlı iyonik karakterde olması sonucu, kızılaltı bölgesinde iyi derecede optik şeffaflığa sahiptir. ZBLAN camı (56ZrF₄-19BaF₂-6LaF₃-4AlF₃-15NaF) 8 μm dalga boyu'nda oldukça şeffaf ve kimyasal dayanıklılık özelliğine sahiptir [4]. Ağır metal florürlü camların orta kızılaltı bölgesindeki yüksek şeffaflığı, diğer nadir toprak iyonu katkılı lazerlere göre daha büyük avantajlar sağlamaktadır. Örneğin, berilyum florürlü camlar, morötesi bölgeden kızılaltı bölgeye kadar uzanan yüksek geçirgenlik özelliğine ve düşük kırılma indisine sahiptir. Florür iyonları içeren oksitli camların yapısal özellikleri bakımından önemli araştırmaların konusu olmuştur. Çünkü bu tür camların kızılaltı fiber optikte, lazer'lerde aktif kazanç ortamında, çoklu özelliğe sahip optik bileşenler olarak kullanılma özelliğine sahiptirler. Ayrıca PbF₂ içeren cam malzemelerin, elektrokimyasal uygulamaları açısından ümit verici oldukları dikkati çekmektedir.

Kalkonit camlar genelde sülfür, selenyum yada telür esaslı olmakta, bu malzemelerin As, Sb, Ge, Si gibi bileşenlerle birlikte eritilmesiyle elde edilmektedir. Kalkonit camların kompozisyon miktarı bulunurken, bileşenlerin atomik oranları göz önüne alınarak hesaplamalar yapılır. Örneğin, Ge₃₃As₁₂Se₅₅, Si₂₅As₂₅Te₅₀ gibi. Kalkojen camlarını oluşturan elementler arasındaki bağ kovalent bağ yapısındadır. Kalkojen camlarının en üstün özellikleri kızılaltı bölge dahil olmak üzere 20 μm dalga boyuna kadar optiksel olarak geçirgenlik özelliğine sahip olmasıdır. Böylece kalkojen camları kızılaltı işinler için prizma, dalga klavuzu ve kızılaltı lazerlerin konak

malzemesini oluştururlar. Ayrıca kolkojen camları, yarı-iletken, optik ve opto-elektronik alanında geniş kullanım alanına sahiptir [2].

2.2. Nadir Toprak İyonları

Periyodik tabloda elementler s- ve p-blok elementleri, $3d$, $4d$, ve $5d$ geçiş elementleri, lantanitler ile aktinitler'in oluşturduğu elementlerden meydana gelmektedir. Lantanitler diğer bir ismiyle nadir toprak elementleri periyodik tabloda ki elementlerin özel bir grubunu oluşturmaktadır. Nadir toprak iyonlarının en belirgin özelliği $4f$ elektronik seviyelerinin tamamıyla dolu olmamasıdır. Nadir toprak elementlerinin bulunduğu tarihi İsveç'in Ytterby yakınılarında kaptan Arrhenius tarafından 1788 yılında bulunan siyah bir taşla başlar. Bu siyah taş Yttria olarak adlandırılır. Diğer bir mineral 1803 yılında Klaproth tarafından bulundu ve Ceria olarak adlandırıldı. Sonraki yıllarda Ceria ve Yttria'nın bir kaç elementten oluştuğu tespit edildi. Ceria mineralinden, Lantanyum, Ceryum, Samaryum, Europiyum, ve Gadoliniyum açığa çıkarıldı. Yttria minarelinden ise, Terbiyum, Erbiyum, Holmiyum, Tulyum, Disporsiyum ve Lutesyum elde edildi [45-46]. Nadir toprak elementlerinde iyonlar, $4f$ seviyesindeki elektronlar tarafından farklı özellik gösterirler. İyon içindeki $4f$ orbitalleri çevredeki $5s^2$ ve $5p^6$ orbitalleri tarafından korunmaktadır. Dolayısıyla kimyasak bağlar ve etkileşmeler $5s^2$ ve $5p^6$ orbitalleri tarafından belirlenmektedir. $4f$ orbitallerinin korunması optik özelliklerle yakından ilgilidir.

Nadir toprak iyonlarının optik ve magnetik uygulamalarının yanı sıra, ışına veren malzemeler arasında, tek kristaller, tek kristal tozları ve camlar önemli bir yer tutmaktadır. Nadir toprak iyonlarının düşük dalga boyunda'ki soğurma ve floresans özellikleri ile birlikte soğurma ve floresans dalga boylarındaki geçişlerin konak malzemeden bağımsız olması daha önemli karakteristik özelliği olduğunu göstermektedir. Çünkü bu geçişlerin şiddetleri düşük ve yarı-kararlı seviyelerin yaşam süreleri daha uzun, kuvantum verimleri yüksek bir değerde olmaktadır. Tablo 2.2'de nadir toprak iyonları görülmektedir. Lantanitler, atom numarası 58 olan Ce ile başlayan ve atom numarası 71 olan lutetyum ile biten grup, $4f$ elektronik seviyesi dolu olan elementlerden teşekkül eder. Periyodik tabloda lantanitlerin hemen altında yer alan aktinitler ise toryum ($Z=90$) ile başlayan ve lavrensiyum ($Z=103$) ile sona eren, $5f$ elektronik seviyesi dolu olan elementlerden oluşur.

Tablo 2.2: Nadir toprak elementleri [4].

Atom Numarası	Element	Elektronik Yapı
58	Seryum(Ce)	[Xe]4f ² 5d ⁰ 6s ²
59	Praseodimyum(Pr)	[Xe]4f ³ 5d ⁰ 6s ²
60	Neodimyum(Nd)	[Xe]4f ⁴ 5d ⁰ 6s ²
61	Prometyum(Pm)	[Xe]4f ⁵ 5d ⁰ 6s ²
62	Samaryum(Sm)	[Xe]4f ⁶ 5d ⁰ 6s ²
63	Europiyum(Eu)	[Xe]4f ⁷ 5d ⁰ 6s ²
64	Gadolinyum(Gd)	[Xe]4f ⁸ 5d ¹ 6s ²
65	Terbiyum(Tb)	[Xe]4f ⁹ 5d ⁰ 6s ²
66	Disprosym(Dy)	[Xe]4f ¹⁰ 5d ⁰ 6s ²
67	Holmiyum(Ho)	[Xe]4f ¹¹ 5d ⁰ 6s ²
68	Erbiyum(Er)	[Xe]4f ¹² 5d ⁰ 6s ²
69	Tulyum(Tm)	[Xe]4f ¹³ 5d ⁰ 6s ²
70	Iterbiyum(Yb)	[Xe]4f ¹⁴ 5d ⁰ 6s ²
71	Lutesyum(Lu)	[Xe]4f ¹⁵ 5d ¹ 6s ²

Katıhal mazlemelerine ve bir çok optik cihazlarda kullanılan lantanit iyonları için en karalı olan 3+ iyonlaşma seviyesi olmaktadır. Şekil 2.2'de elektron-elektron ve elektron-konak malzeme arasındaki yarılmaları gösteren enerji seviye diyagramını göstermektedir [46].

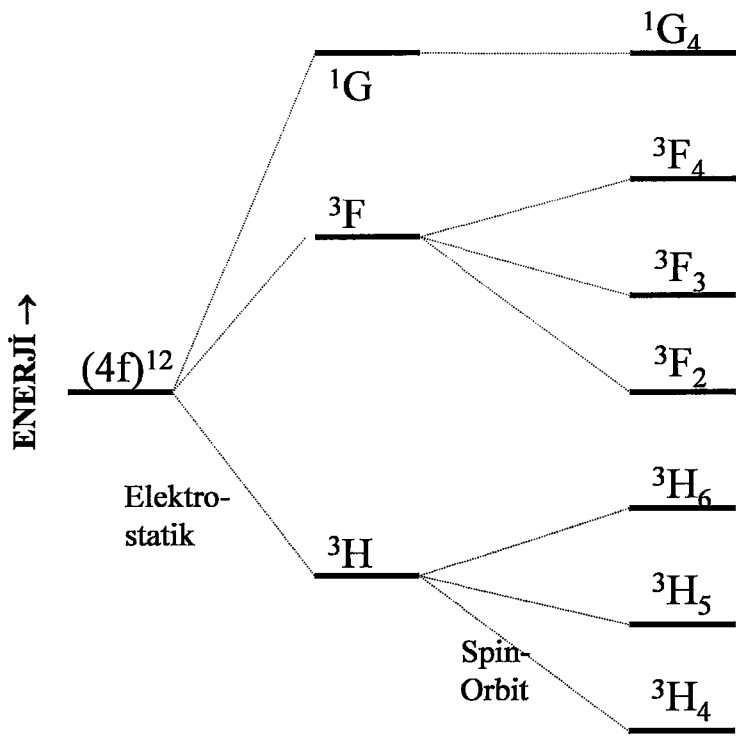
2.2.1. Tulyum (Tm^{3+}) İyonu

Katıhal lazer malzemelerinde, Nd^{3+} , Er^{3+} ve Pr^{3+} iyonunun yanısıra üzerinde önemle çalışılan diğer bir nadir toprak iyonu ise Tm^{3+} iyonudur. Nadir toprak iyonlarından olan Tm^{3+} iyonunun elektronik konfigürasyonu aşağıdaki gibi verilir:

$$1s^2 2s^2 2p^6 3s^2 3p^6 4s^2 3d^{10} 4p^6 5s^2 4d^{10} 5p^6 6s^2 4f^{13}$$

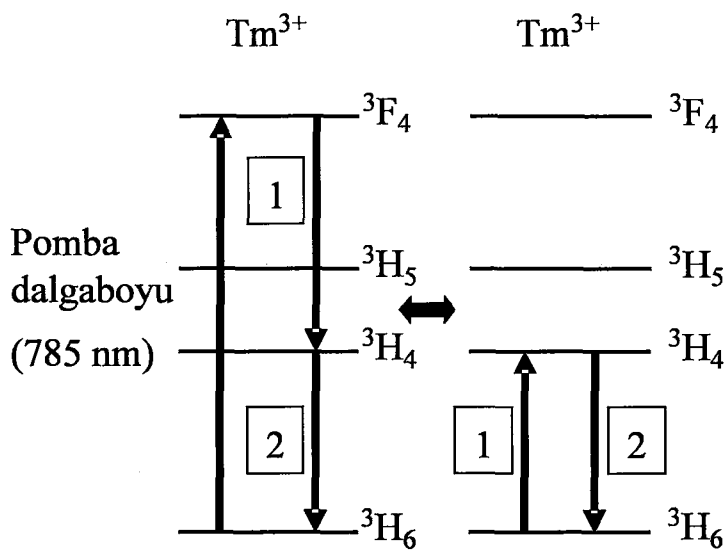
Nadir toprak iyonlarında optik aktiviteler 4f enerji seviyeleri arasındaki geçişlerden oluşmaktadır. Nadir toprak elementlerinin 4f elektronları en düşük seviyelere yerleşirler ve dolu olan dıştaki $5s^2 5p^6$ kabukları tarafından dış etkilere karşı korunmaktadır. Bu nedenle 4f elektronları üzerindeki dış etkiler oldukça küçüktür. Nadir toprak iyonları katı madde içinde daima kararlı bir yapı içinde olmak eğilimindedirler. Böylece nadir toprak elementleri bir kristal içine yerleştirildiğinde, enerji seviyeleri kristal alanından dolayı çok az perturbasyona uğrayacaktır. Nadir toprak iyonları, kuvantum mekanığında, S toplam spin kuvantum sayısı, L toplam orbital açısal momentum $L=S, P, D, F, G, \dots$ ve J ise toplam açısal momentumu olmak üzere, $^{2S+1}L_J$ ile gösterilmektedir. Gandy ve ark. tarafından ilk Tm^{3+} katkılı

cam lazeri 1900-nm de Li-Mg-Al silikat camları kullanılarak elde edilmiştir. Er³⁺ iyonuna benzer şekilde, Tm³⁺ iyonu silikat konak malzemesi içinde yararlı ışımalar göstermektedir. Tm³⁺ iyonunu ilginç ışımaları, 1400-2700-nm dalga boyunda, Nd³⁺ iyonu ile Er³⁺ iyonu bandları arasında yer almaktadır. Tm³⁺ iyonu için enerji seviye diyagramı Şekil 2.3 de görülmektedir. Şekil 2.4'de Tm³⁺ iyonunun TeO₂-PbF₂ cam malzemesi içindeki soğurma spektrumunu göstermektedir. Soğurma spektrumuna göre, Tm³⁺ iyonu genel olarak, ¹D₂, ¹G₄, ³F₂, ³F₃, ³F₄, ³H₅, ³H₄ ve ³H₆ enerji seviyelerinde soğurma bandlarına sahiptir. Er³⁺ ve Nd³⁺ iyonlarının tersine, Tm³⁺ iyonunda ¹G₄ ve ¹D₂ seviyeleri yarı-kararlı seviyeler olarak kendini göstermektedir. Şekil 2.3'den anlaşıldığı üzere, ³H₄→³H₆ seviyeleri arasındaki geçişler 1800-nm'de dalga boyunda ışımalar geniş optik band aralığına sahip yükselticiler için eleverişli görülmektedir. Silika fiber lazerlerindeki bu geçişlerin, ³H₄ seviyesindeki geçişler ışınmasız geçişlerdir [40]. Tulyum iyonunun enerji seviyesinde, ³F₄→³H₄ geçiği 1470-nm dalga boyuna karşılık gelen bu geçişler florit camlarında fiber lazer ve yükselticiler olarak kullanılmaktadır. Halbuki bu geçişler silika camlarında görülmemektedir. Diğer taraftan, Tm³⁺ iyonundaki 1470-nm dalga boyuna karşılık gelen küçük enerji band aralıklı, düşük fonon enerjili camların, Er³⁺ iyonu katkılı fiber yükseltici cihazların performansı üzerinde büyük etkisi bulunmaktadır. Silika camlarında Tm³⁺ iyonu 1470-nm geçiği gözlenmemektedir, çünkü ³F₄ seviyesi ışınmasız geçişlere karşılık gelmektedir [33].

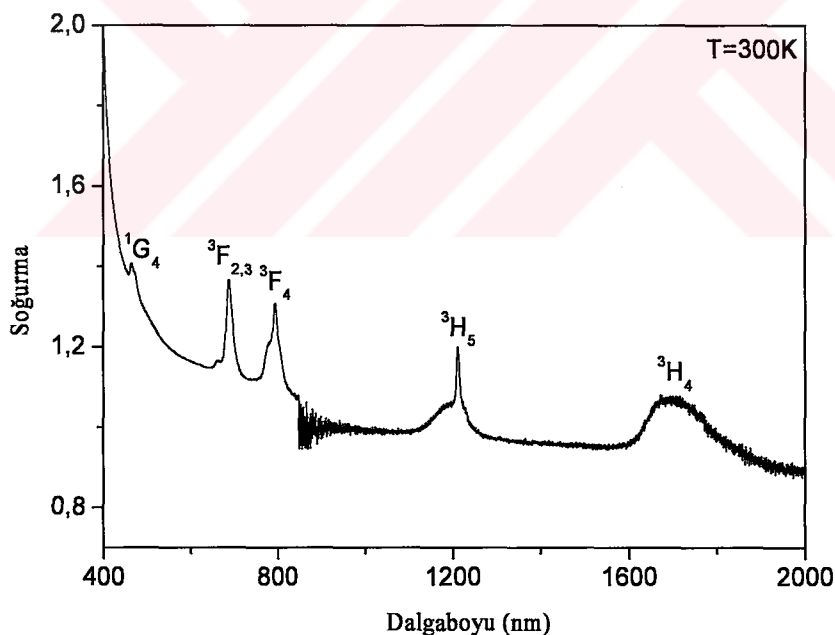


Şekil 2.2 : Elektron-elektron ve elektron-konak malzeme arasındaki yarılmaları gösteren enerji seviye diyagramını [47].

Nadir toprak iyonları içeren cam mazlemeler lazerler ve fiber optik yükseltici olarak teknolojik alanlarda kullanılmasıyla üzerinde geniş olarak çalışılmaktadır. Nadir toprak iyonu içeren cam malzemeler, kristallare göre daha avantajlı özelliklere sahiptir. Bu malzemelerin optik özellikleri, $4f^N$ elektronik konfigürasyonundaki $4f$ - $4f$ geçişleriyle ilgilidir. Nadir toprak iyonu içeren cam malzemelerin soğurma ve ışınmalı tesir kesitlerinin hesaplanmasında Judd-Ofelt teorisi yaygın olarak kullanılmaktadır. Judd-Ofelt teorisinden bulunan şiddet parametreleri, malzemeyle ilgili olarak, ortamın mekanik özellikleri, kalitesi, ve kovalent yapısı hakkında bilgiler vermektedir. Ek-E'de nadir toprak iyonlarına ait enerji seviyeleri görülmektedir [30].



Şekil 2.3 : Tm^{3+} iyonu için enerji seviye diyagramı ve çapraz sönüm [31].



Şekil 2.4 : %1.0 mol Tm^{3+} iyonunun 0.90 TeO_2 -0.10 PbF_2 cam malzemesi için soğurma spektrumu [31].

Serbest bir iyonun Hamiltoniyeni (H_{Sl}), merkezcil alan, H_0 , elektronlar arası itmeyle ilgili olarak, Coulomb etkileşmesi, H_k , ve spin-orbital, H_{so} etkileşmelerinden meydana gelmektedir.

$$H_{Sl} = H_0 + H_k + H_{so} \quad (1)$$

H_{Sl} , serbest iyonun hamiltoniyeni olup, öz fonksiyonları için, L^2 , S^2 , J^2 , J_z , L , $J=L+S$, açısal momentum operatörlerinin özfonksiyonlarıyla ilgilidir. Toplam açısal kuantum sayısı J , $|L - S| \leq J \leq |L + S|$ kuralını sağlamalıdır. Nadir toprak iyonları için temel bazda kullanılan özfonksiyonlar için, spin-orbital çiftlenimini temsil eden $|(4f^N)\alpha SLJ\rangle$ ket fonksiyonu göz önüne alınır. Bu gösterimde konfigurasyon etkileşmeleri göz önüne alınmaktadır. Konfigurasyon etkileşmesinde, verilen her bir seviyeye, matris boyutu değişmeden, etkin operatörler $4f^N$ konfigürasyonuna etki etmektedir. Yukardaki ket fonksiyonu grup teorisi'nden yararlanarak elde edilmektedir. Racah tarafından gösterilen indirgenemez temsiller özfonksiyonların oluşturulmasında kullanılmaktadır. Nadir toprak iyonlarının karakteristik soğurma ve ışuma spektrumları, $4f$ seviyesindeki geçişlerle ilgilidir. Bu $4f$ seviyesindeki birinci mertebeden elektrik dipole geçişleri yasaklı olup, ancak elektrik quadrupol, titreşim, magnetik dipole geçişleri izinlidir. Seçim kuralları kısaca, $\Delta l=\pm 1$; $\Delta S=0$; $|\Delta L|=2l$; $|\Delta J|=2l$ ile verilir [41-49].

2.3. Fiber Optik ve Yükselticiler

Bilginin bir noktadan diğer bir noktaya taşınması, yani haberleşme, çoğu kez, bir haberleşme sistemi içinde, bilginin taşınması görevini yapan bir elektromanyetik dalga üzerine bilginin bindirilmesi ve modülasyonu ile sağlanır. Dolayısıyle, bir optik haberleşme sisteminin başlıca üstünlüğü, zannedildiği gibi bilginin ışık hızıyla iletilmesi değil, bant genişliğinin yani birim zamanda taşınan bilgi miktarının büyük olmasına bağlı bir sonuktur. Genelde, taşıyıcı dalgalar olarak, milimetrik dalgalar, mikrodalgalar, RF dalgalar ve optik frekanslı dalgalar kullanılmaktadır. İlk olarak bir taşıyıcının bilgi taşıma kapasitesi frekansıyla artar. Ancak, X-ışınları ve daha kısa dalga boylu dalgalar parçacık özelliği gösterirler; bu yüzden, frekansla artan gürültüye maruz kalırlar. Bundan başka, X-ışınları madde içinde zayıflatılırlar ve uzak mesafelere gönderilemezler. Böylece haberleşmede faydalı frekansların üst

sınırı görünür veya morötesi bölge olur. Spektrumun alçak frekans ucunda, 1 MHz civarında ki frekanslar zaten radyo için kullanılmaktadır. Kıızıltı bölge haberleşme için en iyi spektrum bölgesi olma özelliğine sahip görünürken, ancak oda sıcaklıklarında, siyah cisim ışınması $10 \mu\text{m}$ ' da pik yapmaktadır, böylece sistemin tamamı soğutulmadıkça gürültü problemi oldukça ciddi olmaktadır. Bu durumda, haberleşme için ideale yakın taşıyıcı olarak görünür ve yakın-kızıltı (N-IR) bölge kalmaktadır. Dolayısıyle, lazerler bu frekanslarda en iyi ışık kaynağı olmaktadır [43].

Klavuzlayıcı ortam olarak cam fiberlerin kullanımının çok cazip olacağı bir çok araştırmaların neticesinde gösterildi. Bunun sebebi, cam fiberlerin küçük boyutluluğu ve hafifliliği, kolay kullanılması ve işlenmesi, esnekliği ve maliyetinin düşüklüğüdür. Cam fiberler ışığı çoklu iç yansımalarla klavuzlarlar. Tek ve çok modlu olarak iki kısımda incelenen fiberler, haberleşme amaçlı kullanım için tek modlu fiber tipi, yerel alan şebekeleri (Local area network) (kısa hatlar) için çok modlu fiberler daha kullanışlı görülmektedir. Tek modlu fiberler, sadece bir enine elektromağnetik modun yayılmasına izin veren fiberler olarak tanımlanırken, çok modlu fiberler ise fiber içinde pek çok modun yayılmasına izin verecek kadar büyük çapa sahip olan fiberlerdir. Optik fiberlerle haberleşmenin sahip olduğu üstünlükleri, küçük ebat ve hafifliği, elektriksel yalıtım, sinyal emniyeti, sistem güvenirliliği-bakım kolaylığı ve düşük maliyet gibi sıralanabilir.

Optik fiberler, optik frekanstaki elektromagnetik dalgalar için (1300 ve 1550 nm dalga boylarında) yükseltici olarak kullanılır. Fiber lazerlerin üretimi, hacimsel formu ve uzun fiber formu olarak iki aşamada gerçekleşmektedir. Optik haberleşmede genelde $1.3 \mu\text{m}$ ve $1.55 \mu\text{m}$ dalga boyunda düşük kayıplı özelliğe sahip olmasıyla bilinen yüksek silikalı camlar kullanılmaktadır. Düşük fonon enerjili florit camları ise daha düşük kayıplı optik haberleşme sistemlerinde kullanılmaktadır [37].

Aynı fazda, optik alanının genişliğini yükseltmeye yarayan cihazlara koherent optik yükseltici adı verilmektedir. Eğer bir yükselticiye giren optik alan monokromatik ise aynı şekilde yükselticiden çıkan optik alanda monokromatik özellikte ve aynı frekanslıdır. Optik dalgadaki faz sabit kalmasına rağmen, girişteki genlige oranla çıkış genliği artan bir değişme özelliği gösterebilmektedir. Bunun tersine, bir yükseltici, optik dalga fazının korunmamasına rağmen, genliğin şiddetini artırabilmektedir, bu özellikle yükselticilere koherent olmayan optik yükselticiler

denilmektedir. Koherent optik yükselticilerin çeşitli uygulama alanları bulunmaktadır: Birincisi, fiber optik boyunca hareket eden bir zayıf optik palsın yükseltilmesini içermektedir. İkincisi ise, lazerlerin anlaşılması temel teşkil etmesidir. Işığın koherent özellikte olmasının sağlanması genel olarak lazerin çalışma ilkesine dayanmaktadır. Lazer yükselticiler, elektronik yükselticilerden çeşitli yönlerden farklılık göstermektedir. Elektronik yükselticiler, genel olarak, yarı iletken transistor veya bipolar transistor-indüktör'lerde elektron ve boşluklar gibi yük taşıyıcıların hareketi sonucunda uygulanan elektrik akımı ve voltajın değişim göstermesine bağlıdır. Tuned elektronik yükselticiler resonant devreler (kapasitör ve induktör) ve resonatörlerden (metal kaviteler) oluşmaktadır. Halbuki, atomik, moleküler ve katıhal lazer yükselticiler enerji seviyeleri arasındaki farka bağlı olmaktadır. Termal denge halinde ışığın madde içinde iletilmesi sırasında soğurulma olayı ışığın şiddetlenmesine göre daha sık görülmektedir. Çünkü soğurulma, uyarmalı ışımaya oranla daha fazla görülmektedir, bunun nedeni ise taban seviyede'ki iyonların sayısı uyarılmış seviyedeki iyonlardan fazla olmasından kaynaklanmaktadır. Dengede olmayan bir durumda, ışına olabilmesi için uyarılmış seviyedeki iyonların nüfus terslenmesi ilkesine uyması gerekmektedir. Bunun içinde atomu yüksek enerji seviyesine bir kaynakla uyarmak gerekmektedir. Bir lineer sistemde gelen sinyalin güçlenerek çıkışına yükseltici kazancı adı verilir. Herhangi bir sinusoidal olan dalga yine aynı frekansta sinusoidal olarak, ama daha büyük genlikte olacaktır. Bir ideal yükselticideki spektral aralıktaki kazanç bütün freksanslarda her zaman sabit olacaktır. Gerçek koherent yükselticilerde kazanç ve faz değişimi frekansa bağlıdır. Kazanç ve faz kayması yükselticinin iletim fonksiyonunu oluşturur. Bir yükseltici sahip olduğu özellikleri arasında kazanç, band genişliği, faz kayması, doğrusal olmayan özellikler belirtilebilir.

En iyi bilinen katıhal lazer yükselticileri ise üç seviyeli Ruby lazer yükseltici, ($\text{Cr}^{3+}:\text{Al}_2\text{O}_3$), dört seviyeli neodymium katkılı yttrium-aluminum garnet lazer yükseltici ($\text{Nd}^{3+}:\text{YAG}$), ve $\text{Nd}^{3+}:\text{Cam}$ lazer yükselticilere örnek gösterilebilir [4].

Fiber lazerler yaklaşık olarak cam lazerlerin kendisi kadar kullanım süresine sahiptir. Cam lazerlerin Snitzer tarafından 1961 yılında bulunmasından üç yıl sonra, çok bileşenli fiber lazerler tekrar Koester ve Snitzer tarafından keşfedilmiştir. Fiber lazerler, haberleşmede uzun ve kısa mesafelerde (1.5 -1.3 μm) optik yükseltici olarak kullanılma potansiyeline sahiptir. Fiber lazerlerin üretim teknikleri, hacimsel ve uzun

yapıda olmak üzere genelde iki kısımda olmaktadır. Yüksek silikalı cam sistemleri, haberleşme alanında, 1.3 ve 1.55 μm aralığında düşük kayıp oranı nedeniyle fiber lazerlerde en çok kullanılan malzemeler arasında gelmektedir. Aynı şekilde, düşük fonon enerjili, florit camlarında düşük kayıplı olması ve nadir toprak iyonu ile katkılanabilmesi nedeniyle kullanışlı olmaktadır [2].

2.4. Işığın Soğurulması, Emisyonu ve Einstein katsayıları

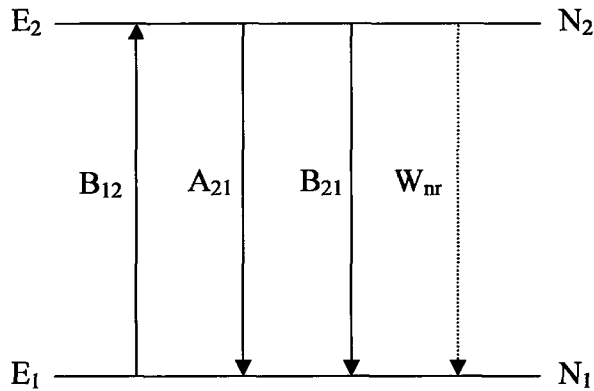
Malzemeden bir ışığın yayılması, bir fotonun malzemedeki elektrik yükleriyle etkileşmesi neticesinde, titreşim yapan bu yüklerin neticesinde meydana gelmektedir. Atomlar, moleküller ve katılar kuantum mekanığı kurallarına göre farklı enerji seviyelerine sahiptirler. Bir fotonun malzemedeki iyonlarla etkileşmesi sonucu, soğurulma ve ışığın emisyonu olayları meydana gelmektedir.

İşığın soğurulmasıyla ilgili olarak, Einstein postulatları, kendiliğinden salınım, uyarmalı emisyon, ve uyarmalı soğurma durumlarını kapsamaktadır. Son iki işlem, gelen elektromagnetik ışımıyla ilgilidir. Bütün enerji seviyeleri arasındaki geçişler, birim zamandaki geçiş olasılıkları olarak Einstein katsayıları olarak bilinmektedir. Atomdaki bir elektron, iki enerji seviyesi arasında geçiş yaparsa, dalga frekansı v_{ij} olan bir foton yayınlar yada soğurur. Şekil 2.5 deki atomik sisteme elektronun iki enerji seviyesi arasındaki geçişini ele alalım. Taban enerji seviyesi E_1 de bulunan elektron $E_2 - E_1$ enerjili bir fotonu soğurarak uyarılmış enerji seviyesi E_2 ye geçebilir, bu olaya soğurma adı verilir. Aynı şekilde E_2 enerji seviyesindeki elektron foton yayınılayarak taban seviyesine dönebilir, bu olaya ise emisyon denir. Emisyon olayı iki şekilde olmaktadır. Bunlar, kendiliğinden ve uyarılmış emisyondur:

- 1- Kendiliğinden emisyon: Uyarılmış enerji seviyesinde bulunan bir elektron, tamamen keyfi bir şekilde taban enerji seviyesine geçebilir.
- 2- Uyarılmış emisyon: Elektron enerjisi $E_2 - E_1$ olan bir foton tarafından enerji seviyesini değiştirmek için uyarılır. Kendiliğinden geçiş olasılığı, A_{ji} , suğurma katsayısı $B_{ij}U(v_{ij})$ ile tanımlanır. $U(v_{ij})$ ise v_{ij}

$$v_{ij} = \frac{|E_j - E_i|}{h} \quad (2)$$

frekansındaki yayılan enerji yoğunluğu olup denk. 2 ile verilir.



Şekil 2.5 : E_1 ve E_2 enerjili iki seviyeli sistem [50].

E_j ve E_i sistemdeki son ve ilk enerji seviyelerini, B_{12} uyarma enerjisini, A_{21} kendiliğinden salma, B_{21} ise uyarmalı salmayı, W_{nr} ışımasız geçişleri göstermektedir. Burada h ise ($h=6.662 \times 10^{-27}$ erg.s) Planck sabiti olarak bilinir. Işığın malzemeyle etkileşimini iki seviyeli bir kuantum sistemi olarak ele alırsak, E_2 üst, E_1 taban seviyesini göstermektedir ve dengedeki bir sistem için Boltzmann eşitliği ile verilmektedir:

$$\frac{N_2}{N_1} = \frac{g_2}{g_1} \exp\left(-\frac{E_2 - E_1}{kT}\right) \quad (3)$$

N_1 ve N_2 enerji seviyesi belirtilen sistem için iyon sayısını vermektedir. Burada k Boltzmann sabiti olup $k=1.38 \times 10^{-16}$ erg.K⁻¹ dir. Ayrıca g_1 ve g_2 ise dejenerlik katsayılarıdır. Taban durumdaki bir sisteme v_{21} frekanslı bir ışık gönderildiğinde taban durumundan uyarılmış duruma geçiş olasılığı $B_{12}U(v_{21})$ ile verilir. Bu geçiş esnasında $g_1=g_2$ olmaktadır. Tersine uyarılmış durumdan taban durumuna tekrar bir geçiş olduğunda toplam geçiş olasılığı $A_{21}+B_{21}U(v_{21})$ ile verilir. Termodinamik bir denge halinde,

$$B_{12}U(v_{21})N_1 = A_{21}N_2 + B_{21}U(v_{21})N_2 \quad (4)$$

yada

$$U(v_{21})(B_{12}N_1 - B_{21}N_2) = A_{21}N_2 \quad (5)$$

Denk. 2, denk. 5 de kullanılarak,

$$U(v_{21}) \left[B_{12} \exp\left(\frac{hv_{12}}{kT}\right) - B_{21} \right] = A_{21} \quad (6)$$

elde edilir.

Einstein katsayıları ile enerji yoğunluğu arasındaki ilişki denk. 7 ile verilir.

$$U(v) = \frac{A_{21}}{B_{12} \exp\left(\frac{hv_{21}}{kT}\right) - B_{21}}. \quad (7)$$

Denk. 7 Planck formülü ile karşılaştırıldığında, kapalı bir aralıktaki enerji yoğunluğu değişimi,

$$U(v) = \frac{8\pi h v^3}{c^3} \frac{1}{\exp\left(\frac{hv}{kT}\right) - 1} \quad (8)$$

ile verilir. $B_{12}=B_{21}$ durumunda,

$$B_{21} = \frac{c^3}{8\pi h v_{21}^3 n^3} A_{21} \quad (9)$$

denklemi elde edilir. Denk. 9 de, c ışığın boşluktaki hızı, n ise ortamın kırılma indisini göstermektedir. Denk. 9 den edilen Einstein katsayıları, elektrik ve magnetik dipoller cinsinden yazılabilir. Kendiliğinden geçiş olasılığı (KGO),

$$A_{21} = B_{21} \frac{64\pi^4 v_{21}^3}{3hc^3} S^{ed} \quad (10)$$

ile verilir. S^{ed} elektrik dipol matris elemanlarını göstermektedir. KGO salınım etkisiyle orantılıdır [3,50-53]:

$$f_{21} = \frac{8\pi^2 m v_{21}}{3he^2} S^{ed} \quad (11)$$

Sonuç olarak, soğurma katsayısın hesaplanması KGO ve salınınım etkisini vermektedir. Dolayısıyle KGO'nun hesaplanması, uyarılmış seviyedeki yaşam sürelerinin hesaplanması vermektedir. Belirli bir t ve $t + tdt$ aralığındaki uyarılmış seviyeden taban seviyesine ışımalı olarak geçen iyonların sayılarındaki değişim,

$$-dN_2 = A_{21}dt \quad (12)$$

eğer birden fazla ışıma olduğu göz önüne alınırsa ve uyarılmış seviye j , taban seviye ise i ile temsil edilirse;

$$-dN_j = \sum_i A_{ji} N_j dt \quad (13)$$

diferansiyel denkleminin çözümünden,

$$N_j = N_{j0} \exp\left(-\sum_i A_{ji}t\right) \quad (14)$$

ışıma şiddeti uyarılmış iyonların şiddetiyle orantılıdır:

$$\frac{I_{hum}}{I_{hum}^0} = \frac{N_j}{N_j^0} = \exp\left(-\sum_i A_{ji}t\right) \quad (15)$$

Normal şartlarda, kendiliğinden oluşan emisyon olayının gelme meydana olasılığı, uyarılmış emisyon olayının meydana gelme olasılığından çok daha fazla olduğu için uyarılmış durumların meydana getirilmesi daha azdır. Kendiliğinden emisyon yapmadan önce elektronun uyarılmış seviyede ortalama olarak kalma süresine yaşam süresi yada yarı ömür adı verilir, τ_R (life time) ile gösterilir. Uyarılmış j . seviyedeki iyonların yaşam süresi, ışımalı (radiative) ve ışımasız (nonradiative) geçişlerin olasılıkları toplamı olarak denk. 16 da ve üstel sönüm yasası ise denk. 17 ki gibi verilmektedir [33]:

$$\tau_j^{-1} = \sum_i W_{ji}^R + \sum_i W_{ji}^{NR} \quad (16)$$

$$\frac{I_{hum}}{I_{hum}^0} = \frac{1}{e} \quad (17)$$

$$\tau_R = \frac{1}{\sum_i A_{ji}} \quad (18)$$

Denk.17 ile yaşam süresinin tanımı verilmektedir. Uyarılmış seviyedeki iyonların ışimalı yaşam süreleri ise denk. 18 ile verilmektedir. Burada τ_R iyonların ışimalı yaşam süresini göstermektedir.

Işığın soğurulmasıyle ilgili olarak, soğurucu bir ortam içinden geçen tek dalga boylu bir ışık demetini ele alalım. Şekil 2.5 de görüldüğü gibi E_1 ve E_2 enerji seviyeleri arasında sadece bir elektron geçisi olduğunu göz önüne alalım. Bu durumda ışının şiddetindeki değişme miktarı uzaklığın bir fonksiyonu olarak şöyle ifade edilir:

$$\Delta I(x) = I(x + \Delta x) - I(x) \quad (19)$$

Homojen bir ortam için $\Delta I(x)$ ışının şiddetindeki değişme miktarı hem yer değiştirmeye miktarı Δx hemde ışık şiddeti $I(x)$ ile orantılıdır. Kısaca bu ilişki şu şekilde yazılır:

$$\Delta I(x) = -\mu I(x) \Delta x \quad (20)$$

Denklemdeki μ sabiti soğurma katsayını göstermektedir. Soğurma sabiti pozitif bir büyüklüktür. Başında negatif işaretinin olması soğurmadan dolayı ışının şiddetinin azalmasını belirtir. İlgili diferansiyel denklemin integrali alınırsa denk. Denk. 21 de Lambert-Beer eşitliğiyle verilir:

$$I = I_0 e^{-\mu x} \quad (21)$$

Burada I_0 gelen ışığın şiddeti. Malzemenin kalınlığı ise x ile verilir [10].

2.4.1. Judd-Ofelt Formalizmi

Genel bir tanımlama ile Judd-Ofelt teorisi nadir toprak iyonlarının $4f$ enerji seviyelerindeki elektronların şiddetlerinin hesaplanmasında kullanılmaktadır. Nadir toprak iyonlarının $4f^N$ elektronik seviyeleri arasındaki elektrik dipol geçişleri parite seçim kuralı nedeniyle izinli değildir. Parite seçim kuralı, enerji seviyelerine karşılık gelen dalga fonksiyonlarının tek yada çift fonksiyon olmasına ilgilidir. Dolayısıyla, nadir toprak iyonlarının $4f-4f$ seviyeleri arasındaki kendiliğinden yada ışimalı geçiş

olasılıkları (KGO) en önemli bir parametre olarak önem kazanmaktadır. Çünkü KGO lazer geçişleri için önemli bir parametre olup, kendiliğinden yayının tesir kesiti, ışımlı kuantum verimi ve floresans dallanma oranlarıyla yakından ilgiliidir. Kısaca, Judd-Ofelt teorisi, $4f$ - $4f$ geçişlerinin soğurma tesir kesitlerinden yararlanarak, kendiliğinden yaşam sürelerini içeren elektrik-dipol geçiş olasılıklarının hesaplanmasında kullanılır. Kendiliğinden geçiş olasılığı, şiddet parametreleri olan Ω_t ($t=2, 4, 6$) ve tensör operatörlerinin indirgenmiş $U^{(t)}$ matris elemanlarından etkilenmektedir.

Katılardaki nadir toprak iyonlarının ışımlı geçişleri, yani elektrik dipol geçişlerinin $4f$ kuantum seviyesine, zıt pariteli $4f^{n-1}5d$ seviyesinin dalga fonksiyonun etkisiyle mümkün olmakta bu duruma izinli geçişler denilmektedir. Böyle bir sistemde Judd-Ofelt teorisi iki yaklaşım dayanmaktadır:

$1-4f^{n-1}5d$ seviyeleri dejenere olmuş olarak düşünülür, 2- $4f^n$ konfigürasyonundaki iki seviye arasındaki enerji farkı, $4f^{n-1}5d$ konfigürasyonundaki enerjiden daha küçüktür. Çok katlı taban durumundaki enerji seviyesi J ve uyarılmış J' seviyesi arasındaki elektrik dipol geçişleri için salınım etkisi (Oscillator strength),

$$S(J, J') = \sum_{t=2,4,6} \Omega_t \left| \langle SLJ | U^{(t)} | S'L'J' \rangle \right|^2 \quad (22)$$

ile verilir [51]. Bu ifadede enerji özdeğerleri arasındaki t ranklı tensör operatörünün indirgenmiş matris elemanlarıdır. Bu matris elemanları spin-orbit, $L-S$ çiftlenimi cinsinden ifade edilmektedir [42-43]. Nadir toprak iyonlarının elektrik dipol geçişleri nedeniyle gözlenen spektrumları, magnetik dipol geçişlerine göre daha belirgin olarak görülmektedir. Elektrik dipol geçişlerini göz önüne alırken, sistemin sahip olduğu kuantum seviyeleri L , S ve J ile gösterilmektedir. Kristaldeki $4f^N$ tek pariteli dalga fonksiyonları ile zıt pariteli dalga fonksiyonları kullanılarak, elektrik dipol geçişleri için sıfırdan farklı olarak matris elemanları elde edilir. Küresel harmonikler serisinde V kristal potansiyeli ile verilir,

$$V = \sum_{k,q} A_k^q \sum_i r_i^k V_k^q \quad (23)$$

bu denklemde r_i i . nci elektronun radial kordinatı, V_k^q küresel harmonik fonksiyonu göstermektedir. Sistemin pertürbe olmuş Hamiltonieni,

$$H=H_0 + V_{kr} \quad (24)$$

Denlemde H_0 serbest iyonun Hamiltonieni ve V_{kr} ise iyon-örgü etkileşme potansiyelini göstermektedir [50-52].

$4f^N$ konfigürasyonundaki E_a enerji seviyesi, pertürbe olmamış seviyelere karşılık gelen çiftlenimlerin lineer kombinasyonları cinsinden yazılmaktadır. Burada $|\phi_a\rangle$ ise lineer kombinasyonları göstermektedir:

$$|\phi_a\rangle = \sum a(\alpha SLJ) |\alpha SLJ\rangle \quad (25)$$

kuvantum sayıları cinsinden yazılır. Burada $a(SLJ)$ reel sayıyı göstermektedir.

Spektrum şiddetini,

$$S(i,j) = \sum_{\alpha\beta} \left| \langle \alpha | V | \beta \rangle \right|^2 \quad (26)$$

ifade etmektedir. Burada V elektrik yada magnetik dipol moment operatörünü belirtir. Elektrik dipol, \vec{P} , mağnetik dipol, \vec{M} ve quadrupol operatörleri, \vec{Q} aşağıdaki denklemlerle verilir:

$$\vec{P} = -e \sum_i \vec{r}_i ,$$

$$\vec{M} = -\frac{eh}{2mc} \sum_i \vec{l}_i + 2\vec{s}_i \quad (27)$$

$$\vec{Q} = \frac{1}{2} \sum_i (\vec{k} \bullet \vec{r}_i) \vec{r}_i$$

burada e elektronun yükü, m kütlesi, c ışık hızı, \vec{l} yörüngé açısal momentumu ve \vec{s} de spin açısal momentumunu göstermektedir.

Ln^{3+} iyonlarının $\langle A |$ ve $|A'\rangle$ seviyelerinin taban $|4f^N SLJ\rangle$ ve uyarılmış $|4f^N S'L'J'\rangle$ durumdaki durumdaki dalga fonksiyonlarının lineer kombinasyonları,

$$\langle A \rangle = \left\langle 4f^N SLJ \right| - \frac{\sum_{\beta} \left\langle 4f^N SLJ \middle| V^{tek} \middle| \beta \right\rangle \langle \beta |}{E(4f^N SLJ) - E(\beta)} \quad (28)$$

$$|A'\rangle = \left| 4f^N S'L'J' \right\rangle - \frac{\sum_{\beta} |\beta\rangle \langle \beta| V^{tek} |4f^N S'L'J' \rangle}{E(4f^N S'L'J') - E(\beta)} \quad (29)$$

cinsinden yazılır. P elektrik dipol moment operatörlerinin farklı polarizasyonlarda meydana gelen $P_q^{(1)}$ bileşenleri ne bağlı olarak x, y, z boyutlarında yazılabılır. Q=0 da π polarizasyonu, $q = \pm 1$ de σ polarizasyonu görülmektedir. Zıt pariteli seviyelerde sıfırdan farklı durumda $P_q^{(1)}$ operatörü ile verilir [53].

$$\begin{aligned} \langle A | P_q^{(1)} | A' \rangle &= \frac{- \sum_{\beta} \left\langle 4f^N SLJ \middle| V^{tek} \middle| \beta \right\rangle \langle \beta | P_q^{(1)} | 4f^N S'L'J' \rangle}{E(4f^N SLJ) - E(\beta)} \\ &- \frac{- \sum_{\beta} \left\langle 4f^N SLJ \middle| P_q^{(1)} \middle| \beta \right\rangle \langle \beta | V^{tek} | 4f^N S'L'J' \rangle}{E(4f^N S'L'J') - E(\beta)} \end{aligned} \quad (30)$$

Bu denklemde uyarılmış ve taban seviyenin enerji seviyelerinin yanında uyarılmış seviyenin dalga fonksiyonunun hesaplanması gerekmektedir. Judd-Ofelt teorisine göre, yukarıdaki denklemde, $E(4f^N SLJ) - E(\beta)$ ve $E(4f^N S'L'J') - E(\beta)$ yerine ΔE kullanılmaktadır. Elektron konfigürasyonundaki seviyeler arasındaki enerji aralığı ihmali edilebilir orandadır. Dolayısıyla yukarıdaki denklem, şu hale gelir [50-53]:

$$\langle A | P_q^{(1)} | A' \rangle = \sum_{t,m} Y(t, m, q) \cdot \left\langle 4f^N SLJ \middle| U_{m+q}^{(t)} \middle| 4f^N S'L'J' \right\rangle \quad (31)$$

denklemde t çift sayı olmakta, $\left\langle 4f^N SLJ \middle| U_{m+q}^{(t)} \middle| 4f^N S'L'J' \right\rangle$ ise indirgenemez tensör operatörlerinin oluşturduğu matris elemanları olarak adlandırılmaktadır. Elektrik dipol ve kristal alan operatörlerinin Wigner-Eckart tarafından daha basit hale dönüştürülmesiyle, tensör operatörünü şu şekilde yazabilirimiz,

$$Y(t, m, q) = \sum_k (-1)^{m+q} (2t+1)^{1/2} A_{km} \left(\begin{matrix} 1 & t & k \\ q & -(m+q) & m \end{matrix} \right) Z(k, t) \quad (32)$$

bu denklemde $Z(k, t)$ uyarılmış ve taban durumundaki seviyelerin dalga fonksiyonlarının radyal kısımlarını içermektedir. Uyarmalı elektrik dipol geçişleri için aşağıdaki seçim kuralları geçerlidir [51]:

$$\Delta l = \pm 1;$$

$$\Delta S = 0;$$

$$|\Delta L| = 2l;$$

$$|\Delta J| = 2l;$$

birinci kural zıt pariteli seviyeler karşılık gelen geçişlerle ilgilidir, ikinci ve üçüncü kural S ve L kuantum sayılarıyla ilgilidir. Son kural ise J toplam açısal kuantum sayısıyla ilgilidir.

Taban durumundaki bir seviyenin soğurma tesir kesiti Lambert-Beer denklemi gözönüne alınarak aşağıdaki gibi yazılır,

$$\sigma_{abs} (cm^{-2}) = \frac{2.303 \log_{10}(I_0 / I)}{cl} \quad (33)$$

burada $\log(I/I_0)$ soğurmayı, l ise malzemenin kalınlığını, ve c , Tm^{3+} iyonunun cam malzeme içindeki konsantrasyonunu göstermektedir [3]. Taban durumundaki her bir seviye için soğurma tesir kesiti,

$$\Sigma_{sog} = \int \sigma_{sog}(\lambda) d\lambda (x10^{-7}) \quad (34)$$

ile verilir, bu denklemde Σ_{sog} toplam soğurma tesir kesitini temsil etmektedir. Deneysel olarak gözlenen salınım etkisi yada toplam soğurma f_{den} ifadesi ile verilir.

$$f_{den} = \int_{band} \mu(\lambda) d\lambda \quad (35)$$

denk. 35 deki $\mu(\lambda)$ soğurma katsayısı olup,

$$\mu(\lambda) = \frac{2.303 \log_{10}(I/I_o)}{l} \quad (36)$$

denklemiyle verilir [3]. Judd-Ofelt teorisi, soğurma bandlarının sonucu oluşan salınım şiddetlerinin kullanılmasıyle, optik geçişler üzerindeki kompozisyonun etkisini hesaplamak mümkün olmaktadır. Kurama göre, teorik olarak taban durumundan uyarılmış duruma karşılık gelen elektrik dipol geçişleri için salınım etkisi,

$$f_{cal}(J, J') = \frac{8\pi^3 e^2}{3ch} \frac{(n^2 + 2)^2}{9n} \frac{\bar{\lambda}}{(2J+1)} \times \sum_{t=2,4,6} \Omega_t \left| \langle SLJ | U^{(t)} | S'L'J' \rangle \right|^2 \quad (37)$$

ile verilir. Bu denklemde $\bar{\lambda}$ ortalama dalga boyunu göstermektedir. J taban durumundaki dejenere seviyeyi temsil etmektedir. İndirgenmiş martris elemanları $U^{(t)}$ konak malzemeden bağımsız olup, Kaminskii tarafından LaF_3 için hesaplanan değerler kullanılmaktadır ve matris açılımı denk. 38 ile verilmektedir [52-53]. Tablo 2.3 LaF_3 için matris elemanları gösterilmektedir.

$$\begin{aligned} & \langle SLJ | U^{(t)} | S'L'J' \rangle = \\ & = \begin{pmatrix} \left| \langle {}^3H_6 | U^{(2)} | {}^1G_4 \rangle \right|^2 & \left| \langle {}^3H_6 | U^{(4)} | {}^1G_4 \rangle \right|^2 & \left| \langle {}^3H_6 | U^{(6)} | {}^1G_4 \rangle \right|^2 \\ \left| \langle {}^3H_6 | U^{(2)} | {}^3F_{2+3} \rangle \right|^2 & \left| \langle {}^3H_6 | U^{(4)} | {}^3F_{2+3} \rangle \right|^2 & \left| \langle {}^3H_6 | U^{(6)} | {}^3F_{2+3} \rangle \right|^2 \\ \left| \langle {}^3H_6 | U^{(2)} | {}^3F_4 \rangle \right|^2 & \left| \langle {}^3H_6 | U^{(4)} | {}^3F_4 \rangle \right|^2 & \left| \langle {}^3H_6 | U^{(6)} | {}^3F_4 \rangle \right|^2 \\ \left| \langle {}^3H_6 | U^{(2)} | {}^3H_4 \rangle \right|^2 & \left| \langle {}^3H_6 | U^{(4)} | {}^3H_4 \rangle \right|^2 & \left| \langle {}^3H_6 | U^{(6)} | {}^3H_4 \rangle \right|^2 \end{pmatrix} \quad (38) \end{aligned}$$

Tablo 2.3: Tm^{3+} iyonlarının taban durumundan uyarılmış duruma geçişleri gösteren hesaplanmış matris elemanları [53].

$SLJ-S'L'J'$	Enerji, cm^{-1}	$t=2$	$t=4$	$t=6$
$({}^3F, {}^3H)_4$	5811	0.5375	0.7261	0.2382
3H_5	8390	0.1074	0.2314	0.6383
$({}^3H, {}^3F)_4$	12720	0.2373	0.1090	0.5947
3F_3	14510	0	0.3164	0.8411
3F_2	15116	0	0	0.2581
1G_4	21372	0.0483	0.0748	0.0125
1D_2	28032	0	0.3156	0.0928

SLJ - $S'L'J'$ elektrik dipol geçişleri için kendiliğinden salınım olasılığı (ışımalı geçiş olasılığı), denk. 39 ile verilir [47].

$$A(J, J') = \frac{64\pi^4 e^2}{3h(2J+1)} \frac{n(n^2+2)^2 \bar{v}^3}{9} \times \sum_{t=2,4,6} \Omega_t \left| \langle SLJ | U^{(t)} | S'L'J' \rangle \right|^2 \quad (39)$$

$$A(J, J') = \frac{64\pi^4 e^2}{3h(2J+1)} \frac{n(n^2+2)^2 \bar{v}^3}{9} S^{ed} \quad (40)$$

denk.40 deki \bar{v} geçişler için ortalama dalga sayısını göstermektedir. Toplam kendiliğinden ışıma olasılığı W_R , taban durumundan uyarılmış bütün son durumlar üzerinde ki $A(J,J')$ lerin toplamına eşittir. W_R ışımalı yaşam süresi τ_R ve dallanma oranı β ile orantılıdır:

$$\frac{1}{\tau_R(i)} = \sum_j A(i, j) = W_R \quad (41)$$

$$\beta = \frac{A(J, J')}{W_R} \quad (42)$$

denk. 40 ve 41 den yaralanarak kendiliğinden ışıma olasılığı ve ışımalı yaşam süreleri hesaplanabilir. Son olarak, 785-nm ile uyarılan λ_p dalga boyundaki uyarılmış ışıma tesir kesitinin $\sigma(\lambda_p)$ hesaplanmasında kendiliğinden ışıma olasılığı W_R kullanılmaktadır [32].

$$\sigma(\lambda_p) = \frac{\lambda_p^4}{8\pi c n^2 \Delta \lambda_{eff}} W_R \quad (43)$$

Burada $\Delta \lambda_{eff}$ ise salınım bandının etkin bant genişliğidir.

Tm^{3+} katkılı $Ge_{30}Ga_2As_6S_{62}$ cam malzemesindeki tulyum iyonları arasındaki çapraz sönüüm etkisi $20-300^{\circ}K$ arasındaki sıcaklıkta araştırılmış ve sıcaklığın azalmasına bağlı olarak $1.48 \mu m$ deki ışıma şiddetinin $1.84 \mu m$ deki ışıma oranına bağlı olarak artma olduğu gözlenmiştir. Tm^{3+} iyonları arasındaki çapraz sönüüm sonucu, $1.48 \mu m$ dalga boyundaki ${}^3H_4 \rightarrow {}^3F_4$ geçisi zayıflamaktadır. Enerji dönüşümü esnasında uyarılmış 3H_4 seviyesindeki bir iyon, sahip olduğu enerjisinin bir kısmını 3H_6 seviyesindeki iyona aktarmaktadır. Bunun sonucu her iki iyon 3F_4 seviyesine

inmektedir. Dolayısıyle, 3F_4 deki nüfus terslenmesi artış göstermekte ve 3H_4 seviyesinde ise azalma meydana gelmektedir. Çapraz sönüüm sonucu açığa çıkan enerjinin örgünün titreşimi için harcanmış olabilmesi kuvetli görülmektedir. Bose-Einstein yaklaşımına göre, sıcaklık azaldıkça, fonon sayılarında bir azalma görülmesi gerekmektedir. Çapraz sönüüm değeri, 3H_4 seviyesindeki ölçülen ve hesaplanan ışimalı yaşam sürelerinden hesaplanabilir. Katkı iyonu oranı yüksek olduğunda, taban seviyedekine göre, belirli enerji seviyesindeki geçiş olasılığı yaşam süreleri cinsinden denk.44 ile verilir:

$$\frac{1}{\tau_F} = \frac{1}{\tau_R} + W_{MFR} + W_{ET} \quad (44)$$

τ_F iyonların ölçülen yaşam süresi, τ_R ise hesaplanmış yaşam süresi, W_{MFR} ve W_{ET} ise çoklu fonon sönüümü (multiphonon relaxation rate) ve enerji transferi oranlarını göstermektedir. 3H_4 ile 3H_5 seviyesi arasındaki enerji aralığı 4300 cm^{-1} sülfat camlarının en yüksek fonon enerjisi ise 400 cm^{-1} olduğundan, çoklu fonon sönüümü ihmali edilebilir. Böylece enerji transfer oranı (çapraz sönüüm değeri) denk.45 verilir [51-57]:

$$W_{ET} = \frac{1}{\tau_F} - \frac{1}{\tau_R} \quad (45)$$

2.4.2. Işımasız geçiş ve çapraz sönüüm

Bir fotonun soğurulmasıyla uyarılan nadir toprak iyonu, ışımasız geçiş yaparak taban enerji seviyesine düşmektedir. Nüfus terslenmesi ΔN floresans yaşam süresi τ_F ile orantılıdır [4].

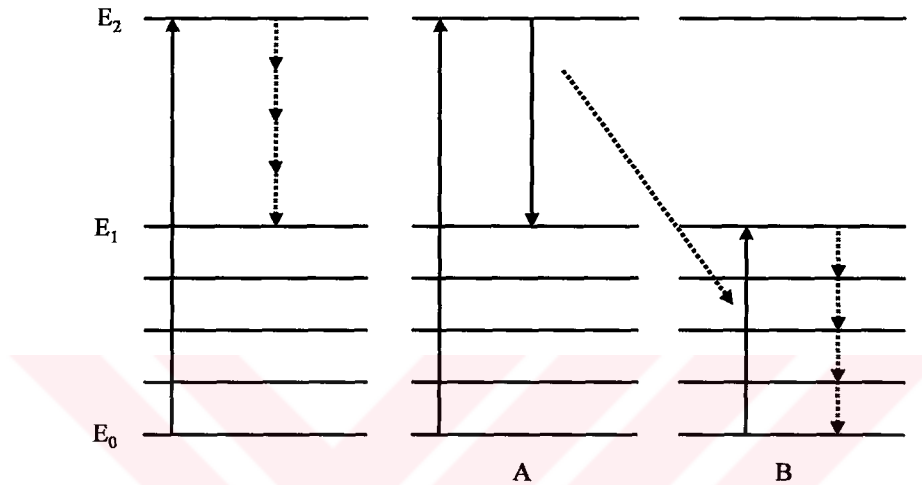
$$\Delta N \approx N_0 p_e \tau_F \quad (46)$$

Burada N_0 taban durumındaki atom sayısı ve p_e ise pompalama'yı göstermektedir. J enerji seviyeleri arasındaki çoklu fonon geçişleri, bu geçişlerdeki birden fazla fonon yayımıyla aynı zamanlı olarak olmaktadır. Bu süreç nadir toprak iyonlarının örgü titreşimleri sonucu oluşan kristal elektrik alanıyla etkileşmeden dolayı artış göstermektedir. Eğer uyarılmış enerji ile bir sonraki düşük enerji seviyesi arasındaki enerji aralığı, fonon enerjisinden daha büyükse, enerji aralığını kapatmak için birden

fazla fonon salınımı başlamaktadır. ΔE enerjili, $\hbar \omega$ enerjili fononların sayısı p ise bunlar arasındaki ilişki denk.47 şekildedir:

$$p \hbar \omega = \Delta E \quad (47)$$

Enerji aralığı üzerindeki çoklu fonon ışaması Şekil 2.6 gösterilmektedir.



Şekil 2.6 : Işımasız ve çapraz sönüm süreçleri [2].

İyon-iyon etkileşmesi sonucu konsantrasyon quenching nedeniyle, aktif iyon miktarı arttıkça floresans şiddetti azalma göstermektedir. Katıldığı nadir toprak iyonlar izole olarak göz alınmaktadır. Konsantrasyon miktarı arttıkça, iyonlar arası boşluklar oldukça kısalmaktadır ve birbiriley kolayca etkileşmekte dirler. Uyarılmış seviyedeki iyon enerji kaybederek E_1 (yarı kararlı seviye) seviyesine düşmektedir ve diğer iyon ise enerji alarak taban durumundan uyarılmış duruma çıkmaktadır. Bu olaya çapraz (cross-relaxation) sönüm adı verilir ve klastırular yada kümelenmeler (clusters) içinde meydana gelmektedir. Birbirine çok yakın olan bir bölgedeki iyonların bir arada bulunması klastır olarak adlandırılır. Çapraz sönüm aynı nadir toprak iyonları arasında görülür ve birbirinden aynı seviyede ayrılan iki enerji seviyesi arasında oluşur. Dolayısıyla uyarılmış A iyonu enerjisinin yarısını taban durumundaki B iyonuna vermekte, her iki iyon yarı-kararlı seviyede son bulmaktadır. Bu seviyeden itibaren her iki iyon fonon salınımı yaparak taban durumuna gelmektedirler. Bazı cam malzemelerin fonon enerjileri Tablo 2.4 de verilmektedir.

Tablo 2.4. Bazı camların fonon enerjileri [4]

Cam	Fonon Enerjisi $\hbar\omega$ (cm ⁻¹)
Borat	1400
Silikat	1100
Fosfat	1200
Germanet	900
Telurit	700
Fluorazirkonat	500
Kalkojen	350

En hızlı yaşam süreleri değişimi sırasıyla, borat, fosfat, silikat, germanet, telurit, fluorazirkonat, ve klorit camlarında görülmektedir. Camlardaki OH⁻ miktarı, yüksek enerjili bu OH⁻ gruplarının titresimi sonucu nadir toprak iyonlarıyla çiftlenimi nedeniyle ısimasız geçişleri artttmaktadır. Yüksek titresimli bu grupların ısimasız geçişlere olan etkisi çoklu fonon geçişlerinden daha büyüktür. Nadir toprak iyonu arasındaki etkileşmeler sonucu uyarılmış seviyedeki iyonlar çapraz söküme uğramaktadırlar [2].

2.5. Optik Band Genişliği ve Urbach Enerjisi

Temel soğurma sınırlarının belirlenmesi için kristal ve kristal olmayan malzemelerin, UV bölgesindeki optik geçişleri ve elektronik band yapısı hakkında bilgiler elde etmek mümkün olmaktadır. Optik soğurma spektrumlarının kullanılmasıyla optik band genişliği, E_{opt} , ve Urbach enerjisini, ΔE , hesaplanması mümkündür. Bu tür malzemelerde soğurma bandıyla ilgili olarak, doğrudan ve dolaylı olmak üzere iki tür optik geçişler bulunmaktadır. Her iki durumda da, elektromagnetik dalga, valans elektronlarıyla etkileşmekte, iyonları taban durumundan uyarılmış duruma çıkarmaktadır. Doğrudan ve dolaylı geçişlerin foton enerjisiyle ilgili olarak soğurma katsayısı $\alpha(\nu)$ Davis ve Mott tarafından aşağıdaki denk. 52 ile ifade edilmiştir. Doğrudan band geçişleri için,

$$\alpha(\omega) = \frac{B(\hbar\omega - E_{opt})^n}{\hbar\omega} \quad (52)$$

Burada B bir sabit olup, $\hbar\omega$ ise foton enerjisidir. Doğrudan ve dolaylı geçişler için, n değeri $\frac{1}{2}$ ve 2 olarak verilmektedir. Denk. 52 in $(\alpha\hbar\omega)^{1/2}$ nin $\hbar\omega$ ya grafiğinden yaralanarak yapılan ekstrapolasyondan cam malzemelerin optik band genişlikleri

bulunur. Optik enerji band aralığının hesaplanması, $(\alpha h\omega)^{1/2} = 0$ ve $(\alpha h\omega)^2 = 0$ olarak eksrapolasyonundan bulunur [58-64].

0.90TeO₂-0.10PbF₂ ve 0.75TeO₂-0.25PbF₂ cam mazlemelerinin optik soğurma spektrumları 300-900 nm arasında, Shimadzu marka UV-VIS-N-IR 3101 PC model soğurma spektrofotometresi ile oda sıcaklığında ölçüldü. Cam malzemelerin optik band aralıkları, E_{opt}, ve Urbach, ΔE , enerjileri elde eilen soğurma spektrumlarından hesaplandı. Soğurma katsayısı $\alpha(\omega)$ denk. 53 ile verilir. Urbach enerjisi ΔE ise, denk. 53 deki $\ln(\alpha(\omega))$ nin $\hbar\omega$ ya göre grafiğinin eğiminden bulunur [55-64]:

$$\ln \alpha(\omega) = \left(\frac{\hbar\omega}{\Delta E} \right) - C \quad (53)$$

2.6. Termal Analiz

Günümüzde tulyum katkılı telürit camlarının yakın-kızılaltı bölgesindeki uygulamaları nedeniyle önem kazandığı dikkati çekmektedir. Çünkü, tulyum katkılı telürit camları, yakın-kızılaltı bölgede 1470 ve 1800-nm dalga boylarında ışınım bandına sahiptir. Bu ışınım bandları, fiber-optik yükselticilerin ve fiber lazerlerin geliştirilmesinde önemlidir [65-67].

Cam malzemelerin hazırlanması esnasında oluşan çekirdeklenme ve kristallenme parametrelerinin araştırılması, camların kararlı bir yapı göstermesi bakımından önemlidir. Amorf yapıların termal olarak kararlı olması, kristallenmeye karşı gösterdiği dirence bağlı olarak değişim göstermektedir. Dolayısıyle cam malzemelerin kristallenme kinetiğinin araştırılmasında termal analiz yöntemleri yaygın olarak kullanılmaktadır. Termal analiz yöntemleri için, isothermal ve isothermal olmayan yöntemler uygulanmaktadır. Isothermal metoda, cam malzeme hızlı bir şekilde ısıtılır ve cam geçisi sıcaklığının üzerinde tutulmaktadır. Bu durumda sabit sıcaklıkta kristallenme olmaktadır. Isothermal olmayan metoda ise, cam malzeme belirli ısıtma hızlarında ısıtılmakta ve termal analiz esnasında kristallenme olmaktadır. Isothermal olmayan metod, isothermal metod ile karşılaştırıldığında geniş sıcaklık aralığına sahip olmasıyla daha avantajlı görülmektedir. Örneğin, 0.70TeO₂-0.30LiCl cam malzemesinin diferansiyel termal analiz (DTA) sonucu, aktivasyon enerjisi 238 kJ/mol değerinde olduğu bulunmuştur [68-74].

Cam malzemelerin kristallenmesinde, aktivasyon enerjisinin hesaplanması önemli bir parametredir. Çünkü aktivasyon enerjisi kristallenme oranının hızını göstermektedir. Aktivasyon enerjisinin hesaplanması için kullanılan bir çok analitik modeller arasında en çok kullanılan Kissinger yaklaşımıdır [64-65]. Yüzey kristallenmesinin dominant olduğu durumlarda, Kissinger yaklaşımı kullanılarak aktivasyon enerjisi hesaplanmaktadır. Kissinger, isothermal olmayan kristallendirme metodu göz önüne alınarak, kristal çekirdeklenmesi ve kristal büyümeye oranı ise Ozawa yaklaşımı kullanılarak hesaplanmaktadır [67-82].

Termal analiz, malzemeye ait fiziksel bir özelliğin sıcaklığın bir fonksiyonu olarak ölçüldüğü veya bir tepkimede absorplanan yada açığa çıkan ısının izlendiği yöntemleri içerir. Termal analizler genellikle sabit basınç altında yürütüldüğünden geçerli olan termodinamik eşitlik Gibbs-Helmholtz ifadesidir [83-92]:

$$\Delta G = \Delta H - T\Delta S \quad (54)$$

Burada G sistemin serbest enerjisi, H sistemin entalpisi, S sistemin entropisi ve T Kelvin sıcaklığıdır.



gibi genel bir kimyasal tepkime için: ΔG eksİ değere sahip ise tepkime yazıldığı şekilde kendiliğinden olur, $\Delta G = 0$ ise sistem dengededir ve ΔG artı ise tepkime olmayacağından olur. Termal analiz kendiliğinden olan tepkimelerin incelenmesini içerir. Sıcaklığın bağımsız değişken olduğu yöntemler için $T\Delta S$ terimi önemlidir. Gibbs-Helmholtz denkleminin sıcaklığa göre türevi alırsa,

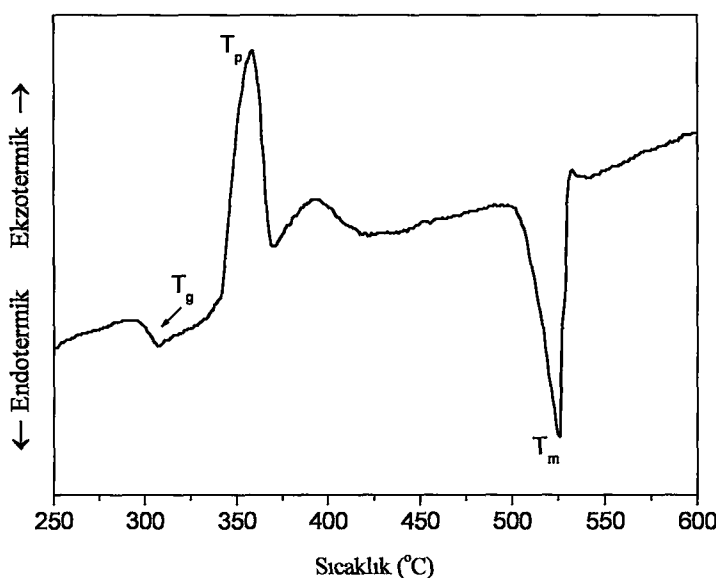
$$\frac{d(\Delta G)}{dT} = -\Delta S \quad (56)$$

elde edilir. Bu denklem, tepkimenin olmadığı bir durumdan ($\Delta G > 0$), tepkimenin olacağı bir duruma ($\Delta G < 0$) nasıl geçilebileceğini gösterir. Eğer ΔS artı değere sahipse, sıcaklığın artması ile sonuçta ΔG eksİ olacaktır, eğer ΔS eksİ ise sıcaklığın azalması ile istenilen kendiliğinden olan tepkime elde edilecektir [73].

Termal analiz metodu, cam malzemelerin kristallenme kinetiği çalışmalarında geniş kullanım alanına sahip bir tekniktir. DTA metodun da, analizi yapılacak olan

malzeme ile referans malzemesinin arasındaki sıcaklık farkının, zamanın bir fonksiyonu olarak ölçülmesi temeline dayanmakta ve meydana gelen tekimelerin sıcaklık değişimi, termodinamiği ve kinetiği hakkında bilgiler sağlamaktadır. Faz dönüşümüne maruz kalan bir malzeme ısıyı ya sağuracak ya da yaymaya başlayacaktır. Isının soğurulduğu durum endotermik, isının yayıldığı durum ise ekzotermik piklere karşılık gelecektir. Ölçülen malzemenin sıcaklığı referans malzemesinin sıcaklığından daha düşük ise endotermik pik ortaya çıkacaktır. Isıtılan bir cam malzemenin $10^{\circ}\text{C}/\text{dak}$ ısıtma hızında alınan DTA sonucu Şekil 2.7'de gösterilmektedir. Ekzotermik dönüşüm cam malzemede oluşan kristallenmeyi, endotermik dönüşüm ise erimeyi göstermektedir.. Yani, ekzotermik dönüşüm sırasında açığa enerji çıkar, bu enerji amorf haldeki sistemin enerjisidir. Bu enerji açığa çıkışınca, sistem düzene girer ve kristallenir. T_g cam geçiş sıcaklığını, T_p kristallenme ve T_m erime sıcaklıklarını temsil etmektedir.

DTA yöntemi bir malzemenin sabit bir hızda ısıtıması ya da soğutulması sırasında sıcaklığının, bir başka referans malzemesine göre, örnek malzemenin referans malzemesinin ya da fırın sıcaklığının bir fonksiyonu olarak kaydedildiği termal yöntemdir. Örnek malzemedeeki sıcaklık değişimleri, faz dönüşümleri, kristal yapı değişimi, erime, kaynama, buharlaşma, kristal örgü yapısının bozulması ve kimyasal tepkimelerin neden olduğu ekzotermik ve endotermik tepkimeler nedeniyle gerçekleşir [93-94].



Şekil 2.7: 0.90TeO₂-0.10PbF₂ için DTA grafiği [95].

DTA analizindeki kimyasal ve fiziksel değişimler sırasında meydana gelen sıcaklık değişimleri Şekil 2.7 de gösterilmektedir. DTA eğrileri hem nitel hemde nicel analize uygundur. Piklerin hangi sıcaklıkta gözlendiği ve şekli malzeme bileşiminin belirlenmesinde kullanılabilir. Pik alanı ise tepkime ısısı ve madde miktarı ile doğru orantıldır. Oranı katsayısı fırının ilk sıcaklığı, ısıtma hızı, malzemenin tanecik boyutu gibi deneyel parametrelerden etkilenir. Ayrıca eğrinin şekli, tepkime kinetiğinin değerlendirilmesine de yardımcı olur. DTA pik alanları (A), madde miktarına, tepkime ısısına ve malzemeye ısı akışına bağlıdır. Bunlar aşağıdaki denklem 57 ile ifade edilmiştir [74]:

$$A = -\frac{m\Delta H}{gk} \quad (57)$$

Burada, g malzeme geometrisine ilişkin bir sabit, k ısil iletkenlik katsayıısı ve m malzemedeki aktif bileşenin mol sayısıdır. Sabitlerde g ve k 'nın değeri deneyel olarak saptanabilirse de, genellikle, birleştirilerek basit bir teorik çevirme faktörü, k' ile ifade edilir. Buna göre,

$$A = k'm(\Delta H) \quad (58)$$

olur. Buradan görüldüğü gibi pik alanı ile kütle arasında doğru orantı vardır [74].

Dolayısı ile nicel analiz için, kütlesi bilinen bir malzemenin pik alanı (A) aynı koşullarda bilinmeyen malzemeye karşılaştırılır.

$$m_{bilinmeyen} = m \left[\frac{A_{bilinmeyen}}{A} \right] \quad (59)$$

Malzeme ve referans malzemesi aynı fırın içinde farklı kaplara yerleştirilir. Kaplar genellikle platinden yapılmıştır, oldukça birbirine yakın yerleştirilir. Sıcaklıklar malzeme kaplarına yakın yerleştirilmiş termoçiftler tarafından izlenir [75].

DTA analizinden elde edilen pikler kullanılarak malzemenin kristallenme aktivasyon enerjisi hesaplanmaktadır. Aktivasyon enerjisi ve kristallenme mekanizması camların kristallenmesinde en önemli kinetik parametrelerdir. DTA ölçümü sırasında bir tepkime oluşursa, malzemenin ısı içeriğindeki ve termal özelliklerindeki değişim birer pik olarak belirtilir. Eğer reaksiyon sıcaklıkla değişen bir hızda meydana geliyorsa (aktivasyon enerjisine sahipse) oluşan piklerin yeri ısıtma hızı ile

değişmektedir. Pik sıcaklığında meydana gelen bu değişim reaksiyonlarının aktivasyon enerjilerini belirlemekte kullanılır. Genelde camlarda kristal çekirdeklenme oranı, n, cam geçiş (T_g) sıcaklığının biraz üzerinde bir sıcaklıkta en yüksek değerine ulaşır ve artan sıcaklıkla birlikte hızlıca düşer. Bunun yanında, kristal büyümeye oranı, m, ise çekirdeklenmeye oranla daha yüksek sıcaklıklarda en yüksek değerine ulaşır. Yani, sabit bir ısıtma hızında cam ısıtılrken düşük sıcaklıkta oluşan kristal çekirdekleri daha yüksek sıcaklıkta sayıca artmadan boyutsal olarak büyümeye gösterir. Kinetik çalışmalarda, izotermal ve izotermal olmayan iki yöntem kullanılır [64,65,68]. İzotermal metodda, malzeme T_g cam geçiş sıcaklığının hemen üzerine ısıtılır ve bu sıcaklıkta tutulurken meydana gelen kristallenme sürecinde, sabi sıcaklıkta yayılan ısı zamanın bir fonksiyonu olarak kaydedilir [94]. İzotermal olmayan yöntemde ise, malzeme sabit bir ϕ ısıtma hızıyla ısıtılır ve yayılan ısı sıcaklığın bir fonksiyonu olarak kaydedilir. Kısaca DTA sonuçlarının yorumlanması, Johnson-Mehl-Avrami tarafından geliştirilen dönüşüm kinetiğinin temel teorisi ile sağlanır [71-72]. Teori en basit haliyle kristalleşen (X) hacim miktarını, zamanla çekirdeklenme ve kristal büyümeye oranı cinsinden ifade edilir:

$$X = 1 - e^{(-kt)^n} \quad (60)$$

Burada k efektif tepkime hızı, n ise Avrami sabiti, m ise n ye bağlı ($n=m+1$) olarak kristal büyümeye oranını göstermektedir.

Tablo 2.5: Isıtma hızına bağlı olarak farklı kristallenmeler için n ve m değerleri [69-74].

Kristallenme mekanizması	n	m
Sabit çekirdeklenmedeki hacim kristallenmesi(çekirdeklenme sayısı ısıtma hızından bağımsız)		
Üç boyutta kristal büyümesi	3	3
İki boyutta kristal büyümesi	2	2
Bir boyutta kristal büyümesi	1	1
Artan çekirdeklenmedeki hacim kristallenmesi(çekirdeklenme sayısı ısıtma hızıyla ters orantılı)		
Üç boyutta kristal büyümesi	4	3
İki boyutta kristal büyümesi	3	2
Bir boyutta kristal büyümesi	2	1
Yüzey kristallenmesi	1	1

Cam malzemelerin kristalizasyon mekanizmalarında DTA eğrilerinden kristallenme pikleri kullanılarak aktivasyon enerjisini hesaplamak mümkündür. Aktivasyon enerjisinin hesaplanmasında Matusita - Sakka tarafından belirlenen modifiye-Kissinger yaklaşımı kullanılır [69]. Modifiye-Kissinger yaklaşımı denk.61 ile verilmektedir [96-99].

$$\ln\left(\phi^n / T_p^2\right) = -\left(E_c / RT_p\right) + C \quad (61)$$

Denk.61 deki ϕ ısıtma hızını, T_p kristallenme pik sıcaklığını, E_c aktivasyon enerjisini ve R ise gaz sabitini (8.31 J/K-mol), C sabit bir değeri göstermektedir. Aynı zamanda n Avrami sabiti olup malzemedeki sıcaklık değişimi esnasında oluşan çekirdeklenmeyi, m ise kristallenmenin boyutunu temsil etmektedir. Yüzey kristallenmesi durumunda n = m = 1 olmaktadır. n = m = 1 durumunda denk.61 Kissinger yaklaşımına indirgenmektedir ve denk.62 ile ifade edilir:

$$\ln\left(\phi / T_p^2\right) = -\left(E_c / RT_p\right) + C \quad (62)$$

Avrami sabiti n nin hesaplanması Ozawa yaklaşımıyle bulunmaktadır. Ozawa yaklaşımı denk.63 ile verilmektedir [69-98].

$$\frac{d\{\ln[-\ln(1-x)]\}}{d\ln(\phi)} = -n \quad (63)$$

Denk.63 deki x değeri belirli bir sıcaklıktaki hacimsel alanı temsil etmektedir. Ozawa denkleminden elde edilen Avrami sabiti n=1 ise bir boyutlu kristal büyümesi, n=2 iki boyutlu kristal büyümesi ve n=3 üç boyutlu kristal büyümeye karşılık gelmektedir. Denk.63 den $\ln[-\ln(1-x)]$ nin $\ln(\phi)$ ye göre grafiğinden Avrami sabiti n hesaplanır. Bulunan n değeri modifiye Kissinger denkleminde yerine yazılıarak, $\ln\left(\phi^n / T_p^2\right)$ nin $1/T_p$ ye grafiğinden E_c aktivasyon enerjisi hesaplanır. Aktivasyon enerjisinin hesaplanmasında R gaz sabiti 8.31 Joule/K-mol alınır.

DTA analizi sonuçlarını, cihazdan kaynaklanan faktörler ve malzemenin karakteristik yapısı etkilemektedir. Cihazdan kaynaklanan faktörler olarak, fırın atmosferi, fırın boyutu ve şekli, malzeme tutucusu-geometrisi, ısıtma hızı sayılabilir. Malzemeden kaynaklanan etkiler ise, tane boyutu, malzeme miktarı, kristallendirme

derecesi ve ısil iletkenlik olarak görülmektedir. DTA, camların kristallenme kinetiğinin incelenmesi ve kristallenme aktivasyon enerjisinin belirlenmesinde yaygın bir teknik olarak kullanılmaktadır.

2.7 Mikroyapışal Karakterizasyon

2.7.1 X-Işınları Kırınımı Metodu

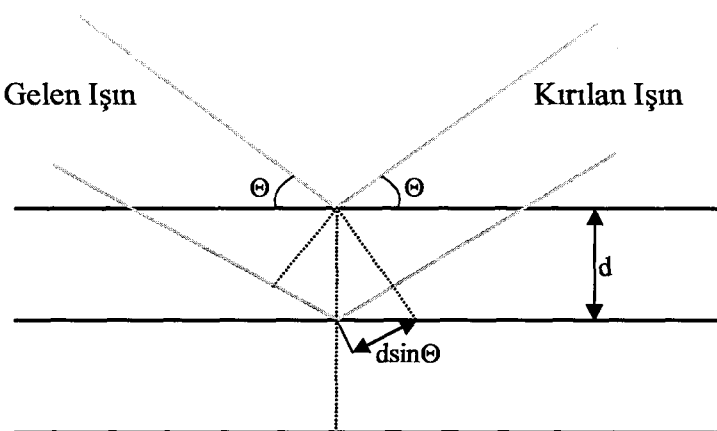
X-işınları 1895 yılında Alman Fizikçi Wilhelm Conrad Roentgen tarafından tesadüfen bulunmuştur [78-85]. X-işınları ilk bulunduğu dönemde özellikleri tam olarak bilinmediğinden, X yani bilinmeyen olarak tanımlanmış ve adında x-işınları denilmiştir. 1912 yılı X-işınları konusunda çok büyük bir gelişmeye sahne olmuştur [85]. Çünkü bu yılda kristal yapılı malzemelerin X-işınlarını kırınma uğrattığı görülmüştür. Bu önemli keşif sonucunda hem kristal yapılı malzemelerin iç yapılarının incelenmesi konusuda yeni bir bakış açısı ortaya konmuş hemde X-işınlarının parçaçık karakterinin yanısıra dalga özelliklerini de taşıdığı ortaya çıkmıştır. Günümüzde X-işınlarının radyasyon olduğu, görülebilir ışık ile aynı özellikleri taşıdığı, fakat dalga boyunun görülebilir ışıktan çok çok küçük olduğu bilinmektedir. Bir elektromagnetik radyasyon olan X-işınları demeti enerji taşıır ve dalga hareketinin yönüne dik olarak bu enerjinin birim alandan akış oranına şiddet denir. Şiddetin ortalama değeri dalganın genliğinin karesiyle orantılıdır. Kırınım iki veya daha fazla dalga arasındaki faz ilişkileri sonucunda meydada gelir. Örneğin iki farklı X-işınları demeti arasındaki yol farkı bir faz farkını meydana getirir ve fazda meydana gelen değişimlere bağlı olarak genliktede bir değişim olması sonucu ortaya çıkar. Bir kristal kafeste (örgüde) yer alan düzlemlerin indislenmesi Miller tarafından (h, k, l) gösterilen bir sistemle açıklanır. Bu yöntemde düzlemlerin eksenleri kesişme mesafelerinin kesirsel değerlerinin tersi kullanılır. Örneğin Miller indisleri (h, k, l) olan kristal kafeste, bu indisler eksenlere oranlanırlarsa $1/h, 1/k, 1/l$ olurlar ve eksensel uzunluklar a, b, c olarak alınırsa $a/h, b/k, c/l$ sonucuna ulaşılır. Bir kristal kafeste farklı düzlem takımlarının farklı düzlemlerarası mesafesi vardır. Düzlemler arasındaki d_{hkl} mesafesi düzlemler arasındaki en kısa mesafeden ölçülmektedir ve hem (h, k, l) indislerinin hem de ($a, b, c, \text{kafes sabitleri ile}; \alpha, \beta, \gamma, \text{kafes açıları}$) kafes parametrelerinin bir fonksiyonudur. Malzeme üzerine yollanan X-işınlarının dalga boyu sabit olduğuna göre yol farkı ne kadar büyükse faz farkında o kadar

büyük olacağı ve yol farkı ve faz farkının dalga boyuna eşit yada dalga boyunun katları kadar olacağı söylenebilir.

Yaklaşık 1 Å mertebesinde dalga boyuna sahip elektromanyetik ışın olan X-ışınları, genellikle yüksek enerjili elektronlarla bir metalin bombardimanından elde edilir. Elektronlar metale dalıp çıkışken yavaşlar ve sürekli/beyaz radyasyon Bremsstrahlung denilen sürekli bir dalga boyu aralığına sahip ışın üretir [86]. Sürekli bant üzerinde şiddetli bir kaç keskin pik yer alır. Bu pikler atomun iç tabakalarındaki elektronlar ile gelen elektronların çarpışmalarından meydane gelir. Çarpışma iç tabakadan bir elektronu uzaklaştırır. Oluşan boşluğa X-ışını fotonu olarak, enerji yayayıarak daha yüksek enerjili bir elektron düşer. Elektron K- tabakasına düşerse X-ışınları K-ışınması olarak sınıflandırılır. X-ışınları kısa dalga boylu ve yüksek enerjiye sahip elektromanyetik radyasyonun bir çeşidi yada enerji parçacıklarının oluşturduğu fotonlar olarak da adlandırılır. Bütün elektromağnetik ışınmalar, dalgaboyu, frekans yada foton enerjisiyle karakterize edilir. Dalgaboyu, frekans ve enerji arasındaki bu ilişki $v=c/\lambda$ ve $E=hc$ denklemleri ile gösterilir [86].

X-ışınları kırınımı yöntemiyle kristalin yapısal olarak incelenmesi gerçekleştirilmektedir. Kısa dalga boyuna sahip x-ışını demeti analiz edilecek malzemenin üzerine gönderilir. X-ışınları malzemeye çarptığında, bu ışınların bir kısmı ışının yolu üzerinde bulunan atomlar ve iyonlar ile bağlantılı olarak elektronlar tarafından saçılmasına uğratılır. Çok küçük toz halindeki malzemelerin yapısını incelemeye toz kırınım metodunu kullanmaktadır.

Bir kristalden kırınım olayının basit bir açıklaması 1912 yılında Avustralyalı Fizikçi William Lawrence Bragg tarafından gerçekleştirilmiştir [86]. Bragg teorisi deneyel sonuçları doğru olarak öngerebilmiştir. Bragg teorisine göre, gelen bir dalganın kristaldeki atomların oluşturduğu düzlem tabakalarından yansımışi gözönüne alınmaktadır. Her tabaka gelen ışının bir kısmını yansıtacaktır. Kırınım olayı Şekil 2.8'de gösterildiği gibi, bu farklı tabakalarдан yansıyan dalgaların girişimleri sonucu oluşur. Burada, yansıma sırasında X-ışınlarının elastik olarak saçıldığı, yani enerjilerinin değişmediği varsayılmıştır. Paralel örgü düzlemlerinin d aralıkları sıralandığını varsayılmıştır. Gelen ışın kağıt düzlemi içindedir. Komşu iki düzlemden yansıyan ışınlar arasındaki yol farkı $2ds\sin\theta$ olur ve burada θ gelen ışının malzeme yüzeyi ile yaptığı açıdır. Yapıçı girişim olayı için, ardışık düzlemlerden yansıyan ışınlar arasındaki bu yol farklarının dalgaboyunun tam katları olması gereklidir:



Şekil 2.8 : Kristal yapıda Bragg denkleminin gösterilişi [86].

Bragg yasası $2ds\sin\theta = n\lambda$ olarak bilinir. Bragg yasasının gerçekleşmesi için $2d \geq \lambda$ gereklidir. Görünen ışık kullanılmamasının nedeni budur. Atomlar üzerine gelen X-ışınlarını her doğrultuda kırınımı uğratırlar. Bu doğrultuların bazılarında kırınımı uğrayan X-ışınları demetleri aynı fazda olacağını, biribirlerini kuvvetlendirerek kırınım demetlerini oluştururlar. Şekil 2.8'de görüldüğü gibi, gelen X-ışınları ile kırınımı uğrayan X-ışınları aynı fazdadırlar. Bu doğrultudaki demetler aynı fazda olduklarından birbirlerini güçlendirerek kırınım demetlerini oluştururlar.

Bir tek düzlemden yansımamanın düzlem ayna gibi olmasına rağmen, ancak belirli θ açılarında tüm parel düzlemlerden yansayan ışınlar yapıcı bir girişim sonucu kuvvetli bir yansımaya yol açarlar. Bragg kuralı kristal kafesin periyodik oluşunun bir sonucudur [86].

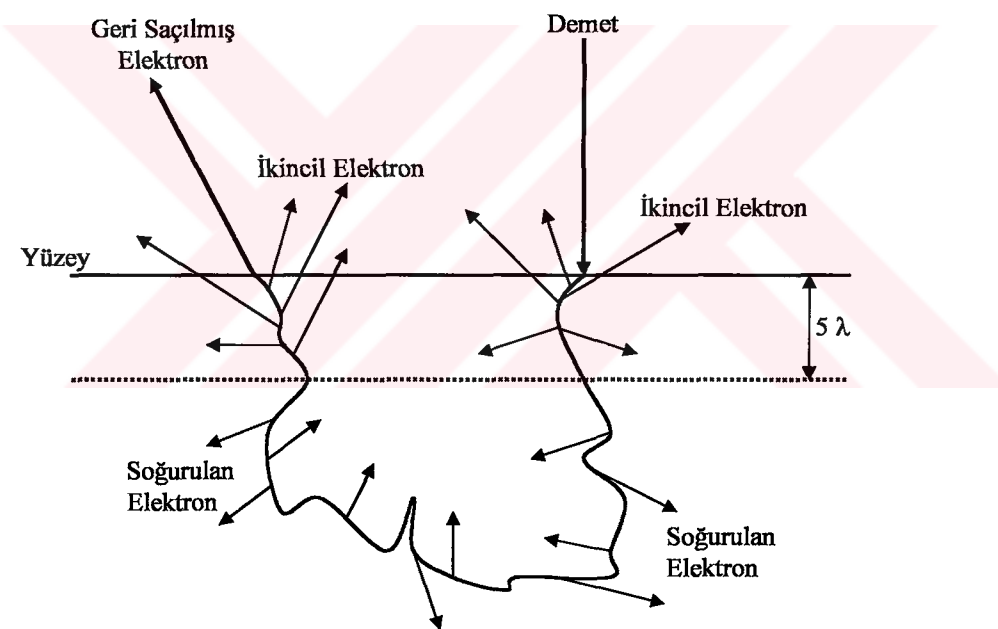
Bu teknikte aynı dalga boyuna sahip (monokromatik) bir ışın ve malzemenin toz hali kullanılır. Malzeme toz haline getirildiği zaman, kristallerin bazıları her bir (hkl) düzlem takımı için Bragg şartını sağlayacak şekilde yönlenecektir. Yani kristallerin bazıları d_{111} aralığına sahip (111) düzlemlerinin θ yansımaya açısında kırınım verecek şekilde yönlenmiş olacaktır. Bu geliş açısına sahip kristaller, gelen ışın demeti ile her türlü açıyı yapabilir; bundan dolayı kırınımı uğrayan ışınlar, gelen ışınla 2θ açısı yapan bir koni içerisinde bulunurlar. Her bir (hkl) düzlemler takımı bir kırınım konisi verir. Çünkü, gelişigüzel yönlenmiş kristallerin bazıları gelen ışın ile olumlu girişim için gerekli açıyı yapacaktır. X-ışını örneklerinden belirlenen 2θ değerleri, JCPDS (Joint Committee on Powder Diffractions Standards) kartlarındaki çeşitli kristal

fazlara ait 2θ değerleri ile karşılaştırarak fazlar belirlenmiştir [88-89]. Toz kırınım teknikleri (X-ışını kırınımı) kırınım çizgilerinin yerlerini ve şiddetlerini geniş bir veri (JCPDS) bankası ile karşılaştırmak suretiyle katı bir madde olan örnek malzemenin yapısını teşhis etmede kullanılır.

2.7.2 Optik Mikroskop (OM) ve Taramalı Elektron Mikroskopu (SEM)

Optik mikroskop ile malzemelerin yüzey özelliklerinin çok küçük boyutlarda yüzey topografiyası elde edilmektedir. Bir optik mikroskop üzerinde farklı büyütümlere ayarlı mercekler ve dijital kamera bulunmaktadır. Taramalı elektron mikroskopu (SEM) öncesi malzemenin optik mikroskopta incelenmesi analiz almayı daha bir kolaylaştırmakta ve zaman kaybını önemektedir. Taramalı Elektron Mikroskopu incelemesi, malzemenin elektron demeti ile olan çok çeşitli etkileşimleri değerlendirilerek yapılır. Malzeme ile elektron demetinin etkileşimi, genel olarak, elastik ve inelastik olmak üzere ikiye ayrılır. Bu etkileşimlerin tümü, malzemenin şekli, bileşimi, kristal yapısı ve buna benzer özellikleri hakkında bilgi edinilmesinde kullanılır [90]. Elektron demeti ile malzeme atom ve elektronlarının etkileşimi sonucu, elektronların yönlerinde ve enerjilerinde oluşan değişiklik saçılma olarak tanımlanır. Saçılma elastik ve inelastik olmak üzere ikiye ayrılır [92]. Elastik saçılımada, elektronun yönünde değişiklik olduğu halde kinetik enerjisi aynı kalır [92]. Yüksek enerjili geri saçılımış elektronlar, elastik saçılma örneğidir [92]. İnelastik saçılımada elektronun kinetik enerjisi çarptığı atom ve elektronlara ilettilir. Bu etkileşimin sonucu olarak da X-ışınları, Auger elektronları, ikinci elektronlar yayılanır. Elastik ve inelastik saçılma birarada oluşan süreçlerdir. Elastik saçılımada, demetteki elektronlar yön değiştirerek katı içerisinde yayılanır. Aynı kalınlıkta malzemeler karşılaştırıldıklarında, atom numarası büyük olan malzemelerde elastik saçılma daha fazla görülür. Yine aynı malzemedede, düşük demet enerjisi kullanıldığından da daha fazla elastik saçılma oluşur. İnelastik saçılımada ise demet ile gelen elektronların enerjisi her çarpışmada bir miktar azalarak katı tarafından elektronun tutulması ile son bulur [92]. Etkileşme hacmini malzemenin atom numarası, malzemenin demete göre eğimi, kullanılan demetin enerjisi belirlemektedir [91-93]. Etkileşme hacminin özelliği derinliğinin genişliğinden fazla olmasıdır.

Bir malzemeye çarpan demet elektronlarının önemli bir bölümünün sonuça yüzeyden kaçtığı Şekil 2.9'da gösterilmiştir. Geri çıkan bu demet elektronlarının hepsine geri saçılış elektronlar adı verilir. Malzeme yüzeyine çarpan elektronlar, geri saçılma olayı gerçekleşmeden önce, katının içerisinde bir miktar yol alırlar. Bu nedenle, malzemeden çıkan geri saçılış elektronlar, malzemenin sadece yüzeyi hakkında değil, yüzeyde belli kalınlıkta bir tabakanın bileşimi hakkında da bilgi verir. İkincil elektronlar, yüksek enerjili demet elektronları ile gevşek bağlı iletken elektronlar arasındaki etkileşimin sonucu olarak ortaya çıkar. 50 eV dan daha küçük bir enerji ile yayılan elektronlar ikincil elektronlar olarak adlandırılır [93]. İkincil elektronların önemli bir özelliği, düşük kinetik enerjileri nedeniyle, sığ bir yüzeyi örneklemedesidir. İkincil elektronlar, malzeme ile demetin etkileşim hacmi içerisinde oluşurlar [91-94].



Şekil 2.9: Demet elektronları ile geri saçılış elektronlardan ikincil elektron oluşumu [91].

Demet elektronları atomların en dış yörüngesindeki elektronlara çarparak bunlara yörüngelerinden çıkartabilir. Çekirdeklerine oldukça zayıf bir kuvvetle bağlı olan bu elektronları çekirdekten ayırmak için az miktarda enerji yeterlidir [91]. Demet elektronları etkileşim hacminde hareket ederken enerjileri bitinceye kadar ikincil elektron (inelastik saçılma sonucu oluşur) oluşturabilirler. Etkileşim hacmi içinde hareket eden elastik saçılma sonucu oluşan geri saçılış elektronlarda, elastik

olmayan çarpışmalarla ikincil elektron oluşturabilirler. İkincil elektronların malzeme yüzeyinden dışarı çıkarak algılanabilmeleri için yüzey enerjisini yenmeleri gereklidir. Ancak yüzeye yakın bir tabaka içinde oluşan ikincil elektronlar yeterli enerjiye sahiptirler. Bu tabakanın kalınlığı metallerde 5 nm den daha azdır [91]. Metal dışı malzemelerde ise 50 nm ye kadar artabilir [92]. Demet elektronları Şekil 2.9 da görüleceği gibi dar hacim içinde ikincil elektron oluşturabilirler. Ancak geri saçılan elektronlar bu tabakaya daha eğik bir açıda girdiklerinden bu tabaka içinde daha uzun yol alırlar. Buna bağlı olarak da ikincil elektron oluşturma şansı daha yüksektir. Demet elektronlarının oluşturduğu ikincil elektronlar dar bir hacimden çıktııkları için yalnız bu hacmin özelliklerini yansıtırlar. Geri saçılımış elektronlar ise daha geniş bir alandan yayılırlar ve bunların oluşturduğu ikincil elektronlar daha geniş bir hacmin özelliklerini yansıtırlar. Ancak geri saçılımiş elektronların en yoğun oldukları bölge çıktııkları yer olan demetin çevresidir ve demetten uzaklaşıkça yoğunluk hızla azalır [93-100].

3. DENEYSEL YÖNTEMLER

3.1 Cam Malzemelerin Sentezi

Sunulan tez çalışmasının tamamında Tm^{3+} iyonu katkılı ve katkısız olmak üzere iki kısımda telürit cam malzemeleri sentezlenmiştir. Malzemelerin hazırlanması aşamasında, öncelikle toz haldeki telürdioksit, TeO_2 , (%99.999, saflikta, Aldrich Kimyasal Şirketi), kurşun florür, PbF_2 , (%99+, saflikta, Aldrich Kimyasal Şirketi), ve tulyum oksit, Tm_2O_3 , (%99.9, saflikta, Sigma Kimyasal Şirketi) kimyasallarının molekül ağırlıkları ve karışım oranlarına göre, her bir sentez için 7 g oranlarında hassas terazide tartılarak platin kroze içinde karıştırılmıştır. Deneysel aşamaların her biri için kullanılan malzemelerin özellikleri ayrıca EK. D'de verilmiştir. Cam matrisindeki kimyasalların molekül ağırlıkları sırasıyla, TeO_2 , 159.6; PbF_2 , 245.190; ve Tm_2O_3 , 385.86 g/mol dır. Platin kroze içinde iyice karıştırılan kimyasallar, elektrikli ve ısıtma hızı kontrollü CarboliteTM, 10°C/dak ısıtma hızı ile ısıtılarak 800°C sıcaklığında eritilmiş ve bunu takiben 60 dakika fırın içerisinde bekletilmiştir. Şekil 3.1, 3.2 ve 3.3'de sırasıyla, zaman ayarlı elektrikli fırın, kimyasallar, platin kroze, grafit kalıp ve elde edilen cam malzemelerin resimleri görülmektedir. Eriyik haldeki sıvı iki grafit arasında hızla soğutularak cam malzemeler elde edildi. DTA, XRD ve SEM ölçümleri için gerekli olan cam malzemeler platin kroze içinde oda sıcaklığındaki su ortamında, optik ölçümler için ise hem grafit tabaka, hem de metal levha arasında hızla soğutularak şeffaf cam malzemeler olarak elde edildi. Optik mikroskop ve SEM için gerekli olan cam malzemelerin yüzeyinin parlatılması için, düz bir cam üzerine farklı oranlardaki SiC , CeO_2 tozu ve sıvı temizlik deterjanı kullanılarak yapıldı. Cam malzemenin yüzeyindeki pürüzlerin yok edilmesinde, önce 600 incelikli SiC , 400 CeO_2 tozu kullanıldı, sonra bu camların yüzeyi mintax deterjanı ile parlatıldı. $(1-x)TeO_2-xPbF_2$ bileşimindeki x mol oranını göstermektedir. Eğer bileşimi toplam 1 mol olarak gözönüne alırsak, x mol PbF_2 den ve $(1-x)$ mol de TeO_2 den bileşime ilave etmiş oluruz. 0.05 mol PbF_2 den bileşime katkılandırdığımızda geriye 1-0.05 yani 0.95 mol TeO_2 miktarı kadar ilave etmemiz gerekmektedir.

1-Katkısız telürit camları: $(1-x)\text{TeO}_2\text{-}x\text{PbF}_2$:

- i) $0.95\text{TeO}_2\text{-}0.05\text{PbF}_2$
- ii) $0.90\text{TeO}_2\text{-}0.10\text{PbF}_2$
- iii) $0.85\text{TeO}_2\text{-}0.15\text{PbF}_2$
- iv) $0.75\text{TeO}_2\text{-}0.25\text{PbF}_2$
- v) $0.50\text{TeO}_2\text{-}0.50\text{PbF}_2$

2-Tm³⁺ Katkılı telürit camları: $(1-x)\text{TeO}_2\text{-}x\text{PbF}_2$:

2.1- %1.0 mol Tm³⁺ Katkılı telürit camları: $(1-x)\text{TeO}_2\text{-}x\text{PbF}_2$:

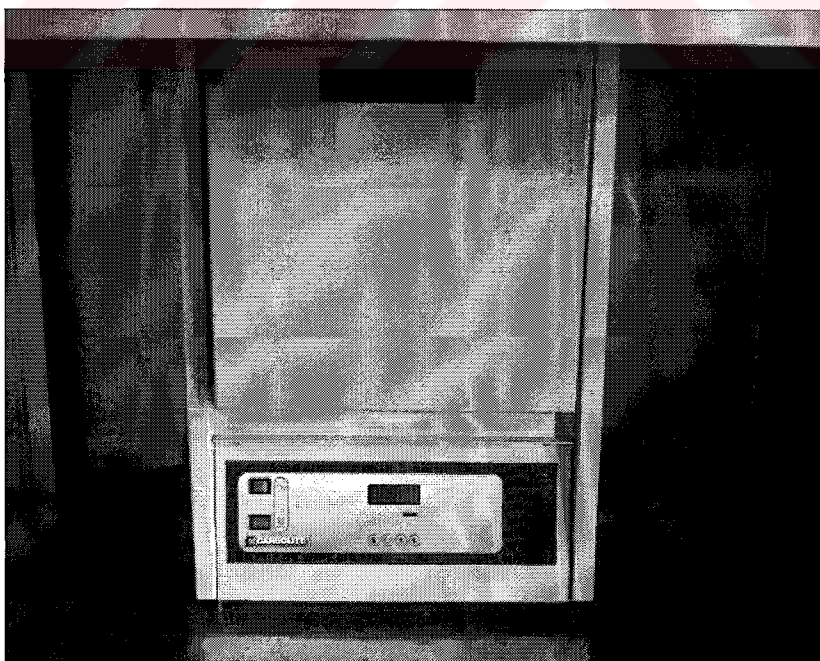
- i) $0.90\text{TeO}_2\text{-}0.10\text{PbF}_2$
- ii) $0.85\text{TeO}_2\text{-}0.15\text{PbF}_2$
- iii) $0.83\text{TeO}_2\text{-}0.17\text{PbF}_2$
- iv) $0.80\text{TeO}_2\text{-}0.20\text{PbF}_2$
- v) $0.78\text{TeO}_2\text{-}0.22\text{PbF}_2$
- vi) $0.75\text{TeO}_2\text{-}0.25\text{PbF}_2$

2.2- %0.5 mol Tm³⁺ Katkılı telürit camları: $(1-x)\text{TeO}_2\text{-}x\text{PbF}_2$:

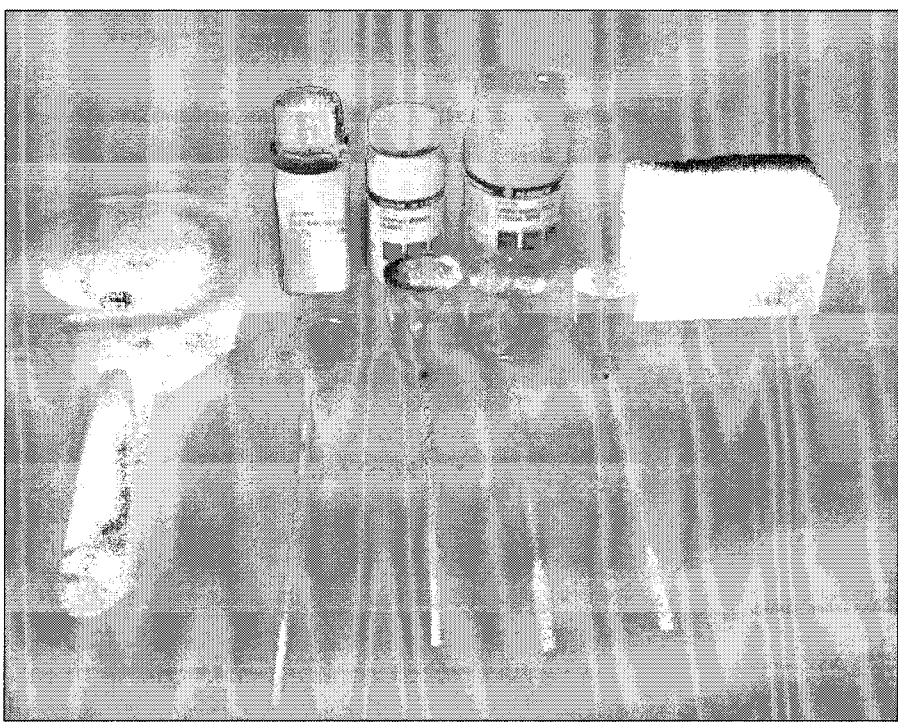
- i) $0.90\text{TeO}_2\text{-}0.10\text{PbF}_2$

2.3- %0.2 mol Tm³⁺ Katkılı telürit camları: $(1-x)\text{TeO}_2\text{-}x\text{PbF}_2$:

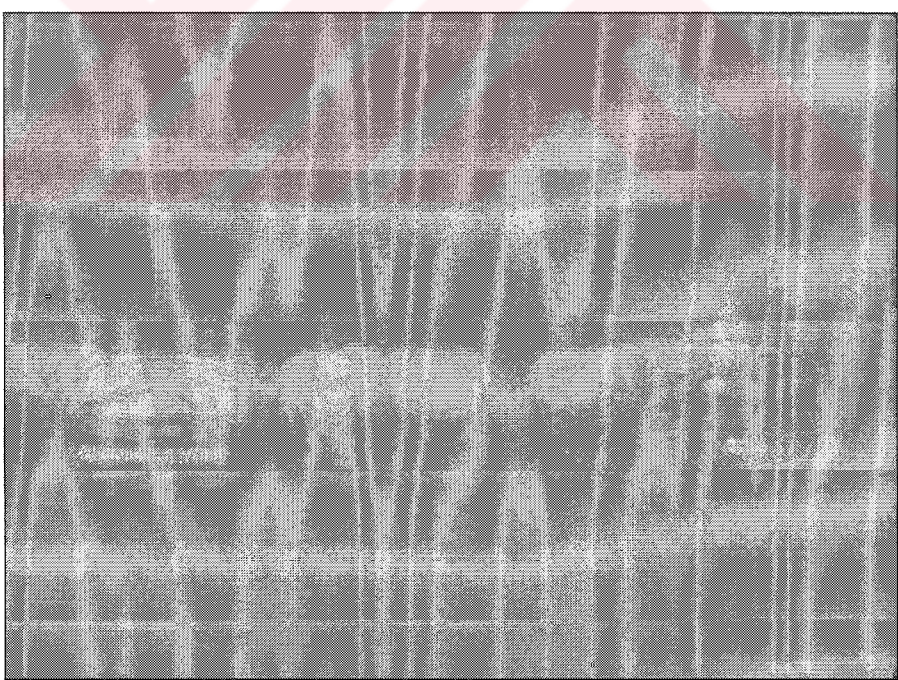
- i) $0.90\text{TeO}_2\text{-}0.10\text{PbF}_2$



Şekil 3.1: Zaman ayarlı elektrikli Carbolite™ fırından bir görünüm (İ.T.Ü Fizik Bölümü, Lazer Malzeme Sentez ve Optik Laboratuari).



Şekil 3.2: Malzeme sentezinde kullanılan kimyasallar, agata, platin krozeler, ve grafit kalıp.



Şekil 3.3: Sentezlenen Tm^{3+} katkılı TeO_2 - PbF_2 cam malzemelerinin görünümü.

3.2. Optik Ölçümler

3.2.1 Yoğunluk ölçümü

Bir cismin birim hacminin kütlesine o cismin yoğunluğu denir ve d (g/cm^3) ile gösterilir. Şekli düzgün olmayan cam gibi cisimlerin yoğunlukları, Arşimedede kanununun piknometre (cam tüp) yöntemine uygulanmasıyla hesaplamalar yapılır. Piknometre boş iken tartılır, (M_p : piknometrenin ağırlığı) oda sıcaklığında saf su ile doldurulur (M_{p+s} : su ve piknometrenin ağırlığı) ve hassas terazide tartılır. Yoğunluğu hesaplanacak malzeme piknometrenin içine konulur, (M_{p+s+c} : içinde su ve cam bulunan piknometrenin ağırlığı) ve taşan su çok dikkatli olarak temizlenir ve tartılır. Kütlesi bilinen cam (M_c : camın kütlesi) malzemenin yoğunluğu hesaplanmış olur. Taşan suyun kütlesi M_t ise aşağıdaki eşitlik 64 ile hesaplanır:

$$M_t = (M_{p+s+c}) - [(M_{p+s}) + (M_c)] \quad (64)$$

M_t taşan suyun hacmi, camın hacmine eşit olduğundan, aynı zamanda suyun yoğunluğu 1 g/cm^3 olduğundan, camın yoğunluğunu denklem 65 ile hesaplamak mümkündür.

$$d = \frac{M}{V} \quad (65)$$

3.2.2 Kırılma indisinin hesaplanması

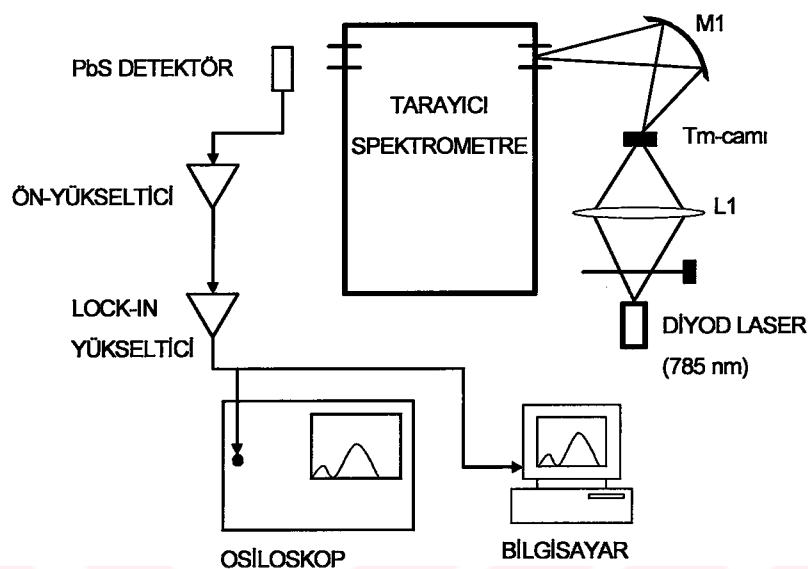
1064-nm dalga boyundaki Tm:YVO_4 lazer ışınımı cam malzeme üzerine odaklanır. Bu durumda cam malzemeden saçılan lazer ışınınının, powermeter'deki şiddetinin sıfır olmasına kadar döndürülür. Bu noktadan itibaren cam malzemeden saçılan ışınının sağ ve sol yönlerdeki şiddetinin arttığı gözlenmektedir. Powermeter ile malzemenin sabit olduğu nokta arasındaki mesafe ölçülür ve Snell kırılma kanunu kullanılarak, Brewster açısında cam malzemelerin kırılma indisleri, n , hesaplanmış olur [86]. Brewster açısında yansımaya ve kırılma ışınları arasındaki açının toplamı 90° olmaktadır. Yansıtma açısının tangent değeri cam malzemenin kırılma indisine eşit olmaktadır.

3.2.3 UV/VIS/NIR Soğurma spektroskopisi

Soğurma spektroskopisinde enerji seviyeler arasındaki elektronik geçişleri uyarmak için, yakın-morötesi, görünür ve yakın-kızılaltı bölgelerindeki elektromagnetik ışınım kullanılmaktadır. Soğurulan şiddetin foton enerjisi, frekans (v) yada dalga boyuna (λ) bağlı olarak soğurma spektrumları cinsinden elde edilir [85]. Soğurma şiddeti fotonların dalga boyuna ya da enerjilerine güçlü bir şekilde bağlıdır. Bant pikleri ve genişlikleri, enerji E (eV), dalga sayısı \bar{v} (cm^{-1}), frekans v (hertz) yada dalga boyu λ (nm) birimlerinde tanımlanır. 2 ± 1 mm kalınlığındaki camların her birinin soğurma spektrumları, 300-2000 nm dalga boyu aralığında, ShimadzuTM marka UV-VIS-NIR 3101 PC model soğurma spektrofotometresi ile oda sıcaklığında alındı. Bu spektrometrenin çözünürlüğü ±0.1 nm olup 190 nm ile 3200 nm dalga boyu arasında ölçüm alabilme kapasitesine sahiptir. Dedektörü morötesi ve görünür bölgede R-928 fotonçoğaltıcı, yakın-kızılaltı bölgede algılayıcı kısmı PbS'den yapılmış olan dedektör bulunmaktadır. İşık kaynağı olarak 50W halojen lamba ve döteryum kullanılmaktadır. İşık kaynağı ölçüyü yapılacak olan dalga boyuna göre spektrofotometre tarafından otomatik olarak seçilmektedir. Spektrofotometrenin dalga boyu hassasiyeti mor ötesi/görünür bölgede 0.2 nm yarık genişliğinde ±0.3 nm, yakın-kızılaltı bölgede ±0.4 'nm dir.

3.2.4 Floresans spektroskopisi

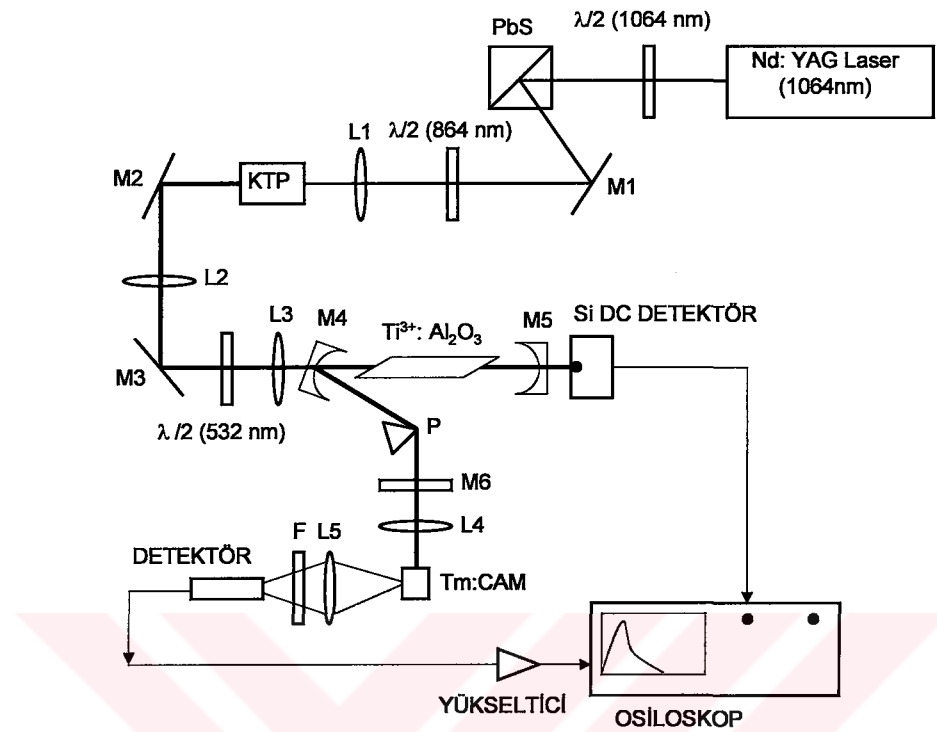
Floresans olayını incelemek için, spektrumun mor ötesi ve mavi bölgede, güçlü ışık kaynakları, ya da diyot lazerler kullanılarak malzeme pompalanır. 785 nm dalga boylu laser diyotun gücü 27 mW olarak ölçülmüştür. 785-nm dalga boyunda lazer diyot tarafından gönderilen ışınlar, bir ışın kesici (chopper) tarafından belirli bir frekansta ki ışınmalar halinde malzeme üzerine mercek (L1, $f=5$ cm) kullanılarak düşürülür. Malzeme üzerine düşen ışınmalar, tekrar malzeme tarafından bir konkav (M1, eğrilik yarıçapı=7.5 cm) ayna üzerine yansıtılırak, yarık aralığı 0.5-m Czerny-Turner tipi monokromatör (CVI, model DK 480) üzerine odaklanır. İstenmeyen gürültülerden kurtulmak için monokromatör girişinde ışınmalar filtrelenir. Monokromatördeki floresanslar PbS detektörü tarafından algılandıktan sonra, önyükseltici tarafından yükselticiye (Lock-in amplifier, StanfordresearchTM, model SR 830) gönderilir. Şekil 3.4 de floresans düzeneği görülmektedir [24]. Floresans ölçümleri oda sıcaklığında alınmıştır.



Şekil 3.4: Floresans deney düzeneği (Koç Üniversitesi Laser Araştırma Laboratuvarı).

3.2.5. Yaşam süresi spektroskopisi

Floresans yaşam süreleri ölçümleri 3F_4 ve 3H_4 seviyeleri için farklı iki adımda gerçekleştirilmiştir. Her iki deneysel düzenekte de 791 nm'de Ti:safir lazer sistemi kullanılmıştır. 3H_4 seviyesi için deneysel düzenek Şekil 3.5'de görülmektedir. 1064-nm de Q-anahtarlı Nd:YAG lazeri' nden (QuantronixTM, model 116) gönderilen ışınlar, potasyum titanil fosfat kristali (KTP) içerisinde yeşile dönüştürülen M3, M4 aynalarıyla beraber Ti:Safir lazerine odaklanır. M5 aynası 800-nm de %10 geçirgenlik özelliğine sahiptir. Lazer ışığı bir iç bükey prizma (P) tarafından mercek (L2, f=5 cm) üzerine ve örnek malzemeye gönderilir. Bu ölçümlerde, 20 mW çıkış gücünde 70 ns puls ile 200 Hz frekansında lazer ışınımı kullanıldı. Cam malzemeden alınan floresanlar InGaAs detektörü tarafından yükseltici üzerinden osiloskopa gönderilir. Ayrıca, 1470-nm deki ışımalar için 810-nm de filtre edilen 0.5-m monokromatör (PMT, Photomultilier Tipe) kullanılarak floresans ölçümleri kaydedilir [31].

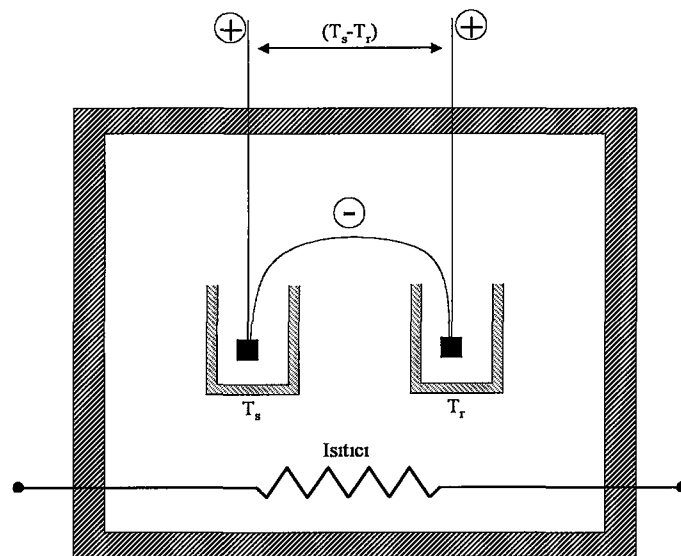


Şekil 3.5: Yaşam süresi deney düzeneği (Koç Üniversitesi Laser Araştırma Laboratuvarı).

3.3 Termal Analiz (DTA) ve Mikroyapısal Karakterizasyonu (XRD-OM-SEM) Deneyleri

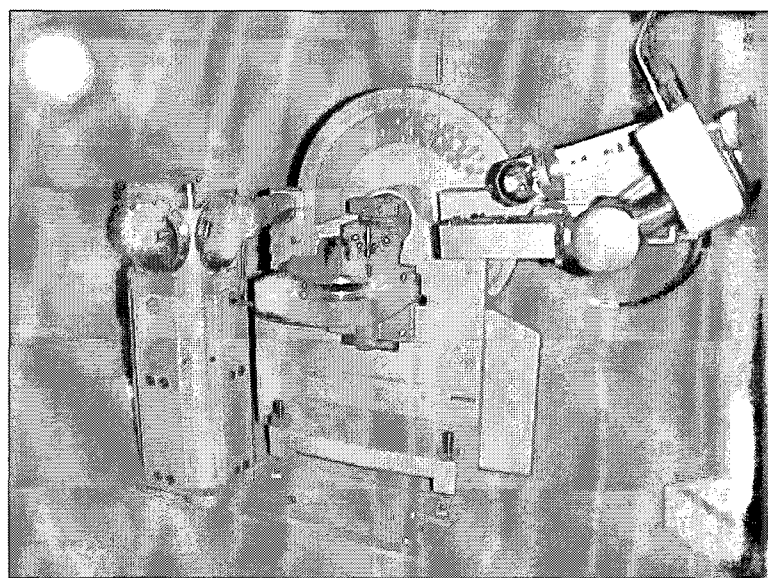
Sentezi yapılan cam malzemelerin termal özelliklerinin araştırılması için, PTC-10A sıcaklık kontrol üniteli RigakuTM ThermoFlex thermal Analyzer (DTA) cihazı kullanılarak ölçümler yapıldı. Bu ölçümlerde 20 mg cam malzeme kullanıldı. Cihaz temel olarak, malzeme tutucu, ısı kaynağı ve kontrol ünitesi, vakum haznesi ve sıcaklık algılayıcı ile yazıcıdan oluşmaktadır. DTA eğrilerinden, cam geçiş sıcaklığı, (T_g), ekzotermik kristalleme sıcaklıkları, (T_p), ve erime sıcaklıkları, (T_m) belirlenmektedir. DTA cihazı ile farklı ısıtma hızlarında ölçümler yapılmaktadır [95]. DTA sisteminin temel yapısı Şekil 3.6'de gösterilmektedir. Örnek malzemenin sıcaklığı T_s ve referans malzemesinin sıcaklığı T_r ise, ölçülen sıcaklık T_s-T_r dir. DTA analizinde örnek malzemenin sıcaklığı T_s zamanın bir fonksiyonu olarak kaydedilir ve sıcaklığı belirleyen termoçiftler birbiriyile karşılaştırıldıklarında, uygun voltaj yükseltme cihazları ile T_s ve T_r arasındaki küçük sıcaklık değişimleri

belirlenmektedir. DTA analizinde referans malzemesi olarak α -(Al₂O₃) alumina yada Kuvarz (SiO₂) maddesi kullanılmaktadır.



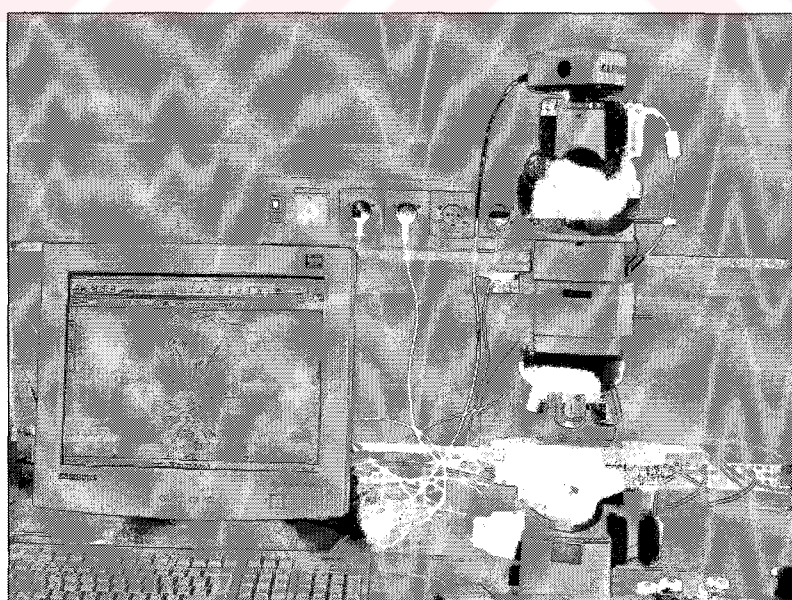
Şekil 3.6: Temel DTA sistemi [78].

X-ışınları spektroskopisi için cam malzemeler, kristallenme pik sıcaklıklarının üzerindeki sıcaklıklarda krtistallenmeye tabii tutulur ve krtistallenmiş cam malzemeler toz haline getirilir. Şekil 3.7'de XRD cihazının görüntüsü görülmektedir. X-ışınları kırınımı incelemeleri, CuK α (X-ışını tüpü $\lambda=1.5405 \text{ \AA}^0$) ışınımını 40 kV, 40 mA'de kullanan, 20° den 90° ye değişen 2θ bölgесine set edilmiş PhilipsTM Model PW3710 cihazında yapıldı. Kristal fazları, düzlemler arası mesafe, d_{hkl} , ve şiddetleri JCPDS (Joint Committee on Powder Diffraction Standards) değerleri ile tanımlanmış belirli fazlar için karşılaştırılarak tespit edilir [89-90].



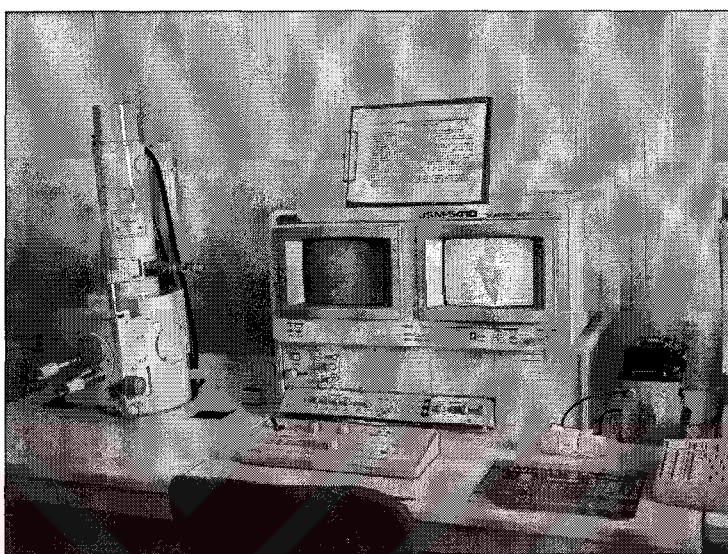
Şekil 3.7: XRD cihazının görünümü (İ.T.Ü Metalurji-Malzeme Mühendisliği Bölümü).

Sentezlenen cam malzemelerin yüzey özelliklerinin taramalı elektron mikroskopunda (SEM) incelenmesinde önce, optik mikroskop kullanılarak, farklı büyütme oranlarında, 50X, 100X, 200X, 500X ve 1000X, malzemenin yüzeyde kristalleşen fazlar hakkında bilgiler elde edildi. Yüzey fazlarının resimleri dijital kamera ile kaydedildi. Optik mikroskopa ait görüntü Şekil 3.8 de görülmektedir.



Şekil 3.8: OM cihazının görünümü (İ.T.Ü Metalurji-Malzeme Mühendisliği Bölümü).

SEM malzemeyle ilgili, mikrometre ve daha küçük seviyelerdeki boyutların incelenmesine olanak sağlayan cihazlardan biridir. Şekil 3.9 da görüldüğü gibi, SEM incelemeleri, 25kV ile çalışan ve enerji dağılım spektroskobisi (EDS) enerji ayırcı bağlantılı JOELTM Model JSM-T330 cihazı, ve kesit analizleri JEOLTM JSM 5410 SEM cihazı ile gerçekleştirildi.



Şekil 3.9: SEM cihazının görünümü (İ.T.Ü Metalurji-Malzeme Mühendisliği Bölümü).

SEM inclenecek malzemenin yüzeyine çok küçük çaplı bir elektron demeti gönderilir. Bu elektron demetinin, malzeme üzerinde istenilen bölgeye yönlendirilmesi ve üç boyutta alan taraması mümkün olmaktadır. Elektron demeti malzemeye çarptığında oluşan sinyaller, ikincil elektronlar, geri saçılan elektronlar, Auger elektronları ve karakteristik X-ışınlarıdır. Bu ışınlar malzemenin bileşimi, yüzey topografisi, kristallenmesi hakkında bilgiler vermektedir. SEM'in bazı önemli karakteristik özellikleri vardır: Bunlardan en önemlisi odak derinliğidir. Aynı zaman'da SEM için malzeme hazırlanması oldukça kolaydır. Malzemelerde aranılan başlıca koşullar vakumda bozulmamaları, temiz ve iletken olmalarıdır. Malzeme temizlemede en çok deterjan, saf su, alkol ve aseton'dan yararlanılır. Temizleme elle veya ultrasonik temizleme aygıtlarıyla yapılabilir. Temizleme işi sona erdikten sonra, malzeme saf alkol veya asetonla yıkandıktan sonra kurutulur. Katı haldeki malzemeler genellikle vakuma dayanıklıdır. SEM incelemeleri için malzemeler HF solüsyonu (%5) içinde 1 sn süre tutularak kimyasal aşındırma yapılmaktadır. Malzemenin

mikroskopta incelenişi sırasında analizi de yapılacaksa kaplamada karbon yada altın kullanılır. X-ışınları karbon tarafından önemli ölçüde soğurulmadıklarından, malzemeden X-ışınları kaplama tabakasını geçerken çok az kayıp verirler. SEM' de sağlıklı bir görüntü elde etmek için elektron demetinin malzeme yüzeyini düzgün bir şekilde taraması gereklidir.



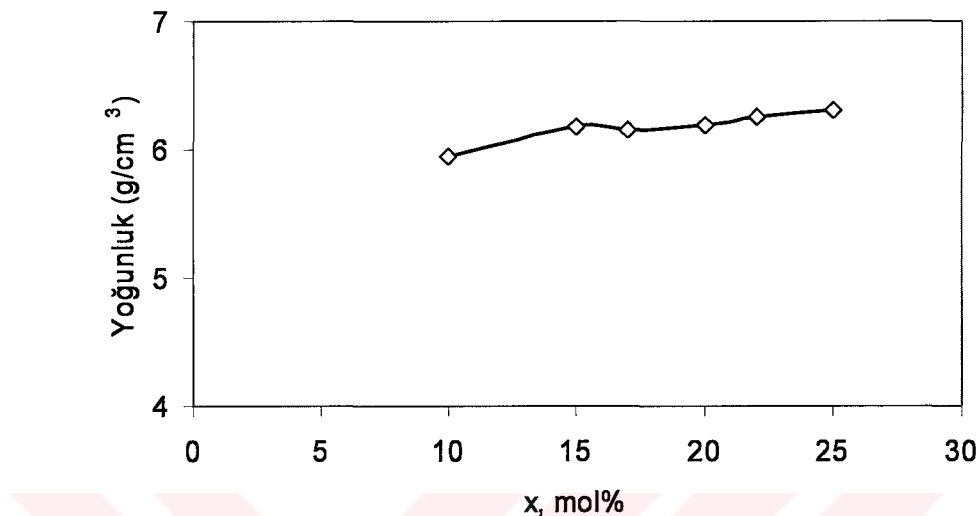
4. DENEYSEL SONUÇLAR

4.1 Yoğunluk, Termal Analiz ve Mikroyapı Karakterizasyonu Verileri

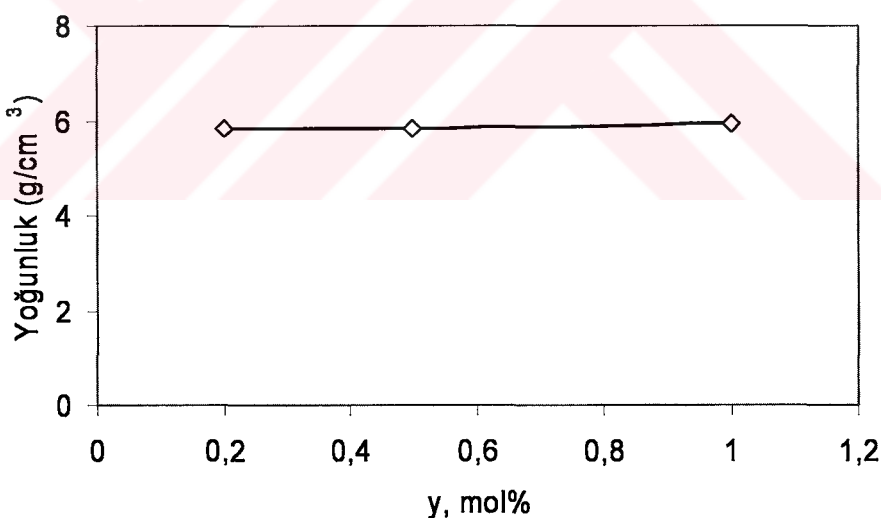
$(1-x)\text{TeO}_2-(x)\text{PbF}_2$ telürit camlarının $x=0.05, 0.10, 0.15, 0.17, 0.20, 0.22, 0.25$ ve 50 mol oranlarında kompozisyon'a bağlı olarak analizi, DTA, XRD, OM ve SEM teknikleri kullanılarak gerçekleştirildi. Birinci aşamada, Tm^{3+} iyonu ile katkılanmamış durumda, $x=0.05, 0.10, 0.15, 0.25$ ve 0.50 mol için; ikinci aşamada, PbF_2 kompozisyonunun cam malzemedeği tulyum iyonunun ıshima olasılıklarına etkisinin araştırılması için, $\%1.0$ mol Tm^{3+} iyonu katkılı, $x=0.10, 0.15, 0.17, 0.20, 0.22$ ve 0.25 mol PbF_2 için cam malzemeler sentezlenmiştir. Benzer şekilde, farklı oranlardaki tulyum iyonu halinde ıshima olasılıklarının nasıl etkilendiğinin bilinmesi amacıyla, $x=0.10$ mol sabit kompozisyonun da, tulyum konsantrasyonu, $y=\%0.2, 0.5$ ve 1.0 mol için cam malzemelerin sentezi gerçekleştirildi. Üçüncü aşamada katkılanmamış telürit camlarının kinetik ve mikroyapısının araştırılması amacıyla, $x=0.10, 0.15$ ve 0.25 mol PbF_2 için cam malzemelerin DTA ile, farklı ıshitma hızlarında ve mikroyapısal özellikleri araştırıldı. $\%1.0$ mol Tm^{3+} katkılı, $x=0.10, 0.15, 0.20$ ve 0.25 mol için cam malzemelerin $10^\circ\text{C}/\text{dak}$ ıshitma hızında, tulyum iyonunun termal sonuçlar üzerindeki etkisi araştırıldı. Malzemelerin sentezinde TeO_2 (99.999% saflikta, AldrichTM Chemical Company), PbF_2 ($99+\%$ saflikta, AldrichTM Chemical Company) ve Tm_2O_3 (99.9% saflikta, SigmaTM Chemical Company) toz haldeki kimyasallar kullanılmıştır. Bu kimyasalların 7 g oranında iyice karıştırılmışından sonra, Platin kroze içinde zaman ayarlı elektrik kontrollü fırın da 800°C de eritildi. 800°C de eriyen bu karışım oda sıcaklığında iki grafit kalıp arasında hızlıca soğutularak cam malzemeler elde edildi. Elde edilen cam malzemeler 250°C de 30 dakika süreyle tavlandı ve gerekli yüzey analizleri için SiC , Seryum oksit (CeO_2) ve Alumina toz kullanılarak parlatıldı.

Elde edilen cam malzemelerin kırılma indisinin ölçülmesi için Ym:YVO_4 lazeri kullanıldı ve Brewster yaklaşımından cam mazlemenin kırılma indis 2.057 olarak bulundu. Aynı zamanda cam malzemelerin yoğunluk ölçümleri, Arşimet kanunu kullanılarak, kimyasal bileşene ve konsantrasyona Tablo 4.1'de ve Şekil 4.1, Şekil

4.2'de gösterilmektedir. Camların yoğunlukları, kimyasal bileşim miktarına bağlı olarak artış gösterirken, konsantrasyona göre pek fazla bir değişim göstermemektedir.



Şekil 4.1: Kompozisyon'a bağlı yoğunluk değişimi.



Şekil 4.2: Konsantrasyona bağlı yoğunluk değişimi [24].

Tablo 4.1: Cam malzemelerin kalınlıkları ve yoğunlukları [31].

Camın Kimyasal Bileşimi (%mol)			Kalınlık (mm)	Yoğunluk (g/cm ³)
TeO ₂	PbF ₂	Tm ₂ O ₃		
90	10	1.0	1.53	5.95
85	15	1.0	1.03	6.17
83	17	1.0	0.71	6.15
80	20	1.0	0.55	6.19
78	22	1.0	0.82	6.26
75	25	1.0	0.8	6.31
90	10	0.2	1.05	5.86
90	10	0.5	1.65	5.86

Sentezi gerçekleştirilen cam malzemeler den 20 mg oranında alınarak DTA analizi, Rigaku™ Thermoflex -PTC-10A sıcaklık kontrol ünitesi cihazda gerçekleştirildi. DTA analizi sonucunda cam geçiş sıcaklığı (T_g), kristallenme (T_p) ve erime sıcaklıkları (T_m) tespit edildi. Sentezlenen telürit camlarının yüzey morfolojisi optik mikroskop (OM), mikroyapısal karakterizasyonu taramalı elektron mikroskopu (SEM) ve X-ışını kırınımı (XRD) yöntemleri kullanılarak ölçümeler elde edildi. OM ve SEM'de analizi yapabilmek için cam malzemeler, DTA sonuçlarındaki ekzotermik pik sıcaklıklarına göre tavlanmaya tabii tutuldu. Tavlanan cam malzemeler 1 sn süresince %5 HF solüsyonundan geçirildi. Taramalı elektron mikroskopu (SEM) için, 25 kV, JEOL™ Model JSM-T330 ile Zmax 30 Boron-EDS detektör kontrollü cihaz kullanılarak sentezler gerçekleştirildi. SEM için cam malzemelerin yüzeyi karbon ile kaplandı. Cam malzemelerin toz haline getirilmesinden sonra, X-ışınları kırınımı analizi Philips™ Model PW3710 -CuK α ışınmalı cihazda 10° ile 90° arasında 20 açısında ölçümeler alındı.

DTA yöntemi ile katkılanmamış 0.90TeO₂-0.10PbF₂, 0.85TeO₂-0.15PbF₂, 0.75TeO₂-0.25PbF₂ camlarının yanısıra, %1.0 mol Tm³⁺ katkılı 0.90TeO₂-0.10PbF₂, 0.85TeO₂-0.15PbF₂, 0.80TeO₂-0.20PbF₂, 0.75TeO₂-0.25PbF₂ camlarının DTA analizi 10°C/dak ısıtma hızlarında, katkılanmamış camlar için 5, 10, 15 ve 20°C/dak ısıtma hızında, ölçümeler alınmıştır. DTA analizi sonucunda kompozisyonun ısıtma hızı artırıldıkça kristallenme piklerinin genişlediği farkedilmiştir.

DTA analizi sonucu sentezenlenen katkılanmamış cam malzemelerle ilgili olarak detaylı bilgiler Tablo 4.1, 4.2, 4.3 ve Tablo 4.4 de verilmektedir. Tm^{3+} katkılı cam malzemelerle ilgili kinetik parametrelerin değişimi Tablo 4.5 ve 4.6 da görülmektedir.

Tablo 4.2: (1-x)TeO₂-xPbF₂ camlardan 5°C/ dk. ıstıma hızında elde edilen DTA eğrilerindeki cam-geçiş, T_g , kristallenbme, T_{p1} ve T_{p2} , ve ergime sıcaklıklarları, T_m .

Cam Kompozisyonu (mol)		T_g (°C)	T_{p1} (°C)	T_{p2} (°C)	T_m (°C)
TeO ₂	PbF ₂				
0.90	0.10	299	347	-	508
0.85	0.15	289	339	385	520
0.75	0.25	267	312	-	512

Tablo 4.3: (1-x)TeO₂-xPbF₂ camlardan 10°C/ dk. ıstıma hızında elde edilen DTA eğrilerindeki cam-geçiş, T_g , kristallenbme, T_{p1} ve T_{p2} , ve ergime sıcaklıklarları, T_m .

Cam kompozisyonu (mol)		T_g (°C)	T_{p1} (°C)	T_{p2} (°C)	T_m (°C)
TeO ₂	PbF ₂				
0.90	0.10	303	350	-	523
0.85	0.15	293	343	394	523
0.75	0.25	275	324	-	507

Tablo 4.4: (1-x)TeO₂-xPbF₂ camlardan 15°C/ dk. ıstıma hızında elde edilen DTA eğrilerindeki cam-geçiş, T_g , kristallenbme, T_{p1} ve T_{p2} , ve ergime sıcaklıklarları, T_m .

Cam kompozisyonu (mol)		T_g (°C)	T_{p1} (°C)	T_{p2} (°C)	T_m (°C)
TeO ₂	PbF ₂				
0.90	0.10	303	353	-	523
0.85	0.15	294	345	400	522
0.75	0.25	276	325	-	515

Tablo 4.5: (1-x)TeO₂-xPbF₂ camlardan 20°C/ dk. ısıtma hızında elde edilen DTA eğrilerindeki cam-geçiş, T_g, kristallenbme, T_{p1} ve T_{p2}, ve ergime sıcaklıklarları, T_m.

Cam kompozisyonu (mol)		T _g (°C)	T _{p1} (°C)	T _{p2} (°C)	T _{m1} (°C)
TeO ₂	PbF ₂				
0.90	0.10	307	363	-	525
0.85	0.15	295	346	401	521
0.75	0.25	275	325	-	506

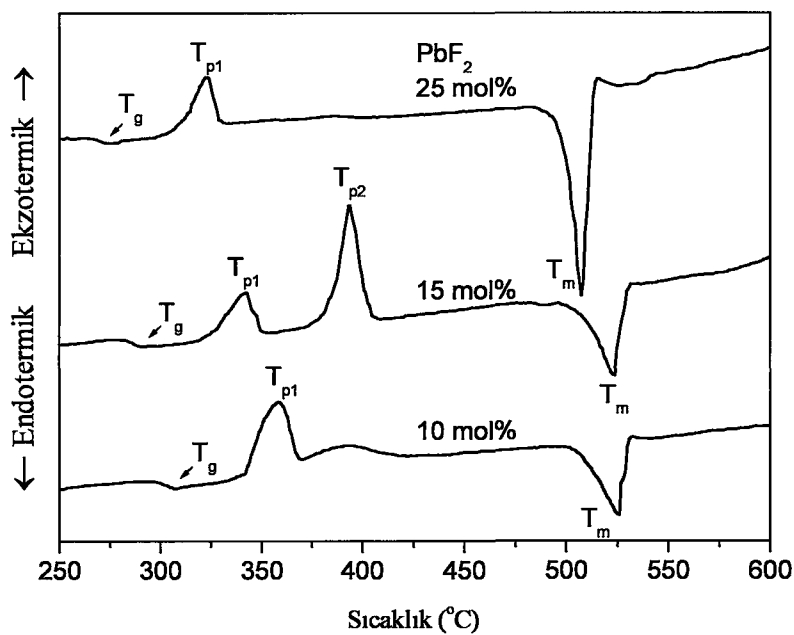
Tablo 4.6: %1.0 mol Tm₂O₃ içeren (1-x)TeO₂-xPbF₂ camlardan, 10°C/ dk. ısıtma hızında elde edilen DTA eğrilerindeki cam-geçiş, T_g, kristallenbme, T_{p1} ve T_{p2}, ve ergime sıcaklıklarları, T_m.

Cam kompozisyonu (mol)		T _g (°C)	T _{p1} (°C)	T _{p2} (°C)	T _{m1} (°C)	T _{m2} (°C)
TeO ₂	PbF ₂	Tm ₂ O ₃				
0.90	0.10	0.01	310	363	431	483
0.85	0.15	0.01	301	344	446	525
0.80	0.20	0.01	297	337	422	497
0.75	0.25	0.01	289	336	-	515

Tablo 4.7: %1.0, 0.2 ve 0.5 mol Tm₂O₃ içeren (1-x)TeO₂-xPbF₂ camlardan 10°C/ dk. ısıtma hızında elde edilen DTA eğrilerindeki cam-geçiş, T_g, kristallenbme, T_{p1} ve T_{p2}, ve ergime sıcaklıklarları, T_m.

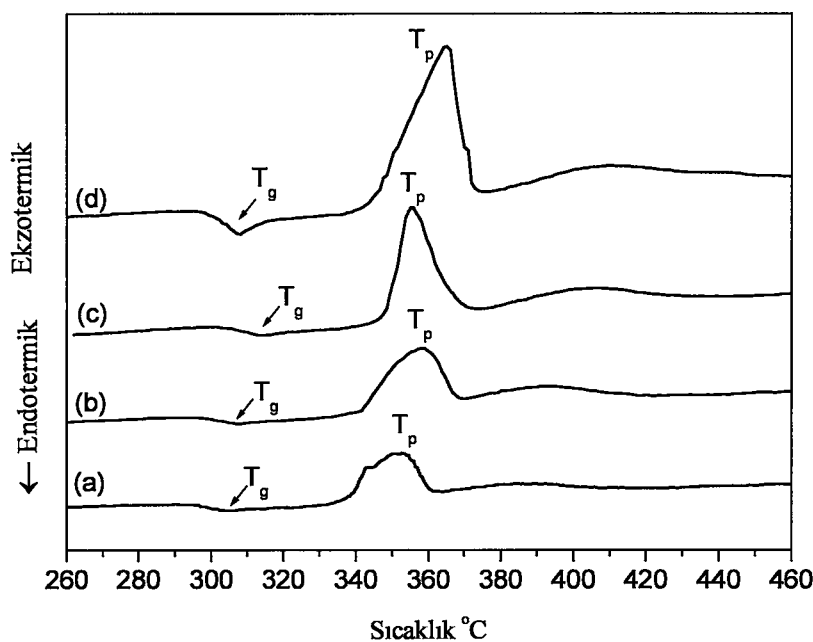
Cam kompozisyonu (mol)		T _g (°C)	T _{p1} (°C)	T _{p2} (°C)	T _{m1} (°C)	T _{m2} (°C)
TeO ₂	PbF ₂	Tm ₂ O ₃				
0.90	0.10	0.002	302	353	-	526
0.90	0.10	0.005	306	355	383	524
0.90	0.10	0.01	310	363	431	483

Tablo 4.3, 4.4, 4.5 ve 4.6 dan görüldüğü gibi, PbF₂ miktarı arttıkça malzmemenin DTA sonuçlarına göre, T_g, T_{p1} ve T_{p2} ve T_m sıcaklıklarlarında düşme görülürken, aynı şekilde farklı ısıtma hızları için alınan DTA verilerinde, cam geçisi, kristallenme ve erime sıcaklıklarının değerlerinde büyümeye görülmektedir.

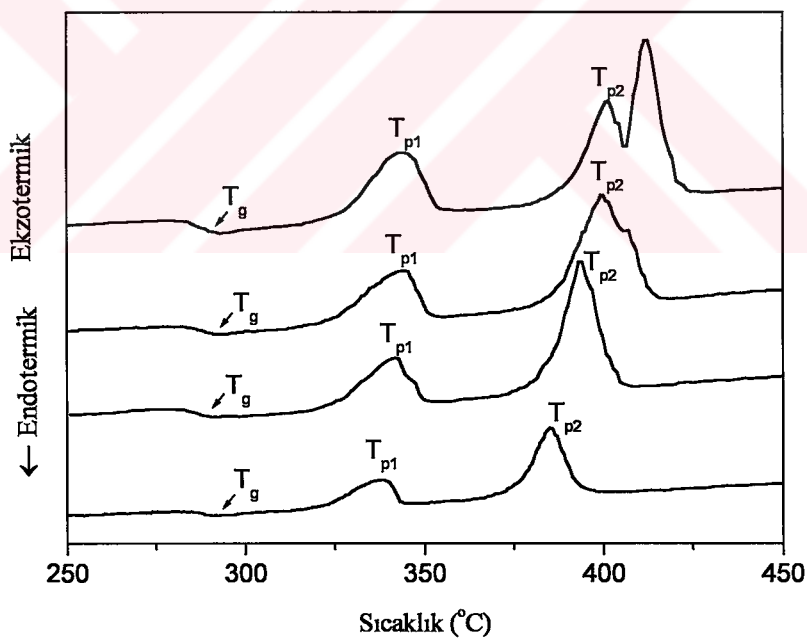


Şekil 4.3: 10°C/dak ısıtma hızında alınan, $0.90\text{TeO}_2-0.10\text{PbF}_2$, $0.85\text{TeO}_2-0.15\text{PbF}_2$, $0.75\text{TeO}_2-0.25\text{PbF}_2$ için DTA grafiği [95].

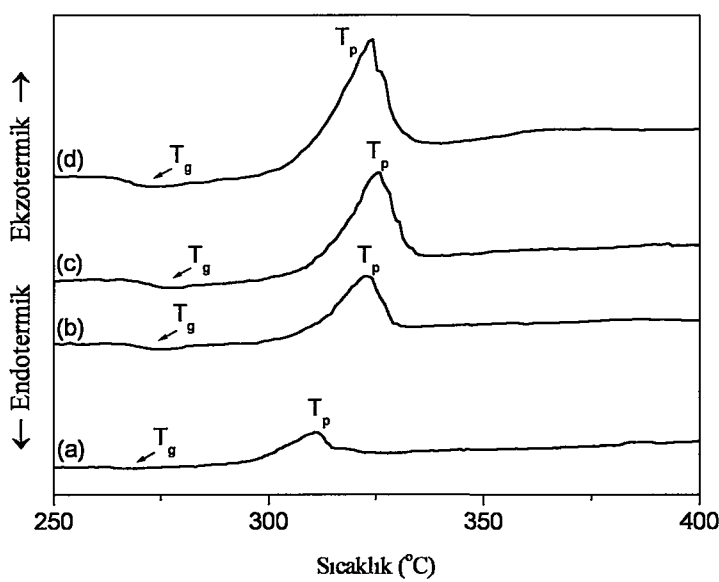
Şekil 4.3 den görüldüğü gibi, sentezlenen camların PbF_2 artırıldıkça kristallenme piklerin de azalma gözlenmektedir. Aynı şekilde kompozisyon miktarı erime sıcaklığının da azalmasında etkisinin olduğu görülmektedir. Farklı kompozisyon oranlarına bağlı, 10°C/dak . ısıtma hızında alınan DTA sonuçları Şekil 4.3 de gösterilmiştir. Şekil 4.3 de 0.10 mol PbF_2 için elde edilen DTA sonuçlarına göre, malzemenin 303°C de cam geçisi, 350°C de kristallenme ve 523°C de ise erime sıcaklıkları görülmektedir. Artan PbF_2 miktarına bağlı olarak cam geçisi, T_g , kristallenme, T_p , ve erime sıcaklıkları, T_m azalma göstermektedir. Aynı zamanda 0.15 mol PbF_2 cam malzemesinin iki adet kristallenme tepelerine sahip olduğu görülmektedir. Cam malzemelerin farklı ısıtma hızlarında kritik sıcaklıkların nasıl değişim gösterdiği 0.10 mol PbF_2 katkılı malzeme için Şekil 4.4, 0.15 mol PbF_2 için Şekil 4.5 ve 0.25 mol PbF_2 için ise Şekil 4.6'da ısisal değişimler görülmektedir.



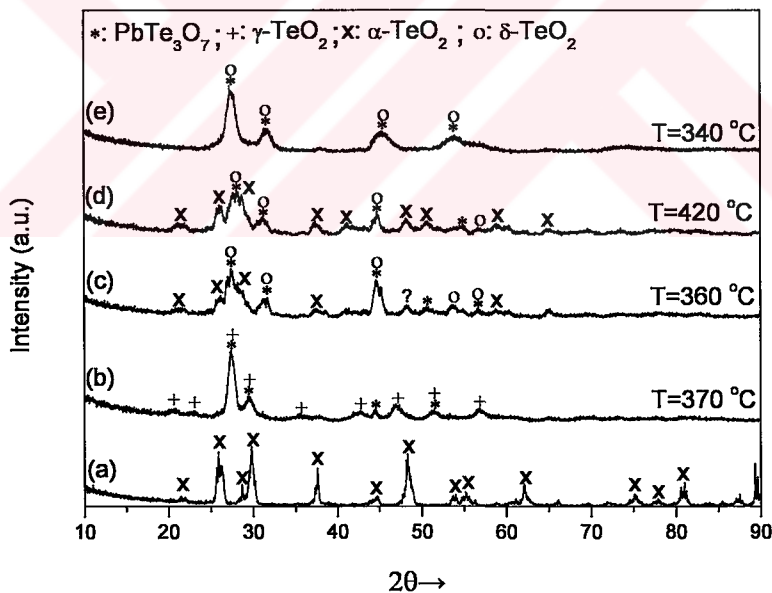
Şekil 4.4: 5, 10, 15 ve 20°C/dak ısıtma hızında alınan, 0.90TeO₂-0.10PbF₂ için DTA grafiği.



Şekil 4.5: 0.85TeO₂-0.15PbF₂ cam malzemeye ait, 5, 10, 15 ve 20°C/dak ısıtma hızında 1. ve 2. pik değerleri için alınan DTA grafiği.



Şekil 4.6: 0.75TeO₂-0.25PbF₂ malzemesine ait, 5,10, 15 ve 20°C/dak ısıtma hızında alınan DTA grafiği.



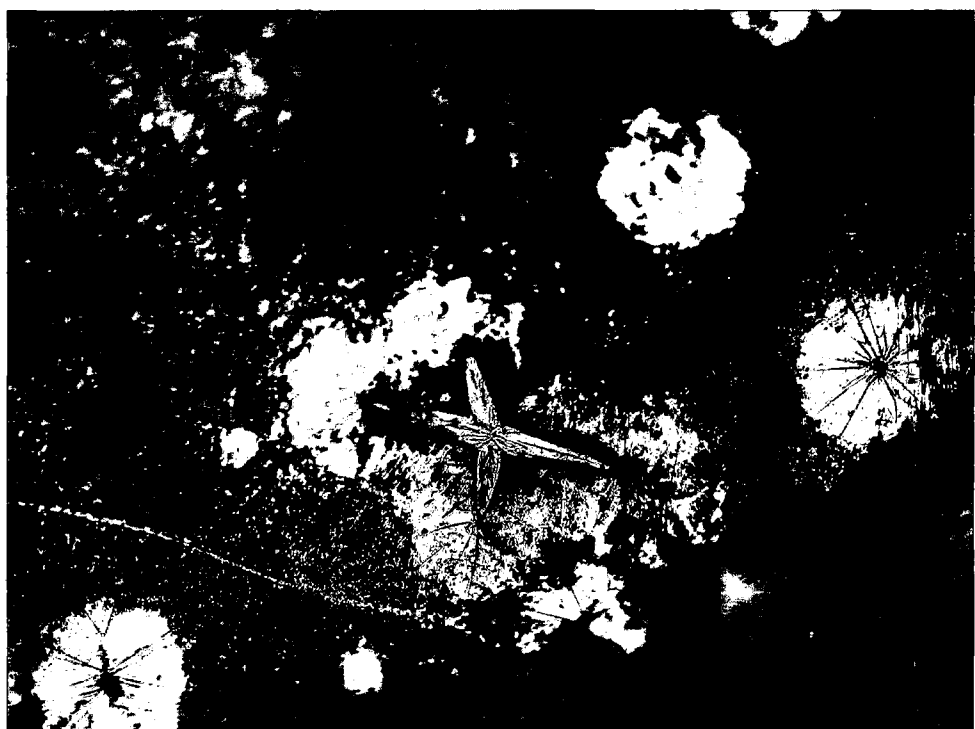
Şekil 4.7: (1-x)TeO₂-xPbF₂, (a) x=0.0, (b) 0.10, (c) 0.15, birinci kristalizasyon tepesi, (d) x=0.15 mol, ikinci kristalizasyon tepesi, (e) x=0.25 mol cam malzemesinin XRD grafiği [101].

XRD analizleri için cam malzemeler DTA sonuçlarındaki T_{p1} ve T_{p2} sıcaklıklarının (ekzotermik piklerin) ötesindeki sıcaklıklar olan 360 ve 420°C sıcaklıklarında kristallendirildi ve toz haline getirildi. DTA eğrilerinden ortaya çıkan çeşitli sıcaklıklara kadar ısırılıp aniden soğutulan 0.90TeO₂-0.10PbF₂ cam örneği için XRD

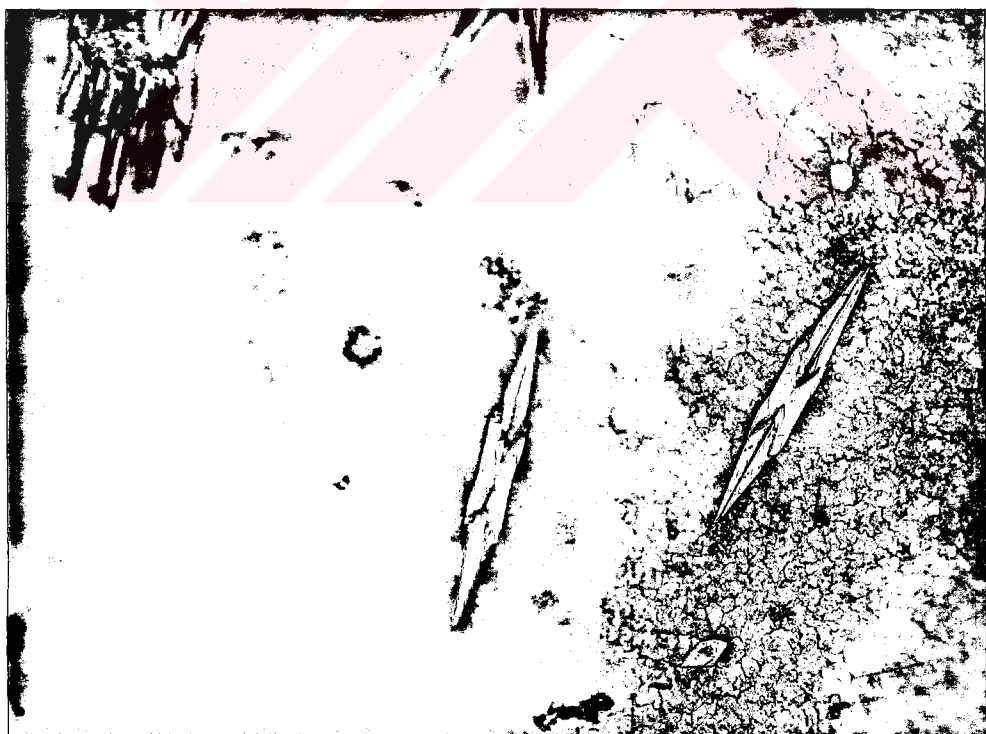
sonucu Şekil 4.7'de gösterilmektedir. Elde edilen XRD sonuçları uluslararası JCPDS Ek-2, (Joint Committee on Powder Diffraction Standards) kataloglarındaki kırınım değerleriyle karşılaştırılarak kristal fazları tespit edildi. Şekil 4.7'de gösterilen XRD grafiğinden TeO_2 kristalinin farklı faz yapılarının olduğu görülmektedir. $x=0\%$ mol oranındaki PbF_2 için, yani saf TeO_2 için alınan XRD analizide sadece $\alpha\text{-TeO}_2$ fazı görülmektedir. Cam malzemenin kompozisyonu ve sıcaklıklarını artırıldıkça kristal faz yapısı, PbTe_3O fazı ile birlikte $\gamma\text{-TeO}_2$ kararsız fazlarına dönüşüm yapmaktadır. 0.15 mol PbF_2 malzemesinin sıcaklığını yükselttiğimizde, kristal faz yapısı içinde $\delta\text{-TeO}_2$ fazı da görülmeye başlanmaktadır. Malzemedeki PbF_2 miktarı artık oranını 0.25 mol olarak arttırdığımızda, ve 420°C sıcaklığında tavlama yaptığımızda kristal faz yapısı PbTe_3O ve $\delta\text{-TeO}_2$ fazlarında kararlı olduğu görülmektedir. Buradan anlaşılıyor ki, kompozisyonun miktarı ve sıcaklık değiştirildikçe, malzemenin yapısındaki kristal fazları kararlı yapıdan kararsız yapıya doğru kaymaktadır.



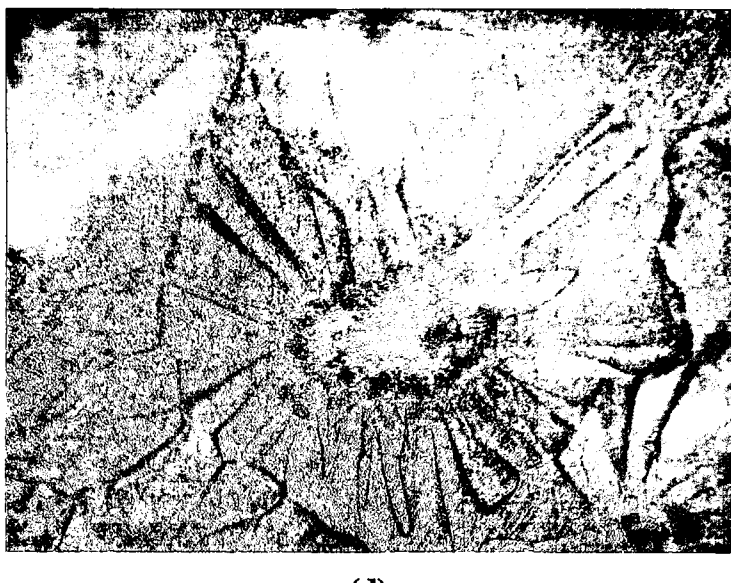
(a)



(b)



(c)

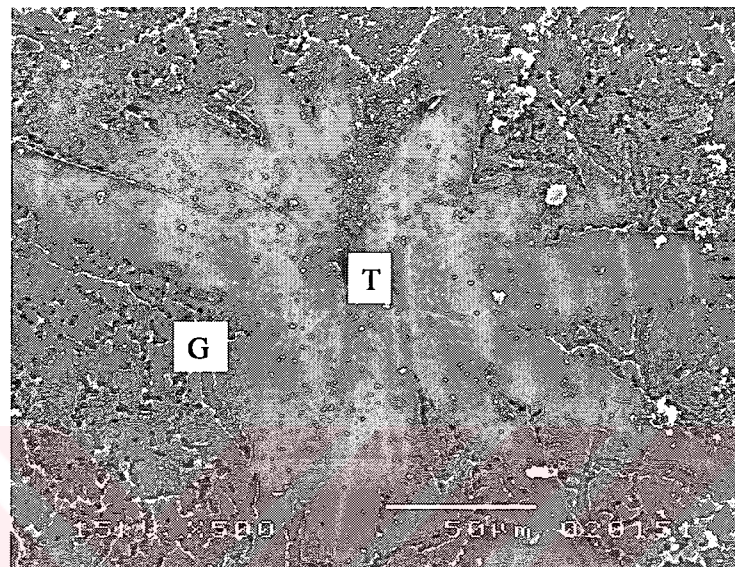


(d)

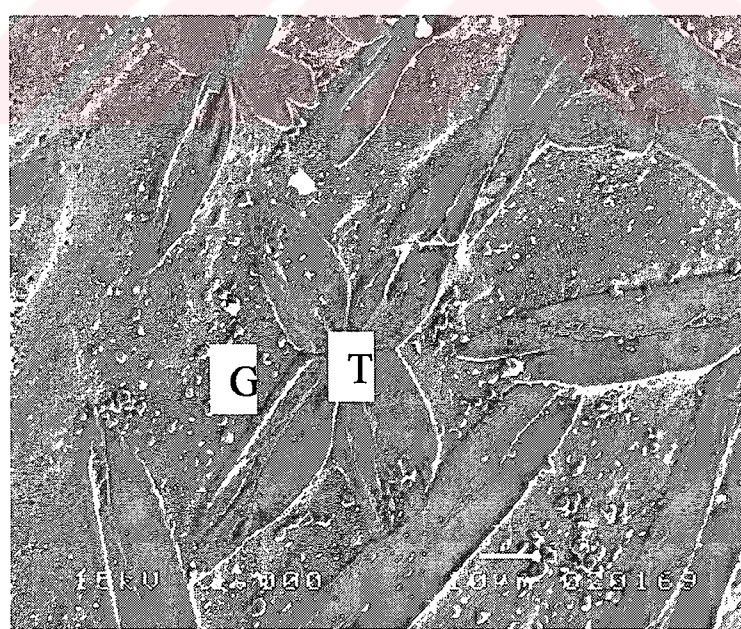
Şekil 4.8: (a) $0.90\text{TeO}_2\text{-}0.10\text{PbF}_2$ için $10\text{ }^{\circ}\text{C/dak}$ 'da $370\text{ }^{\circ}\text{C}$ ye; (b) $0.85\text{TeO}_2\text{-}0.15\text{PbF}_2$ birinci ekzotermik krsitallenme tepesi için $10\text{ }^{\circ}\text{C/dak}$ 'da $360\text{ }^{\circ}\text{C}$ ye; (c) $0.85\text{TeO}_2\text{-}0.15\text{PbF}_2$ ikinci ekzotermik krsitallenme tepesi için $10\text{ }^{\circ}\text{C/dak}$ 'da $420\text{ }^{\circ}\text{C}$ ye; (d) $0.75\text{TeO}_2\text{-}0.25\text{PbF}_2$ için $10\text{ }^{\circ}\text{C/dak}$ 'da $340\text{ }^{\circ}\text{C}$ ye kristallendirilen malzemelerin optik mikroskop (200X) analizi.

Sentezi gerçekleştirilen cam malzemelerin taramalı elektron mikroskopundaki analizlerinin daha kolay olabilmesi için, malzemeler DTA eğrilerindeki kristalizasyon tepelerine göre tekrardan 30 dakika sürelerde kristallenmeye tabii tutuldu. Kristalleşen cam malzemeler 1 sn süreyle %5 oranındaki HF solusyonundan geçirilerek Optik mikroskop analizi almaya hazır hale getirildi. 0.10 mol PbF_2 katkılı cam malzemenin OM resmi Şekil 4.8 (a)'de görülmektedir. OM sonuçlarına bakıldığından kristal fazlarının çiçeksi-bögürtlenimsi bir yapıda kendisini gösterdiği anlaşılmaktadır. 0.15 mol PbF_2 malzemesi DTAdatalarındaki birinci ekzotermik kristallanme tepesine göre $360\text{ }^{\circ}\text{C}$ de kristallenmeye tabii tutulduğunda, Şekil 4.8(b)'de görüldüğü gibi 0.10 mol PbF_2 malzemesinin faz yapısına göre, yeni bir krsital fazı ortaya çıkmaktadır. 0.15 mol PbF_2 malzemesinin DTA'nın ikinci kristallenme tepesine göre $420\text{ }^{\circ}\text{C}$ de ıslı işleme tabii tutuluktan sonraki faz değişimi ise Şekil 4.8 (c)'de görülmektedir. 0.25 mol PbF_2 cam malzemesi $340\text{ }^{\circ}\text{C}$ de ıslı işleme tabii tutuluktan sonraki faz değişimi ise Şekil 4.8(d)'de görülmektedir. Yapılan ıslı işlemler sonucunda, XRD sonuçları da göz önüne alınırsa, OM analizleri bizlere, 0.10 mol PbF_2 kompozisyonu için düşük sıcaklıktaki bir faz yapısının, hem kompozisyonu 0.25 mol değerine artırmakla hemde sıcaklığı $420\text{ }^{\circ}\text{C}$ ye çıkarmakla yeni bir faz yapısının ortaya çıktığını belirtmektedir. Sıcaklık tekrar $420\text{ }^{\circ}\text{C}$ den

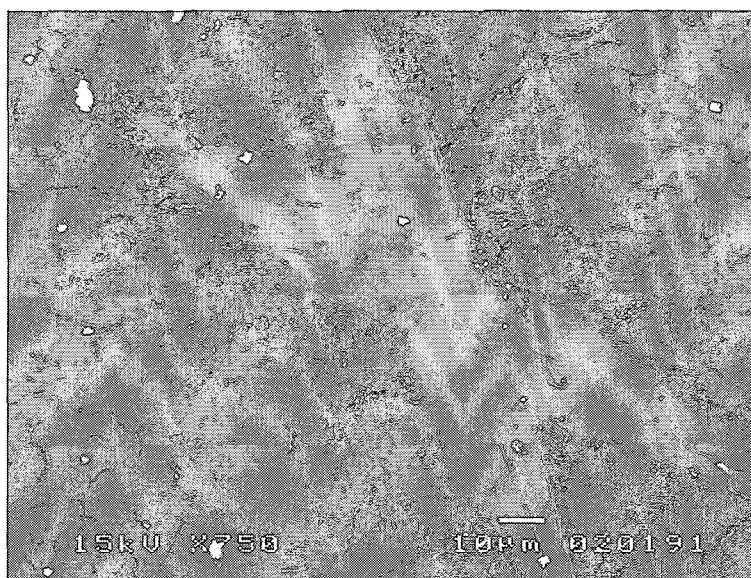
340°C ye düşürülerek alınan OM sonuçları ise bu faz değişimlerinin sıcaklığa bağlı olduğunu göstermektedir. Kashchieva ve ark. [97] tarafından yapılan $95\text{TeO}_2\text{-}5\text{B}_2\text{O}_3$ cam malzemesi için TeO_2 kristallerinin Şekil 4.8(d) görülen yapıya benzer olarak, böğürtlenimsi- kürecikler (blackberry) halinde faz olarak kendini göstermektedir.



(a)



(b)

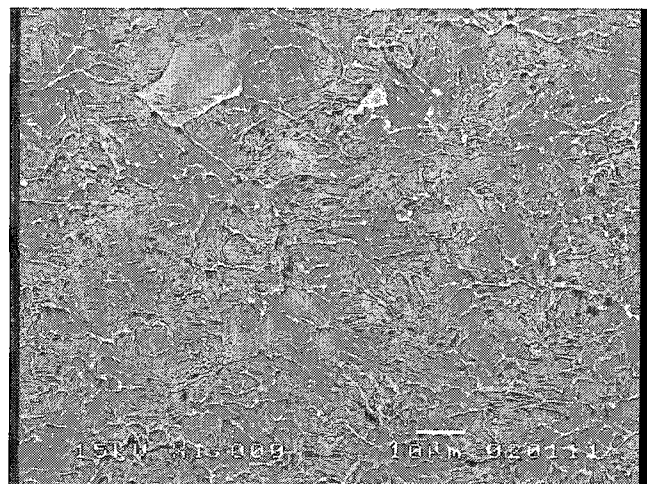


(c)

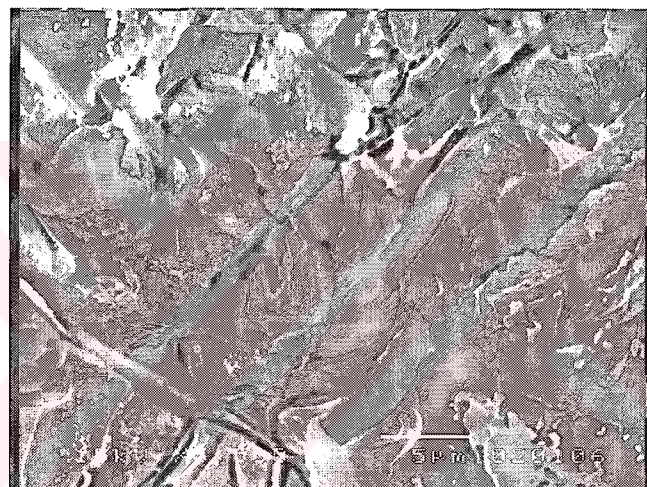
Şekil 4.9: (a) 0.90TeO₂-0.10PbF₂ malzemesinin 10°C/dak da 370°C de ısıl işleme tutulmasıyla ilgili; (b) 0.85TeO₂-0.15PbF₂ malzemesinin DTA sonuçlarına göre birinci ekzotermik kristallenme pikine göre 360°C deki; (c) 0.85TeO₂-0.15PbF₂ malzemesinin DTA sonuçlarına göre ikinci ekzotermik pikine göre 420°C deki SEM analizi.

Şekil 4.9(a) da 0.10 mol PbF₂ katkılı cam malzemenin SEM analizinden elde edilen faz bölgeleri için yapıdaki elementlerin dağılımı; T bölgesi için; %89.60 mol Te, 1.58 mol O, 5.91 mol Pb ve 2.91 mol F; ve G bölgesi için; %37.91 mol Te, 15.69 mol O, 30.68 mol Pb, and 15.73 mol F EDS analizinde elde edilmiştir. 0.15 mol PbF₂ katkılı cam örneğinin SEM analizi, XRD sonuçlarıyla karşılaştırıldığında Şekil 4.9 (b) de; G bölgesi için: %6.29 mol Te, 57.90 mol Pb, 22.31 mol O, 13.50 mol F ve diğer bölge için; T: %88.39 mol Te, %4.50 mol Pb, %17.09 mol O, %0.02 mol F oranlarında kristal yapısı tespit edilmektedir. Şekil 4.9 (c)'de 0.15 mol malzemenin ikinci ekzotermik kristallenme tepesi için 420°C de yüzeyinden alınan SEM analizi görülmektedir.

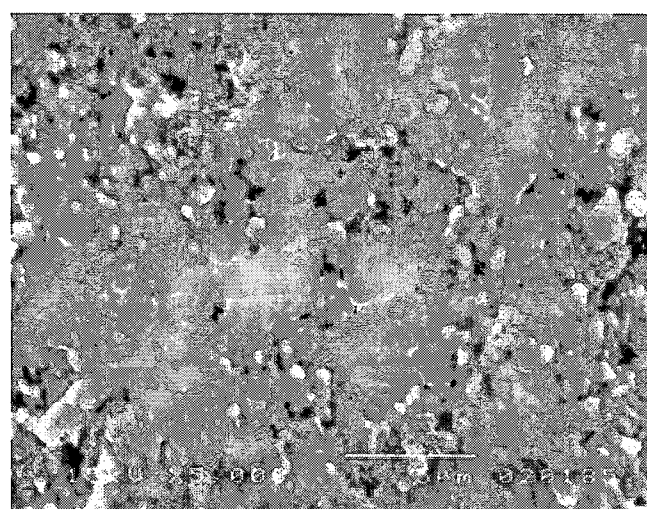
0.10, 0.15 ve 0.25 mol PbF₂ cam malzemelerinin DTA eğrilerindeki ekzotermik tepkimenin pik sonu sıcaklığı göz önüne alınarak tavlanan makzemelerin kesitlerinin SEM görüntüleri Şekil 4.10 (a), (b), (c) ve (d)'de görülmektedir. Ozawa parametreleri değerlerine göre, malzemelerin kesitlerinden alınan SEM sonuçları yüzey kristallenmelerinin olmasını desteklemektedir.



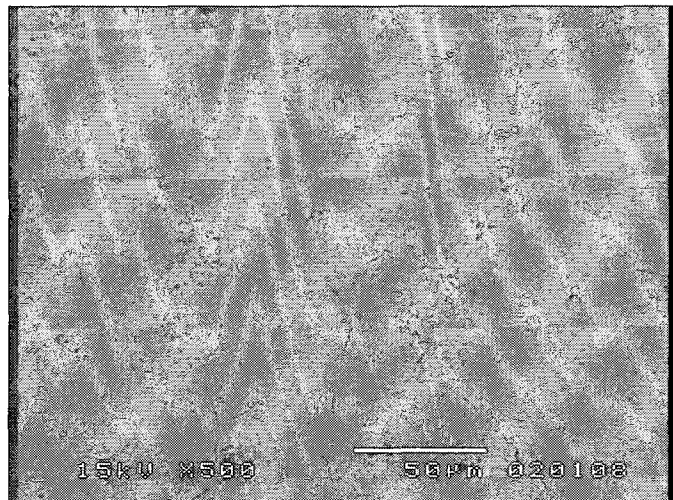
(a)



(b)



(c)



(d)

Şekil 4.10: (a) 0.90TeO₂-0.10PbF₂ malzemesinin 10°C/dak da 370°C de ısil işleme tutulmasıyla ilgili; (b) 0.85TeO₂-0.15PbF₂ malzemesinin DTA sonuçlarına göre birinci ekzotermik kristallenme pikine göre 360°C deki; (c) 0.85TeO₂-0.15PbF₂ malzemesinin DTA sonuçlarına göre ikinci ekzotermik pikine göre 420°C deki; (d) 0.75TeO₂-0.25PbF₂ malzemesinin DTA sonuçlarına göre birinci ekzotermik kristallenme pikine göre 340°C deki kesitten alınan SEM analizi.

4.1.1 Aktivasyon Enerjisinin Hesaplanması

Cam malzemelerin kristalizasyon mekanizmalarında DTA grafiklerinden kristallenme pikleri kullanılarak kristallenme aktivasyon enerjisini ve çekirdeklenme sayısı ile kristal büyümeye boyutunu hesaplamak mümkündür. Şekil 4.4, 0.90TeO₂-0.10PbF₂ cam malzemesinin DTA tekniğiyle 5, 10, 15 ve 20°C/ dak. ısıtma hızıyla elde edilen entalpi değişimini göstermektedir. Farklı ısıtma hızları için cam geçiş (T_g) ve kristallenme tepe sıcaklıkları (T_p) Tablo 4.8'de bulunmaktadır. Isıtma hızları artırıldıkça cam geçiş ve kristallenme sıcaklıklarında artış göstermektedir.

Aktivasyon enerjisinin hesaplanması Matusita-Sakka tarafından belirlenen modifiye-Kissinger yaklaşımı kullanılır. Modifiye-Kissinger yaklaşımı denk.66 ile verilmektedir [65].

$$\ln\left(\phi^n / T_p^2\right) = -\left(mE_c / RT_p\right) + C \quad (66)$$

Aynı zamanda n Avrami sabiti olup malzemedeki sıcaklık değişimi esnasında oluşan çekirdeklenmeyi, m ise kristallenmenin boyutunu temsil etmektedir. Yüzey kristallenmesi durumunda $n=m=1$ olmaktadır. $n=m=1$ durumunda denk.64 Kissinger yaklaşımı olarak bilinmekte ve denk.67 ile ifade edilir [66]:

$$\ln\left(\phi / T_p^2\right) = -\left(E_c / RT_p\right) + C \quad (67)$$

Avrami sabiti n nin hesaplanması Ozawa yaklaşımıyle bulunmaktadır. Ozawa yaklaşımı denk.68 ile verilmektedir [97-98].

$$\frac{d\{\ln[-\ln(1-x)]\}}{d\ln(\phi)} = -n \quad (68)$$

Ozawa denkleminden elde edilen Avrami sabiti $n=1$ ise bir boyutlu kristal büyümesi, $n=2$ iki boyutlu kristal büyümesi ve $n=3$ üç boyutlu kristal büyümeye karşılık gelmektedir. Denk.68 den $\ln[-\ln(1-x)]$ nin $\ln(\phi)$ ye göre grafiğinden Avrami sabiti n hesaplanır. Bulunan n değeri modifiye Kissinger denkleminde yerine yazılarak, $\ln\left(\phi^n / T_p^2\right)$ nin $1/T_p$ ye grafiğinden E_c aktivasyon enerjisi hesaplanır. Aktivasyon enerjisinin hesaplanmasında R gaz sabiti 8.31 Joule/K-mol alınır. Şekil 4.11 da Ozawa yaklaşımının 0.90TeO₂-0.10PbF₂ örneği için Avrami sabitinin hesaplanması göstermektedir.

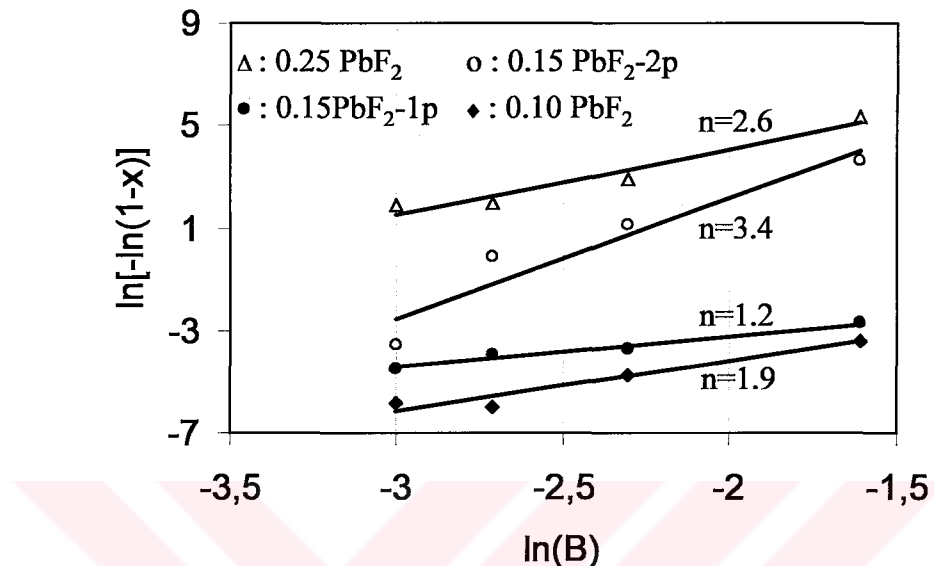
Tablo 4.8: 0.90TeO₂-0.10PbF₂, 0.85TeO₂-0.15PbF₂, 0.75TeO₂-0.25PbF₂ cam malzemelerinin farklı ısıtma hızlarında elde edilen cam geçisi, T_g, kristallenme tepe T_{p1}, T_{p2} sıcaklıklarları değerleri.

x=0.1 mol,	1. pik	x=0.15 mol	1.pik	2. pik	x=0.25 mol,1. pik
B					
(°C/dk)	T _g (°C)	T _p (°C)	T _g (°C)	T _p (°C)	T _g (°C)
5	299	347	289	339	267
10	302	350	293	344	275
15	303	353	294	360	276
20	307	363	295	346	275
					T _p (°C)

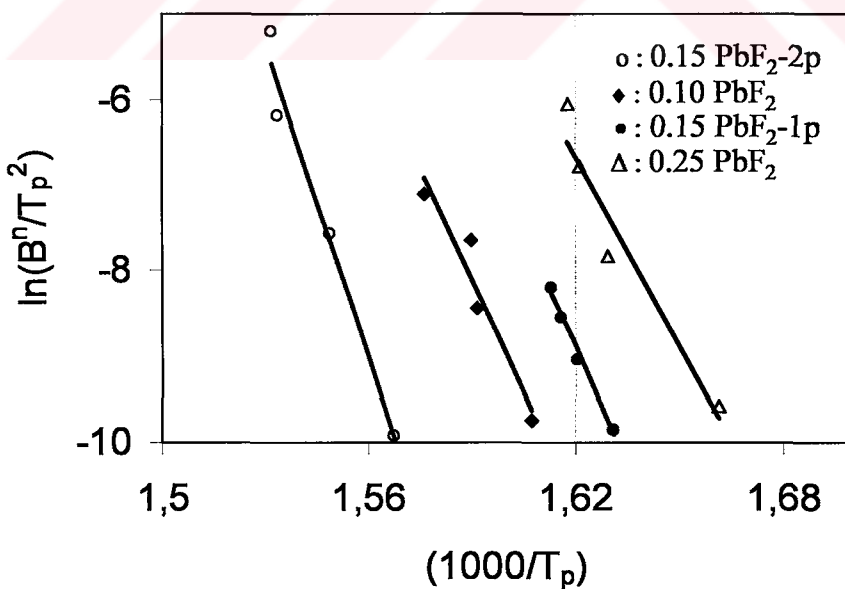
Tablo 4.9: DTA ve DSC ile elde edilen sıcaklık parametrelerinin karşılaştırılması, cam geçisi, T_g, kristallenme tepe sıcaklığı, T_p.

Cam kimyasal Bileşeni (mol)		Sıcaklık (°C)	
TeO ₂	PbF ₂	T _g	T _p
90	10	303	355 [DTA]
85	15	293	343 [DTA]
75	25	275	322 [DTA]
90	10	272	299 [DSC] Kay: [40]
80	20	243	273 [DSC] Kay: [40]
70	30	236	258 [DSC] Kay: [40]

Tablo 4.9 da görüldüğü gibi cam matrisi içindeki PbF_2 miktarı Silva ve ark. tarafindan belirtildiği gibi cam geçiş sıcaklığı ve kristal tepe sıcaklıklar azalma göstermektedir [40-45].



Şekil 4.11: $(1-x)\text{TeO}_2-x\text{PbF}_2$ ($x=0.10, 0.15$ ve 0.25 mol) camları için Ozawa değişimi.



Şekil 4.12: $x=0.10, 0.15$ ve 0.25 mol PbF_2 malzemesi için Kissinger değişimi.

Aktivasyon enerjisinin hesaplanması için Kissinger yaklaşımı kullanılır. Denk.64 den yararlanarak, $\ln(\phi^n / T_p^2)$ nin $1/T_p$ ye göre eğim grafiğinden aktivasyon enerjisi hesaplanır. Aktivasyon enerjisi yüzey kristallenmesi hakkında bilgiler sağlamaktadır. Şekil 4.12 de $0.90\text{TeO}_2\text{-}0.10\text{PbF}_2$ cam malzemesi için Kissinger yaklaşımının uygulaması görülmektedir. Kompozisyonla bağlı olarak elde edilen kristalizasyon aktivasyon enerjisi $x=0.10$ mol için 814 kJ/mol , $x=0.15$ malzemenin birinci ekzotermik piki için 748 , ikinci piki için 415 kJ/mol ve $x=0.25$ mol malzeme için 387 kJ/mol olarak hesaplanmıştır [95]. Tanaka ve ark. tarafından sentezlenen $15\text{Na}_2\text{O}\text{-}85\text{TeO}_2$, $20\text{Na}_2\text{O}\text{-}80\text{TeO}_2$, $25\text{Na}_2\text{O}\text{-}75\text{TeO}_2$ cam malzemelerinin kristallenme aktivasyon enerji değerleri sırasıyla 1108 , 754 ve 692 kJ/mol olarak bulunmuştur [102-106].

4.2 Optik Ölçüm Verileri

4.2.1 Soğurma spektrumu verileri

Cam malzemelerin $2\pm1 \text{ mm}$ kalınlığında hazırlanmasından sonra, soğurma (absorption) spektrumları (Shimadzu UV-VIS-NIR 3101 PC) $400\text{-}2000 \text{ nm}$ dalga boyu aralığında alındı. Soğurma spektrumu alınacak cam malzemelerin yüzeyleri parlatıldı. Elde edilen soğurma spektrumları, Lambert-Beer kanunundan yararlanarak soğurma tesir kesitlerinin hesaplanması kullanıldı. Soğurma spektrumu ölçümleri oda sıcaklığında gerçekleştirildi. Soğurma spektrumu grafiklerinden de anlaşılacağı üzere, 830 ile 860-nm dalga boyu arasında soğurma spektrumu cihazında detektör değişimi gerçekleşmektedir. Cam malzemelerindeki Tm^{3+} iyonlarının ${}^3\text{F}_4$ soğurma bandı 830-nm de başladığı için, detektör değişimi dalga boyu 860-nm ye ayarlandı, böylece ${}^3\text{F}_4$ bandının daha net olarak hesaplanması sağlandı.

Elde edilen cam malzemelerin yüzey analizi daha kaliteli bir şekilde işleme tabii tutulduğu sürece, soğurma spektrumları verileri daha net olmaktadır. Yüzey analizi iyi derecede hazırlanmamış olan cam malzemelerin saçılımalara nedeniyle, soğurma spektrum bandlarında kalite düşmekte ve gürültü sinyalleri artış göstermektedir. $\%1.0$ mol Tm^{3+} katkılı $(1-x)\text{TeO}_2\text{-}x\text{PbF}_2$ cam malzemesinin, $x=0.10$, 0.15 , 0.17 , 0.20 , 0.22 , ve 0.25 değerleri için, $400\text{-}2000 \text{ nm}$ dalga boyu aralığında elde edilen soğurma spektrumunda, ${}^1\text{G}_4$, ${}^3\text{F}_2$, ${}^3\text{F}_3$, ${}^3\text{F}_4$, ${}^3\text{H}_5$ ve ${}^3\text{H}_4$ soğurma tepeleri gözlendi. Şekil 4.13, 4.14 ve 4.15 de kompozisyonla bağlı soğurma spektrumu değişimleri görülmektedir. Şekil 4.16 ve 4.17 da ise Tm^{3+} iyonu değerleri $\%1.0$, 0.5 ve 0.2 mol

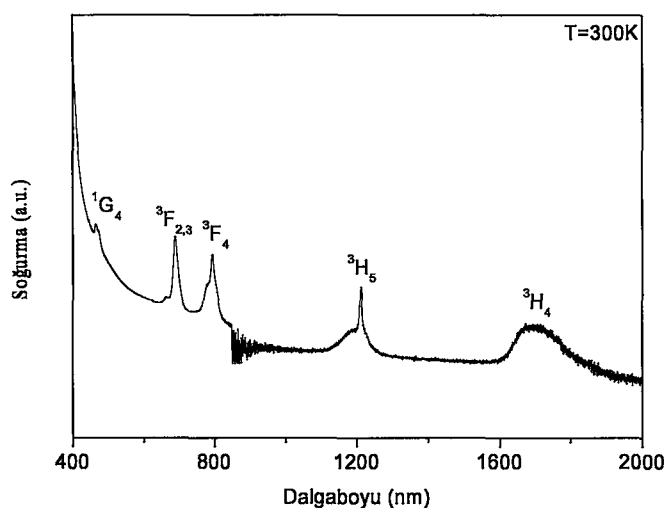
oranlarına göre soğurma spektrumları görülmektedir. Tm^{3+} iyonu konsantrasyonu miktarı artırıldıkça, soğurma spektrumu bandları genişleme göstermektedir. Kompozisyonla bağlı soğurma spektrumları Ek. B da ayrıca gösterilmiştir. Tm^{3+} iyonu ile katkılanmamış olan, TeO_2-PbF_2 cam malzemelerin 390-400 nm de soğurma bandlarının sonsuz olduğu görülmektedir. Optik band genişliği ve Urbach enerjilerinin hesaplanmasıında Tm^{3+} iyonu katkısız cam malzemelerin 300-900 nm arasındaki soğurma spektrumlarından yararlanıldı. Bir temel seviyeden gerçekleşen soğurmanın soğurma tesir kesiti, $\sigma_{\text{soğ}}$ denk.69 ile verilir:

$$\sigma_{abs} (cm^{-2}) = \frac{2.303 \log_{10}(I_0 / I)}{cl} \quad (69)$$

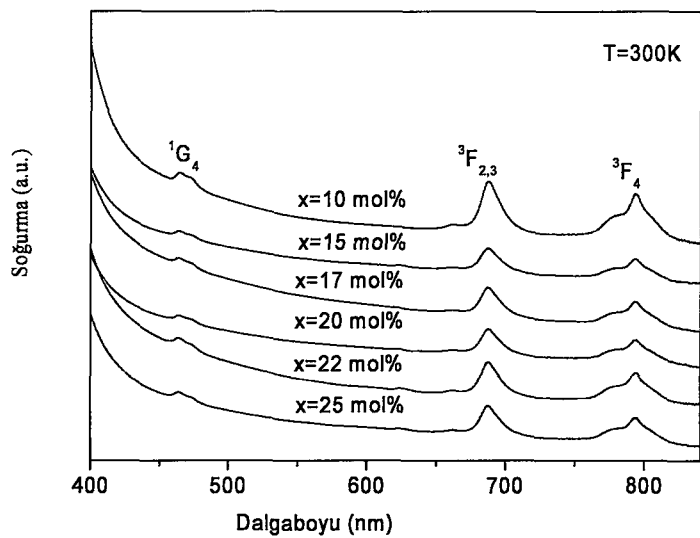
Soğurma tesir kesitindeki c tulyum iyonu konsantrasyonu olduğundan denk.70 şekilde ifade edilir:

$$c_N (cm^{-3}) = \frac{y.(Tm^{3+} ions).N_A \cdot \rho}{(M_{eff})} \quad (70)$$

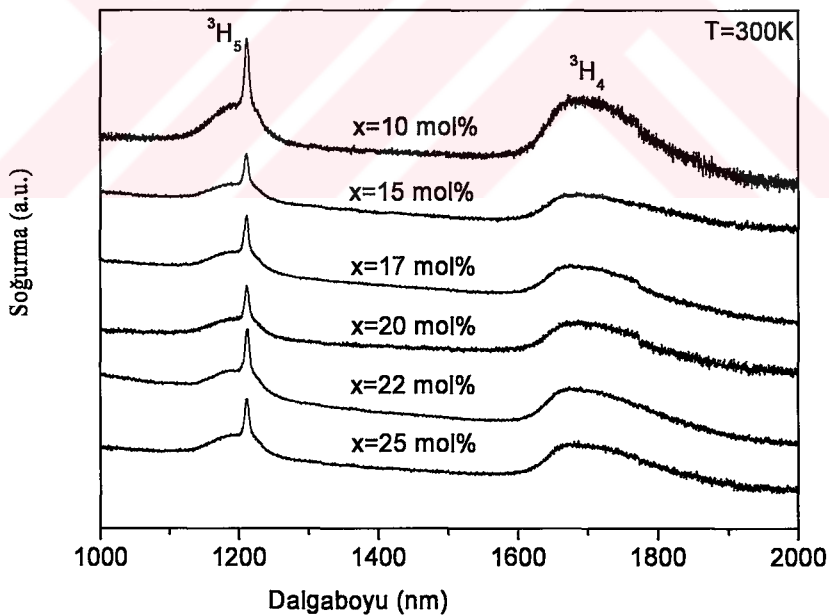
Formüldeki yüzde ağırlık %wt Tm^{3+} mol ağırlığı ile yüzdesinin çarpımıdır. N_A Avogadro sayısı, ρ cam yoğunluğunu, M_{eff} ise cam bileşenindeki toplam etkin molekül ağırlıdır.



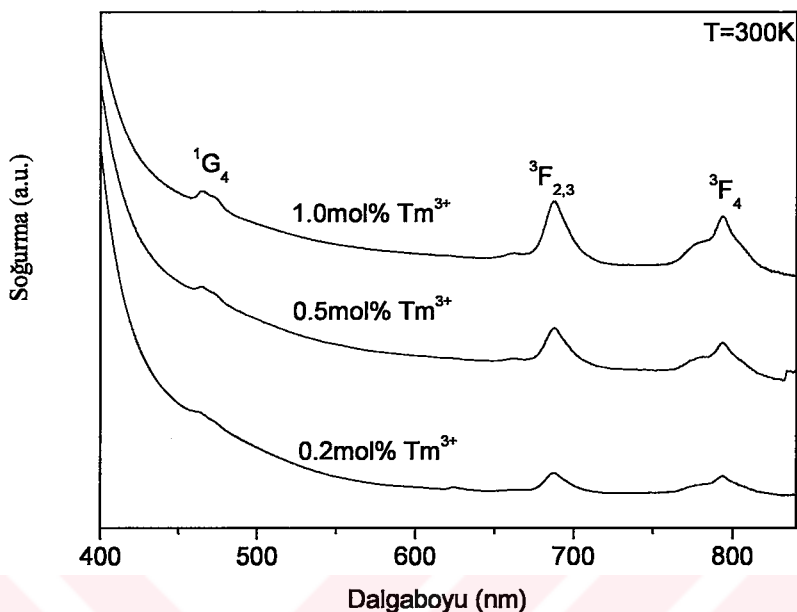
Şekil 4.13: 0.90 TeO_2 -0.10 PbF_2 camı için 400-2000-nm dalga boyunda %1.0 mol Tm^{3+} iyonunun soğurma bandının kompozisyonla bağımlılığı [95].



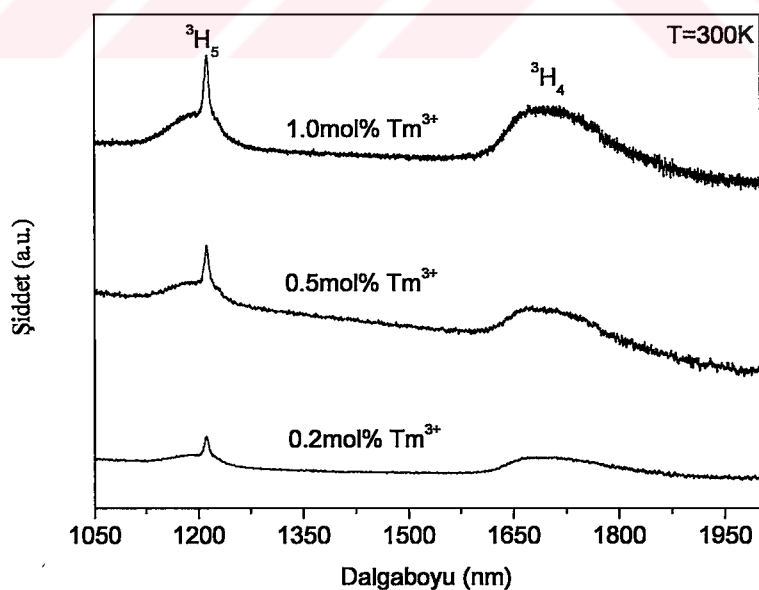
Şekil 4.14: $(1-x)\text{TeO}_2\text{-}x\text{PbF}_2$ camları için 400-840 nm dalga boyunda %1.0 mol Tm^{3+} iyonunun soğurma bandının kompozisyonuna bağımlılığı.



Şekil 4.15: $(1-x)\text{TeO}_2\text{-}x\text{PbF}_2$ camları için 1000-2000 nm dalga boyunda %1.0 mol Tm^{3+} iyonunun soğurma bandının kompozisyonuna bağımlılığı [31].



Şekil 4.16: $(1-x)\text{TeO}_2-x\text{PbF}_2$ camları için $395-840$ nm dalga boyunda $y=\%0.2, 0.5$ ve 1.0 mol Tm^{3+} iyonunun soğurma bandının kompozisyonuna bağımlılığı.



Şekil 4.17: $(1-x)\text{TeO}_2-x\text{PbF}_2$ camları için $1050-2000$ nm dalga boyunda $y=\%0.2, 0.5$ ve 1.0 mol Tm^{3+} iyonunun soğurma bandının kompozisyonuna bağımlılığı.

Taban durumundaki her bir seviye için toplam soğurma tesir kesiti,

$$\Sigma_{sog} = \int \sigma_{sog}(\lambda) d\lambda (x10^{-7}) \quad (71)$$

ile verilir. Denk.71 göz önüne alınarak, $^3F_{2,3}$, 3F_4 , 3H_5 ve 3H_4 seviyeleri için temel durumda soğurma bantlarının toplam soğurma tesir kesitleri Tablo 4.10 de verilmektedir. Denk. 36 de, deneysel olarak elde edilen spektral şiddetin, $U^{(t)}$ matris elemanlarına en küçük kareler yönteminin uygulanmasıyle hesaplanan Judd-Ofelt şiddet parametrelerinin Ω_t , değerleri PbF_2 kompozisyon oranlarına bağlı değişimi Tablo 4.12 ve Şekil 4.18 de verilmektedir. TeO_2-PbF_2 camındaki PbF_2 kompozisyonuna bağlı olarak edilen Ω_2 hızlı bir artış göstermektedir. Ω_4 ve Ω_6 değerleri ise kompozisyonu bağlı olarak çok yavaş bir artış göstermektedir. Ω_2 şiddet parametresinin çok hızlı bir oranda artış göstermesi bu parametrenin, camın yapısal özelliklerine sıkı sıkıya bağlı olduğunu göstermektedir [107-113].

Tanabe tarafından gerçekleştirilen bir çalışmada, Er^{3+} katkılı $(75-x)SiO_2-xAlO_{3/2}-25NaO_{1/2}$ cam malzemesinde Judd-Ofelt şiddet parametreleriyle ilgili olarak, Ω_2 parametresi $x=0.25$ mol için maksimum olmakta, Ω_4 , ve Ω_6 parametreleri ise x in artmasına bağlı olarak artış göstermektedir. Ω_2 parametresinin kompozisyonu bağlı olmasının nedeni ise, $x>25$ den büyük değerlerde, alumina-silikat cam malzemesindeki nadir toprak iyonlarının yerel simetrisinin değişmesine bağlanmaktadır [107-108].

Nadir toprak iyonlarının $4f^N$ elektronik seviyeleri arasındaki ışimalı geçiş olasılıklarını belirleyebilmek için, soğurma spektrumlarından Judd-Ofelt şiddet parametrelerinin, Ω_t lerin belirlenmesi gereklidir. Judd-Ofelt teorisinde, $J-J'$ seviyeleri arasındaki bir elektrik dipol geçisi için soğurma şiddeti,

$$S(J,J') = \sum_{t=2,4,6} \Omega_t \left| \langle SLJ | U^{(t)} | S'L'J' \rangle \right|^2 \quad (72)$$

ile verilmektedir. Deneysel olarak elde edilen soğurma badlarının spektral şiddeti aşağıdaki denk.73 ile verilir:

$$f_{den} = \int_{band} \mu(\lambda) d\lambda \quad (73)$$

Buradaki $\mu(\lambda)$ soğurma katsayısı olup,

$$\mu(\lambda) = \frac{2.303 \log_{10}(I/I_o)}{\lambda} \quad (74)$$

denklemiyle verilir. Bir dipol geçişinin soğurma şiddeti ile soğurma bandının spektral şiddeti arasındaki;

$$\int_{band} \mu(\lambda) d\lambda = \frac{8\pi^3 e^2}{3ch} \frac{(n^2 + 2)^2}{9n} \frac{\bar{\lambda}}{(2J+1)} c_N \times \sum_{t=2,4,6} \Omega_t \left| \langle SLJ | U^{(t)} | S'L'J' \rangle \right|^2 \quad (75)$$

ile verilir. Temel durumdan uyarılmış bir seviyeye elektrik dipol geçişin toplam salınım şiddeti,

$$f_{cal}(J, J') = \frac{8\pi^3 e^2}{3ch} \frac{(n^2 + 2)^2}{9n} \frac{\bar{\lambda}}{(2J+1)} \times \sum_{t=2,4,6} \Omega_t \left| \langle SLJ | U^{(t)} | S'L'J' \rangle \right|^2 \quad (76)$$

ile verilir.

Bir $SLJ-S'L'J'$ elektrik dipol salınımı için, kendiliğinden ışimalı geçiş olasılığı denk.77 ile verilir:

$$A(J, J') = \frac{64\pi^4 e^2}{3h(2J+1)} \frac{n(n^2 + 2)^2 \bar{\nu}^3}{9} \times \sum_{t=2,4,6} \Omega_t \left| \langle SLJ | U^{(t)} | S'L'J' \rangle \right|^2 \quad (77)$$

i.uyarılmış bir seviye için toplam kendiliğinden ışimalı geçiş olasılığı W_R , ışimalı yaşam süresi, τ_R , ve dallanma oranları, β ile ilgili tüm seviyelerin üzerinden hesaplanan $A(J, J')$ terimlerinin toplamı olarak verilir [5-51]:

$$\frac{1}{\tau_R(i)} = \sum_j A(i, j) = W_R \quad (78)$$

ve

$$\beta = \frac{A(J, J')}{W_R}. \quad (79)$$

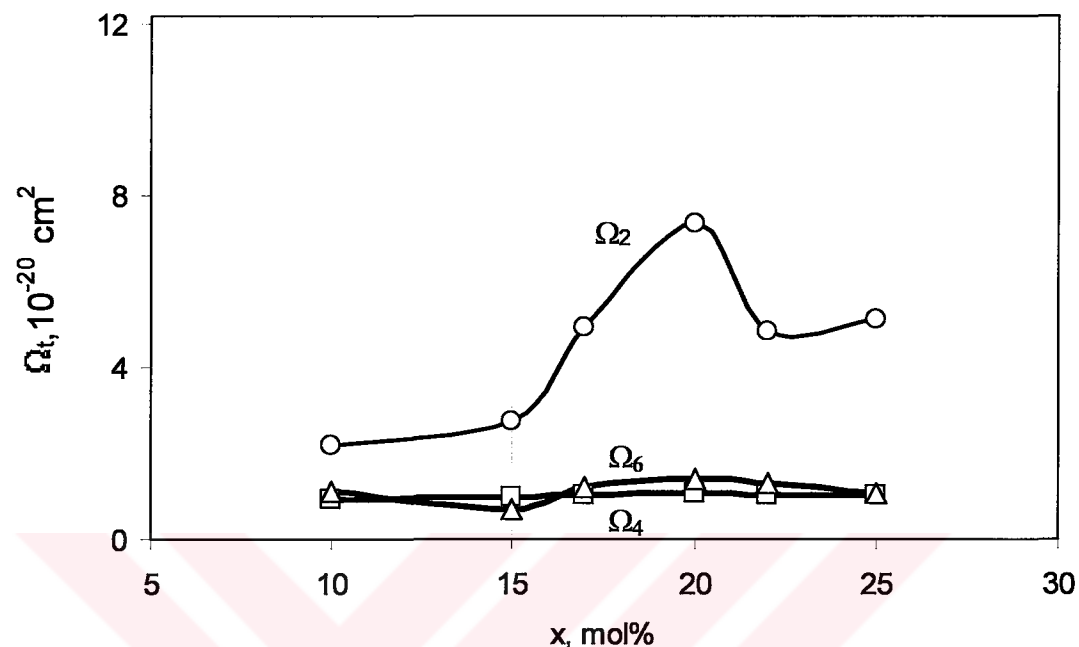
Tablo 4.10: Tm^{3+} ‘un temel seviye soğurma bandlarının, integrali alınmış, soğurma tesir kesitlerinin kompozisyon'a bağlılığı.

Cam kompozisyonu (mol%)			$\int \sigma(\lambda) d\lambda = \int_{band} \frac{2.303 \log(I(\lambda)/I_0)}{cl} d\lambda (x 10^{-27} cm^3)$			
TeO ₂	PbF ₂	Tm ₂ O ₃	³ F _{2,3}	³ F ₄	³ H ₅	³ H ₄
90	10	1	16,65	17,86	20,92	57,15
85	15	1	11,32	13,07	22,27	65,18
83	17	1	19,73	23,65	31,19	101,64
80	20	1	23,53	31,83	37,63	138,27
78	22	1	20,14	25,70	29,97	100,57
75	25	1	18,13	22,52	41,13	102,89

Tablo 4.11: Judd-Ofelt şiddet parametrelerinin kompozisyon'a bağlılığı ve ışınalı yaşam süreleri (τ_R) [31].

Cam Kompozisyonu (mol)	x	$\tau_R = (1/W_R)$ (ms)			
		Ω_2 ($10^{-20} cm^2$)	Ω_4 ($10^{-20} cm^2$)	Ω_6 ($10^{-20} cm^2$)	³ F ₄
	0.10	2.18	0.95	1.14	0.472
	0.15	2.77	0.98	0.70	0.519
	0.17	4.93	1.03	1.19	0.313
	0.20	7.38	1.06	1.38	0.230
	0.22	4.85	1.02	1.29	0.294
	0.25	5.14	1.03	1.09	0.308
					2.181
					1.523
					2.210
					2.042

Tablo 4.2 den görüldüğü gibi kompozisyon miktarı arttıkça, 3F_4 ve 3H_4 seviyelerindeki iyonların ışimalı yaşam sürelerinde azalma görülmektedir [31].



Şekil 4.18: Judd-Ofelt şiddet parametrelerinin PbF_2 kompozisyonuna bağlı değişimi [32].

Şekil 4.18 de Judd-Ofelt şiddet parametrelerinin artan kompozisyon'a göre değişimi görülmektedir. Ω_2 şiddet parametresi 0.10, 0.15, 0.17 ve 0.20 mol PbF_2 değerine kadar artmaktadır, sonraki değerler içinse azalma göstermektedir. Ω_2 şiddet parametresindeki bu artış, Ω_4 ve Ω_6 ya göre daha büyük değerlerde olmaktadır. Ω_2 şiddet parametresinin cam matrisindeki kompozisyon'dan kolaylıkla etkilendiğini söyleyebiliriz. PbO-GeO_2 cam malzemesi için benzer bir çalışma Wachtler ve ark. tarafından yapılmış, Ω_2 şiddet parametresi aynı eğilimi göstermiştir. Wachtler Ω_2 şiddet parametresindeki artış ve azalmanın nedenini ise nadir toprak iyonlarının yerel simetri ve yaptıkları kovalant bağ etkisiyle olabileceğini vurgulamaktadır [8].

Denk.39 göz önüne alınarak yapılan hesaplamalar sonucu, $(1-x)\text{TeO}_2-x\text{PbF}_2$ camındaki Tm^{3+} iyonlarının, kompozisyon'a bağlı uyarılmış salınım tesir kesitleri Tablo 4.12 de verilmektedir. 785-nm lazer ışığı ile uyarma sonucu gözlenen ışma bantlarının dalga boyu tepelerindeki uyarılmış ışimalı tesir kesitleri, $\sigma(\lambda_p)$, kendiliğinden ışimalı geçiş olasılıkları ve bant genişlikleri arasındaki ilişki aşağıda denk.80 ile verilmektedir [3]:

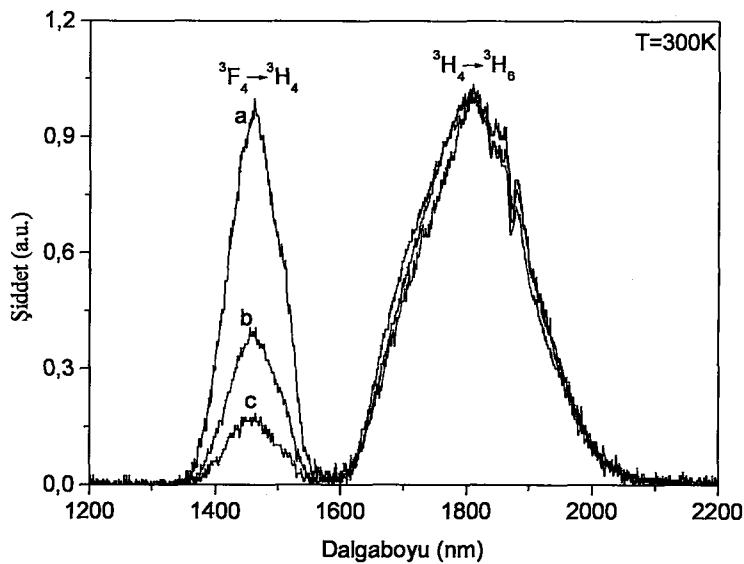
$$\sigma(\lambda_p) = \frac{\lambda_p^4}{8\pi c n^2 \Delta \lambda_{eff}} W_R \quad (80)$$

Tablo 4.12: Tm³⁺ iyonunun uyarılmış salınım tesir kesiti [32].

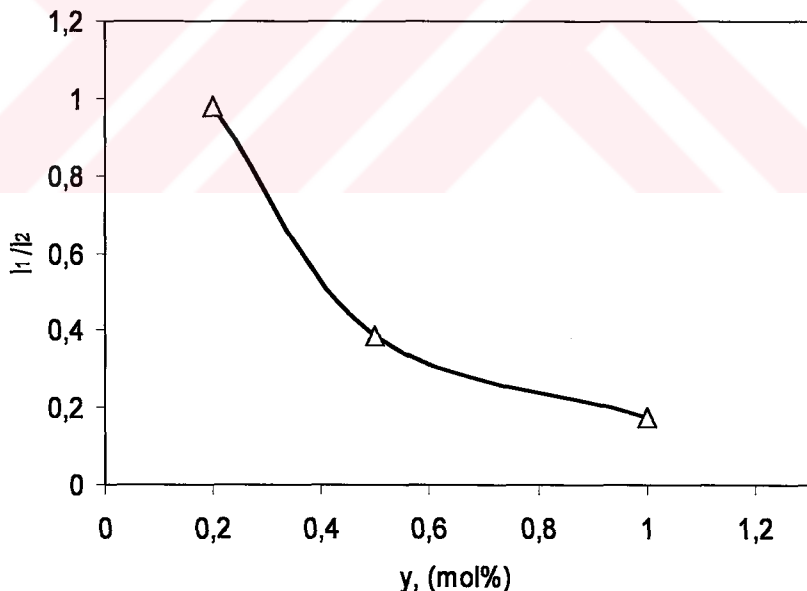
Cam Kompozisyonu (mol)	$\sigma (\times 10^{-21} \text{ cm}^2)$	
	${}^3F_4 \rightarrow {}^3H_4$	${}^3H_4 \rightarrow {}^3H_6$
x		
0.10	2.3	4.5
0.15	2.3	4.9
0.17	3.7	7.1
0.20	5.5	10.0
0.22	4.4	7.2
0.25	4.2	7.4

4.2.2 Floresans spektrumum verileri

Lüminesans ölçümelerinde, sabit kompozisyonda x=0.10 mol için, Tm³⁺ iyonu oranları %1.0, 0.5 ve 0.2 mol için, 25-mW gücünde sürekli özellikte bir lazer diyon ile cam malzeme uyarıldı. Uyarılan malzemeden meydana gelen floresans ışması, 0.5-m Czerny özellikli bir monokromatör'den geçirildi ve PbS detektörde kaydedildi. Şekil 4.18 den ve Ek-C den anlaşıldığı üzere, Tm³⁺ iyonlarının 1470 ve 1800-nm de iki tane ışma bandı görülmektedir. 1470-nm dalga boyundaki ışma bandı Tm³⁺ iyonu konsantrasyonuna sıkı bir bağlılık göstermektedir. Tm³⁺ iyonu değeri artırıldıkça 1470-nm deki ışma bandı küçülmektedir. Diğer yandan 1800-nm deki ışma bandı ise Tm³⁺ iyonu konsantrasyonuna pek bir bağlılık göstermektedir. 1470-nm deki ışma bandının çapraz sönüm nedeniyle azalmak gösterdiği açığa çıkmaktadır.



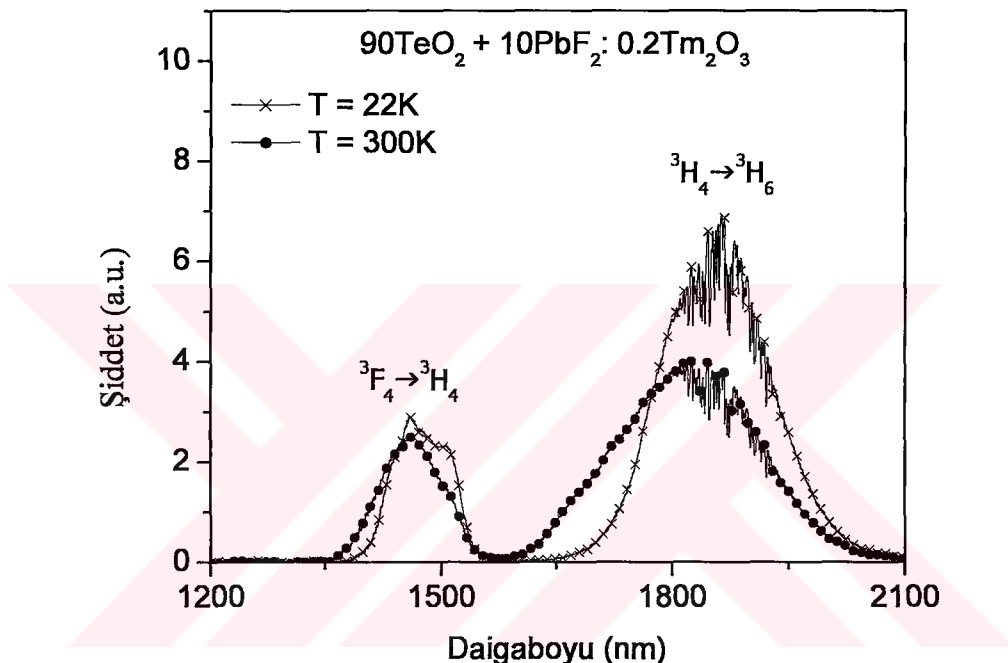
Şekil 4.19: Dalgaboyuna bağlı olarak $(1-x)\text{TeO}_2-x\text{PbF}_2$ camı için $a=%0.2$, $b=0.5$ ve $c=1.0$ mol Tm^{3+} iyonunun ölçülen salınım şiddeti [32].



Şekil 4.20: $x = 0.10$ mol PbF_2 , $y=%1.0$ mol Tm^{3+} iyonu için, 1470 nm deki ışma şiddetinin 1800 nm deki ışma şiddetine oranı [24].

Şekil 4.20 da tulyum iyonu konsantrasyonuna bağlı olarak 1470 nm deki ışma şiddeti (I_1) 1800 nm deki ışma şiddetine (I_2) bağlı olarak azalma göstermektedir. Bu şiddetteki azalma iyonlar arası çapraz sönüm'den kaynaklandığı açığa çıkmaktadır.

Şekil 4.20 Floresans spektrumunun sıcaklığı bağlı değişimini göstermektedir. 798 nm diyon lazeri kullanılarak, tulyum iyonları 3F_4 enerji seviyesine uyarıldı. Sıcaklık arttıkça, 1470 ve 1800-nm dalga boylarındaki ışıma bandları sağ tarafa doğru genişleme göstermektedir. Tanabe'nin $0.1Tm^{3+}: 72TeO_2-20ZnO-5Na_2O-2.9Y_2O_3$ cam malzemesi için 15 ile 300°K arasındaki elde ettiği floresans ölçüm sonucu, 1470 nm deki ışıma bandı şiddetti sıcaklık azaldıkça artış göstermektedir, diğer yandan 1800 nm deki ışıma bandı daha keskin bir hale dönüşmektedir [108-109].



Şekil 4.21: Floresans spektrumunun sıcaklığına bağlı değişimi.

Bununla birlikte, artan sıcaklıkla 1460-nm deki ışıma bandı alan fazla bir değişim göstermemekte, 1800-nm deki değişim ise ilk önce 250°K sıcaklığına kadar artmakta, sonra ise azalmaktadır. Bu 1470-nm deki ışımın nedeni, 3H_4 enerji seviyesinin bir sonraki enerji seviyesi arasındaki enerji aralığının küçük olması sonucu oluşan ışımasız geçişlerin sıcaklığına bağlı olmasındandır. 1800-nm deki artışın nedeni ise, ışımasız geçişler sonucu üst enerji seviyesindeki nüfus terslenmesinin etkisidir. Böylece, düşük sıcaklığın nüfus terslenmesini tetiklediği söylenebilir.

4.2.3 Yaşam süreleri spektrumum verileri

Tm^{3+} iyonunun 1470-nm ve 1800-nm deki enerji seviyelerindeki iyonların yaşam süreleri, oda sıcaklığında, 60 nsn atmalı, 1kHz ve 500 KHz frekanslarında, 795-nm

Ti^{3+} :safir laseri kullanılarak ölçüldü. Ölçülen yaşam süreleri kullanılarak cam malzemenin kuvantum verimi hesaplandı. Kompozisyon değeri arttırdıkça 3F_4 ve 3H_4 seviyesindeki ölçülen yaşam süreleri, τ_m , Tablo. 4.13 de görülmektedir. 0.20 mol PbF_2 katkılı cam malzemenin kuvantum verimi 3F_4 seviyesi için % 61, 3H_4 için ise 0.22 mol PbF_2 içeren cam malzemenin, % 66 ile en yüksek kuvantum verimi içerdiği görülmektedir. Tm^{3+} iyonunun 3F_4 ve 3H_4 seviyelerindeki kuvantum verimi, η , cam konak malzemesinin bir fonksiyonu olarak denk.81 ile hesaplanır [35]:

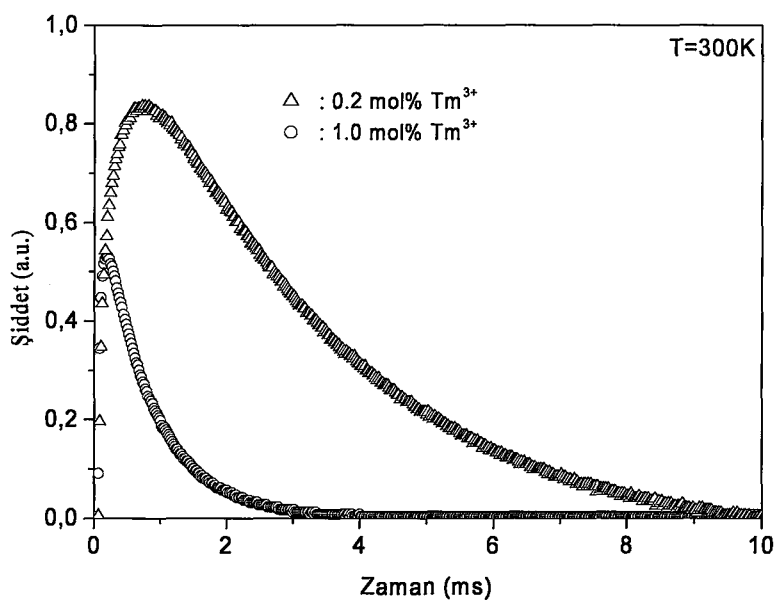
$$\eta = \frac{\tau_F}{\tau_R} \quad (81)$$

Burada, τ_F deneyel olarak ölçülen floresans yaşam üsresi, τ_R ise Judd-Ofelt teorisinden hesaplanan ışınmalı yaşam süresini göstermektedir.

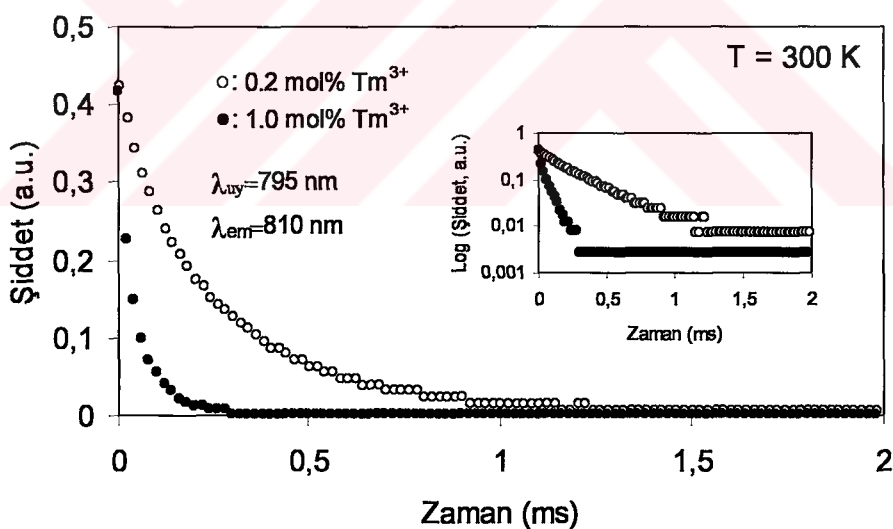
Tablo 4.13: Floresans yaşam süreleri ve kuvantum verimleri.

Cam Kompozisyonu (mol)	τ_F (ms)		η	
x	3F_4	3H_4	3F_4	3H_4
0.10	0.117	0.460	0.24	0.13
0.15	0.126	0.473	0.24	0.14
0.17	0.108	0.948	0.35	0.43
0.20	0.110	0.413	0.48	0.27
0.22	0.124	1.110	0.42	0.50
0.25	0.088	0.485	0.29	0.24

Şekil 4.22 ve 4.23'de sabit kompozisyon'a bağlı olarak, Tm^{3+} iyonu konsantrasyonlarının %0.2 ve 1.0 mol için 1470 ve 1800-nm deki $^3F_4 \rightarrow ^3H_4$ ve $^3H_4 \rightarrow ^3H_6$ geçişlerine ait lüminesans verileri görülmektedir. Buradan anlaşıldığı üzere konsantrasyon miktarı arttırdıkça hem 1470 hemde 1800-nm deki ışınmalı geçişlerin yaşam sürelerinde azalma görülmektedir. 1800-nm deki $^3H_4 \rightarrow ^3H_6$ geçisi sonucu oluşan lüminesans Şekil 4.22'de görüldüğü üzere, 3F_4 seviyesindeki yaşam süresinin ihmali edilmemesinden dolayı önce artmakta sonra ise üstel olarak azalmaktadır. Her iki seviyedeki yaşam süreleri eğrileri üstel olarak fit edilerek hesaplandı.



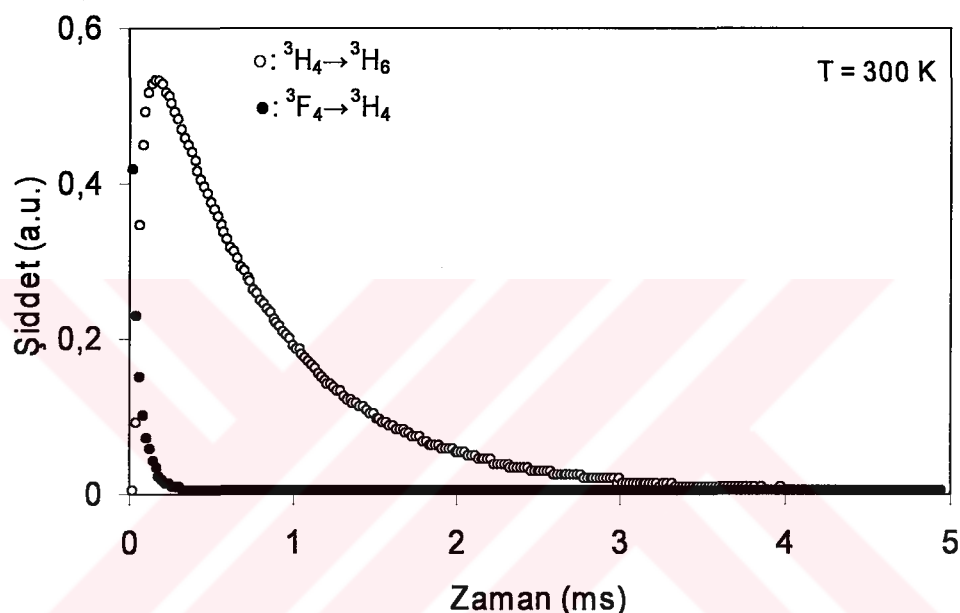
Şekil 4.22: $x = 0.10$ mol ve $y = 0.2$ ve 1.0 mol Tm^{3+} iyonu için, zamana bağlı 1800-nm deki lüminesans eğrisi.



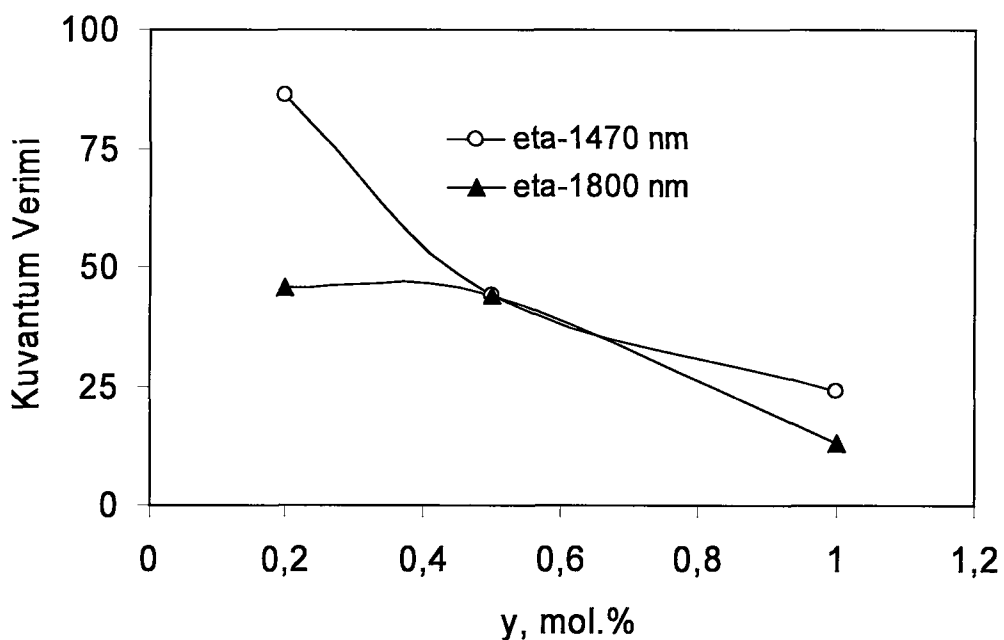
Şekil 4.23: $x = 0.10$ mol ve $y = 0.2$ ve 1.0 mol Tm^{3+} iyonu için, zamana bağlı 1470-nm deki lüminesans eğrisi [32, 57].

Şekil 4.24 de deneysel olarak Ti:safir lazeri kullanılarak ölçülen lüminesans sonuçları görülmektedir. Şekilden de farkedildiği üzere, konsantrasyon miktarı artırıldıkça 1470 ve 1800-nm deki iyonların yaşam sürelerinde azalma görülmektedir. Şekil 4.25 ve 4.26'de konsantrasyona ve kompozisyona bağlı

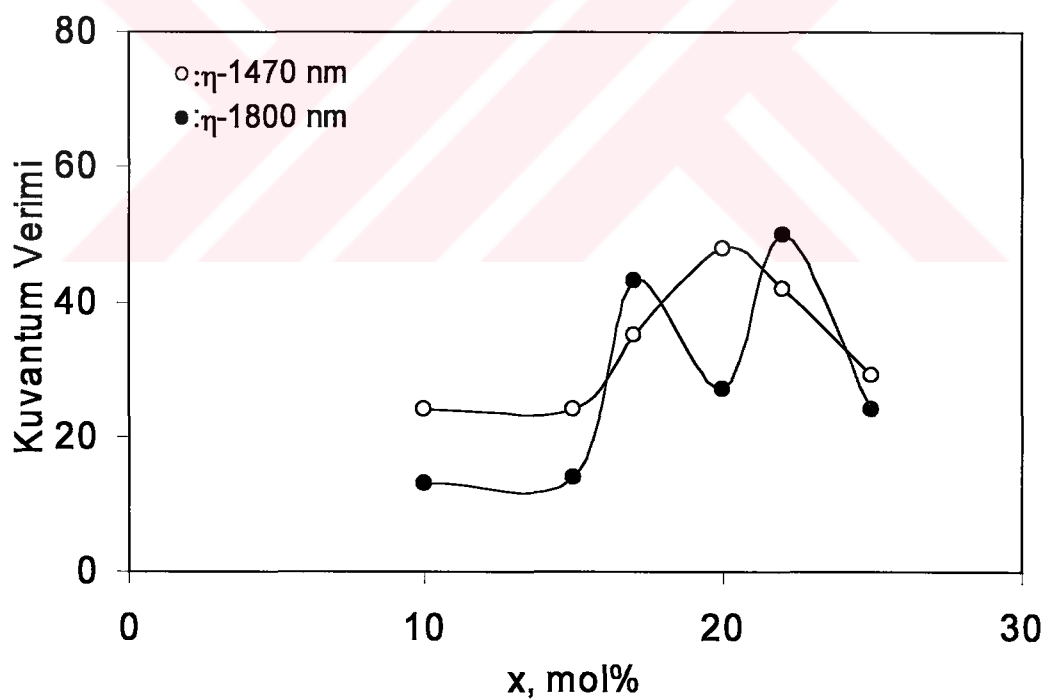
kuvantum verileri görülmektedir. Yine konsantrasyon miktarının artışı, kuvantum verimlerini azaltmaktadır. Ancak kompozisyon'a bağlı olarak kuvantum verimleri, 1470-nm dalga boyunda 0.10, 0.15, 0.17 ve 0.20 mol PbF₂ için artmaktadır, 0.22 ve 0.25 mol PbF₂ için ise azalma göstermektedir. 1800-nm deki kuvantum verimi ise, 0.10, 0.15, 0.17 ve 0.22 mol PbF₂ değerlerinde artış göstermektedir. 0.20 ve 0.25 mol PbF₂ değerleri için ise azalma göstermektedir. Böylece azalmaların cam yapısında oluşan yerel (cluster) alanlarından kaynaklandığı varsayılmaktadır.



Şekil 4.24: $x = 0.10$ mol ve $y = 0.2$ ve 1.0 mol Tm^{3+} iyonu için, zamana bağlı 1470-nm deki ölçülen yaşam süresi eğrisi.



Şekil 4.25: Konsantrasyona bağlı olarak ışınım kuvantum verimi değişimi.



Şekil 4.26: Kompozisyon'a bağlı olarak ışınım kuvantum verimi değişimi [32].

Tm^{3+} iyonunun $(1-x)TeO_2-xPbF_2$ ($x=0.10, 0.15, 0.17, 0.20, 0.22,$ ve 0.25 mol) camlarındaki yarı kararlı seviyelerindeki ıshımalı geçiş olasılıkları (A_{ed}), ıshımalı yaşam süreleri (τ_R), ve dallanma oranları β , (branching ratio) denk. 73, 74 ve 75 kullanılarak hesaplandı ve Tablo 4.14 ile Ek D'de gösterilmektedir.

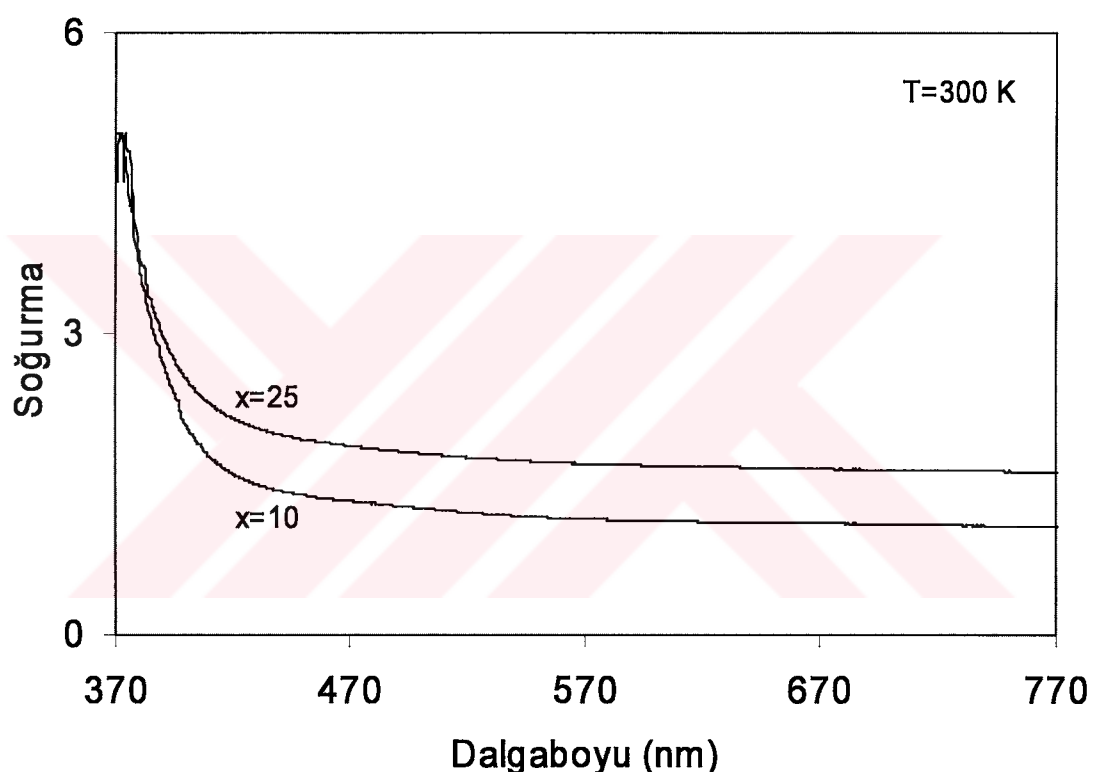
Tablo 4.14: Tm^{3+} iyonunun $0.90TeO_2-0.10PbF_2$ camındaki ışımalı geçiş olasılıkları, A_{ed} , ışımalı yaşam süreleri, τ_R (ms), ve dallanma oranları, β değerleri.

Geçişler	Ortalama frekans (cm^{-1})	$A_{ed}(s^{-1})$	$\tau_R(ms)$	β
(a) $0.90TeO_2-0.10PbF_2$				
$^1G_4 \rightarrow ^3H_6$	21598.3	1388.54	0.378	0.525
3H_4	15774.8	305.503		0.115
3H_5	9018.07	412.772		0.156
3F_4	8935.24	398.515		0.151
3F_3	7126.49	115.275		0.043
3F_2	6428.37	25.056		0.009
$^3F_2 \rightarrow ^3H_6$	15169.9	1329.49	0.457	0.607
3H_4	9346.47	821.444		0.375
3H_5	2589.7	21.3523		0.009
3F_4	2506.87	17.6414		0.008
$^3F_3 \rightarrow ^3H_6$	14471.8	2382.7	0.410	0.976
3H_4	8648.35	57.6674		0.024
3H_5	1891.58	0.000894128		0
$^3F_4 \rightarrow ^3H_6$	12663	0.000205122	0.472	0.814
3H_4	6839.6	150.107		0.061
3H_5	82.8378	1966.24		0
$^3H_4 \rightarrow ^3H_6$	5823.43	299.143	3.342	0.124

Tablo 4.15 de optik bant genişliği, E_{opt} ve ΔE değerleri görülmektedir. Optik band genişliği kompozisyonla bağlı olarak azalmakta, ancak Urbach enerileri ise artış göstermektedir. Görünür bölgedeki TeO_2-PbF_2 cam malzemelerinin 0.10 ve 0.25 mol PbF_2 için elde edilen soğurma spektrumlarına göre, artan kompozisyonla bağlı olarak malzemelerin soğurma bandı kıızılaltı bölgeye doğru kaymaktadır [93].

Tablo 4.15: 0.90TeO₂-0.10PbF₂ ve 0.75TeO₂-0.25PbF₂ cam malzemeleri için optik band genişliği E_{opt} , eV, ve ΔE Urbach enerjisi (eV) nin gösterimi [110].

Cam Kompozisyonu (mol)		E_{opt} (eV)	ΔE (eV)
TeO ₂	PbF ₂		
0.90	0.10	2.02	0.34
0.75	0.25	1.90	0.36



Şekil 4.27: 0.90TeO₂-0.10PbF₂ ve 0.75TeO₂-0.25PbF₂ camları için 370-770 nm dalga boyunda soğurma bandı.

5. SONUÇ ve DEĞERLENDİRME

Bu çalışmada, UV/VIS/NIR soğurma, floresans yaşam süreleri ölçüm tekniği ile diferansiyel termal analiz, DTA, x-ışınları kırınımı, XRD, Optik mikrokop, OM ve taramalı elektron mikrokop, SEM, teknikleri kullanılarak, sentezi gerçekleştirilen Tm^{3+} katkılı $(1-x)TeO_2-xPbF_2$ yeni telürit fotonik malzemelerinin içeriği tulyum iyonlarına PbF_2 'nin etkisiyle meydana gelen elektronik enerji seviyelerindeki iyonların geçiş olasılıkları, yaşam süreleri, kuantum verimlerinin yanı sıra; malzemenin termal, kinetik ve mikroskopik parametrelerinin incelenmesi araştırılmıştır.

Oksitli camlar arasında düşük fonon enerjili ve kızılaltı 7 μm optik spektrum bölgесine kadar iyi bir geçirgenlikе sahip telürit esaslı fotonik malzemeler, günümüzde fiber optik ve fiber lazer malzemeleri olarak üretilenme potansiyellerine sahiptir. Telürit esaslı fotonik malzemeler mevcut oksitli camlar arasında, SiO_2 camlarına göre daha iyi fizikalı özellikler ve kristallere göre de daha kolay üretilenme ve endüstriyel işlemelere uygun özellikler göstermektedir. Silika cam malzemelerinin dezavantajı ise, nadir toprak iyonlarıyla katkılandığında, konak malzeme içinde klastırlar (cluster) meydana getirmesindendir. Ayrıca telürit esaslı cam malzemeler, yüksek kırınım indisi, düşük erime sıcaklığı, düşük cam geçiş sıcaklığı, yüksek dielektrik sabiti, nadir toprak iyonlarıyla geniş oranda katkılanabilme özellikleri nedeniyle, son zamanlarda bilimsel ve teknolojik açıdan önem kazanmış ve üzerinde çalışılmaya başlanmıştır. Lazer cam malzemelerinin gelişmesinde, nadir toprak iyonları içindeki $4f-4f$ seviyeleri arasındaki elektronik geçiş olasılıkları, kuantum verimi ve uyarmalı ışınmaların tesir kesitleriyle yakından ilgilidir. Bu nedenle Tm^{3+} iyonu katkılı fotonik malzemeler, kızılaltı uygulamalarda büyük bir öneme sahiptir. Aynı zamanda, TeO_2 -esaslı fotonik malzemelerde meydana gelen çekirdeklenme ve kristallenmeler hakkında bilgi sahibi olmak, cam malzemelerde çekirdeklenme ve kristallenmenin istenmediği pratik uygulamalarda (optik fiberler, lazer camları) malzemenin kararlılığını belirlemek ve istenilen mikroyapıya sahip cam malzemelerin elde edilmesi açısından önemlidir.

Yapılan çalışmada, telürit fotonik malzemelerinin sentezi dört kısımda gerçekleştirılmıştır: Birinci kısımda, sabit %1.0 mol Tm^{3+} iyonu katkılı, $x=0.10$, 0.15 , 0.17 , 0.20 , 0.22 , ve 0.25 mol PbF_2 malzemelerin sentezi gerçekleştirılmıştır. İkinci kısımda, sabit kompozisyon için, $x=%10$ mol değerinde, $y= %0.2$, 0.5 , ve 1.0 mol Tm^{3+} katkılı cam malzemelerin sentezi yapılmıştır. Üçüncü kısımda, Tm^{3+} katkısız durumda, $x=0.5$, 0.10 , 0.15 , 0.20 , 0.25 ve 0.50 için cam malzemeler sentezlenmiştir.

1. 0.10 , 0.15 , 0.20 , ve 0.25 mol PbF_2 içeren, $%1.0$ mol Tm^{3+} katkılı cam malzemelerin termal özellikleri, DTA teknigi ile $10^\circ C/dak$ ısıtma hızında çalışılmış, elde edilen DTA grafiğinde, 0.10 ve 0.15 mol PbF_2 için, iki farklı kristallenme fazının birincisi $364^\circ C$, ikincisi ise $432^\circ C$ sıcaklıklarında gözlenmiştir. 0.20 ve 0.25 mol PbF_2 için birinci kristallenme faz sıcaklıkları 338 ve $336^\circ C$ değerlerinde iken, ikinci kristallenme faz tepeleri görülmemektedir. Malzemenin erime sıcaklık değerleri, kompozisyon miktarı arttıkça azalma göstermektedir. Elde edilen cam malzemenin kararlılığının anlaşılması için, cam geçiş sıcaklığı (T_g) ile kristallenme tepesinin ilk başlangıç sıcaklığı (T_c) arasındaki farkın bilinmesi gerekmektedir. $%1.0$ mol katkılı cam malzemelerdeki cam kararlığı kompozisyon miktarının artışına bağlı olarak azalma göstermektedir.
2. Tulyum iyonu katkılı olmayan sentezlerde, katkısız cam malzemelerde, 0.10 , 0.15 , ve 0.25 mol PbF_2 değerlerinde cam malzemelerin termal ve mikroskopik özellikleri DTA, XRD ve SEM teknikleri kullanılarak çalışılmıştır. Elde edilen DTA eğrilerinde, sadece 0.15 mol PbF_2 içeren cam malzemenin iki farklı krsitallenme safhasını gösteren tepe sıcaklıkları $355^\circ C$ ve $395^\circ C$ iken, 0.10 ve 0.25 mol PbF_2 içeren cam malzemelerin birinci kristallenme safmasını gösteren tepe sıcaklıkları ise 343 ve $322^\circ C$ olarak gözlenmiştir.
3. Her üç cam malzemelerin DTA eğrileri T_g cam geçiş sıcaklığına karşılık gelen küçük bir endotermik tepe değeri göstermektedir. PbF_2 miktarı arttıkca, T_g değeri daha düşük sıcaklıklara doğru kaymaktadır. T_g ile birinci ekzotermik tepe değeri'nin başlangıçtaki kristallenme sıcaklığı T_c arasındaki fark $\Delta T=T_c-T_g$ camın kimyasal kararlılığının bir göstergesidir.
4. Elde edilen her üç kompozisyon için DTA eğrilerindeki tepe alan değerleri kullanılarak, cam malzemeyle ilgili, n ve m çekirdeklenme sayısı ve kristallenme

boyutunu belirleyen parametreler Ozawa yöntemi kullanılarak hesaplanmıştır. Buna göre, $x=0.10$, 0.15 ve 0.25 mol PbF_2 katkılı malzemenin mikroyapısında bir boyutlu ($m=1$) bir kristal büyümesi görülürken, 0.15 mol cam malzemenin ikinci ekzotermik pik değeri ($m=2$) için 2 boyutta kristal büyümesi tespit edilmiştir.

5. Kissinger yöntemi kullanılarak, kristal yapının oluşması için gerekli kristallenme aktivasyon enerjisi $x=0.10$, 0.15 ve 0.25 mol PbF_2 kompozisyonlarının artmasına bağlı olarak 814 kJ/mol den 387 kJ/mol değerine azalma göstermiştir.

6. Cam malzemelerin mikroyapısal özellikleri taramalı elektron mikroskopu (SEM) ile incelendi. Cam malzemeler belirli bir tepe sıcaklığının üzerinde (T_{c1}) kristallendirildi ve %5 HF ile 1 sn süreyle dağılandı. Cam malzemeler iletken hale gelmesi için yüzeyleri karbon kaplama ile kaplandı. Farklı büyütme değerlerinde alınan SEM sonuçlarında bütün malzemelerin yüzey kristallenmelerinin olduğu gözlendi.

7. Kristallendirilen cam malzemeler toz haline getirildikten sonra kristal fazlarının belirlenmesi için x-ışınları kırınımı ile analiz edildi. 0.10 mol katkılı cam malzemede ortorombik, γ - TeO_2 ve kübik- $PbTe_3O_7$ fazı, 0.15 mol katkılı cam malzemede birinci tepe için, $PbTe_3O_7$, α - TeO_2 ve δ - TeO_2 fazı, ikinci tepe için, kristal fazları aynı kalmakla birlikte şiddetleri değişim göstermektedir. 0.25 mol PbF_2 için elde edilen kristal fazı ise kübik $PbTe_3O_7$ ve δ - TeO_2 dir.

8. %1.0 mol Tm^{3+} katkılı cam malzemelerin $x=0.10$, 0.15 , 0.17 , 0.20 , 0.22 , ve 0.25 mol kompozisyon değerlerinde alınan soğurma spektrumlarında farklı dalga boylarında soğurma bandları gözlendi. Bu soğurma bandları, 3H_6 temel seviyesinden itibaren, 3H_4 , 3H_4 , 3F_3 , 3F_2 , 1G_4 bandlarıdır. Gözlenen band spektrumlarının tepe alanları, kompozisyon miktarı artmasına bağlı olarak artış göstermektedir.

9. Sabit kompozisyon değerinde $x=0.10$ mol PbF_2 için, farklı konsantrasyonlarda $y=%1.0$, 0.5 ve 0.2 mol Tm^{3+} için 795-nm dalga boyunda lazer diyon ile uyarılan cam malzemelerin floresans spektrumlarının, konsantrasyona bağlı olarak değişim gösterdiği gözlenmiştir. Cam malzemelerin floresans spketrumlarında 1470 nm, $^3F_4 \rightarrow ^3H_4$ geçisi ve 1800-nm, $^3H_4 \rightarrow ^3H_6$ geçisi, dalga boylarında iki farklı ışılma bandı gözlenmiştir. 1800 ve 1470-nm deki ışımala ait elektrik dipol geçişleri şu şekilde verilir [111]:

$$S^{ed}[^3H_4 \rightarrow ^3H_6] = 0.527\Omega_2 + 0.718\Omega_4 + 0.228\Omega_6$$

ve

$$S^{ed}[{}^3F_4 \rightarrow {}^3H_4] = 0.129\Omega_2 + 0.133\Omega_4 + 0.213\Omega_6$$

10. Sabit kompozisyon için, konsantrasyon değeri %0.2 mol den %1.0 mol değerine arttıkça, 1470-nm deki ışınmanın 1800-nm deki ışına ya göre değişimi, çapraz sönüm nedeniyle azalma göstermektedir. Çapraz sönüm olayında tulyum iyonlarının birbirlerine olan mesafelerinin kısa olması nedeniyle enerji transferi gerçekleşmektedir. 1800-nm dalga boyundaki ışına ise konsantrasyon miktarından bağımsız görülmektedir. %0.2 mol Tm^{3+} iyonu içeren malzemenin 1470-nm de fiber optik yükseltici olarak kullanılması daha uygun görülmektedir.

11. Elektrik dipol geçiş olasılıklarıyla ilgili olarak hesaplanan Judd-Ofelt şiddet parametreleri içinde Ω_2 değeri cam kompozisyonuna güçlü bir bağlılık göstermektedir ve PbF_2 miktarı arttıkça artmaktadır. Konak malzemedeki modifiye edici olarak kullanılan elemente Ω_2 değeri kuvvetli bir bağlılık göstermektedir. Ω_4 , Ω_6 değerleri ise Ω_2 değerlerine göre daha az bir değişim göstermektedir [112].

12. Cam malzemedeki modifiye edici kompozisyon miktarı arttıkça, 1470 ve 1800-nm daki iyonların yaşam süreleri azalma göstermektedir. 0.10 mol PbF_2 için 1470-nm deki ışınmalı yaşam süresi 0.413 ms iken 0.25 mol PbF_2 için 0.225 ms olmaktadır [113].

Sonuç olarak, 0.2 mol Tm^{3+} katkılı $0.9TeO_2-0.1PbF_2$ cam mazlemesinin 1470 nm dalga boyunda en yüksek ışınım kuvantum verimine sahip olması nedeniyle fiber optik yükseltici olarak kullanılması elverişli görülmektedir.

KAYNAKLAR

- [1] Snitzer, E. 1961. Optical maser action of Nd³⁺ in a barium crown glass, *Physical Review Letters*, 7(12) 445-446.
- [2] Yamane, M. and Asahara, Y., 2000. *Glasses for Photonics*, Cambridge.
- [3] Özen, G., Aydinalı A., , Cenk S., Sennaroğlu, A., 2003. Effect of composition on the spontaneous emission probabilities, stimulated emission cross-section and local environment of Tm³⁺ in TeO₂-WO₃, *Journal of Luminescence*, 101, 293-306.
- [4] Gun, F., 1995. *Laser Materials*, 13-16, Singapore.
- [5] Marjanovic, S., Toulouse, J., Jain H., Sandmann, C., Dierolf, V., Kortan, A.R., Kopylov, N., Ahrens, R.G., 2003. Characterization of new erbium-doped tellurite glasses and fibres, *Journal of Non-Crystalline Solids*, 322, 311-318.
- [6] Yamauchi, H., Murugan, G.S., Ohishi, Y., 2005. Optical properties of Er³⁺ and Tm³⁺ ions in a tellurite glass, *Journal of Applied Physics*, 97, 043505-1
- [7] Watts, R.K., Richter, H.J., 1972. Diffusion and transfer of optical excitation in YF₃:Yb,Ho, *Physical Review B*, 6, 1584-1589.
- [8] Wachtler, M., Speghini, A., Gatterer, K., Fritzer, H.P., Ajo, D., Betinelli, M., 1998. Optical properties of rare-earth ions in lead germanate glasses, *J. Am. Ceram. Soc.*, 81(8), 2045-52.
- [9] Xu S., Wang G., Zhang J., Dai S., Hu L., Jiang Z., 2004. Composition dependent upconversion of Er³⁺-doped PbF₂-TeO₂ glasses, *Journal of Non Cryst-Solids*, 336, 230-233.
- [10] Özen, G., Demirata, B., Öveçoğlu, M.L., 2001. Effect of composition on the thermal properties and spontaneous emission probabilities of Tm³⁺ - doped TeO₂-LiCl glass, *Journal of Mater. Res.* 16, 1381-1388.
- [11] Layne, C.B., Londermilk, W.H., Weber, M.J., 1977. Multiphonon relaxation of rare earth ions in oxide glasses, *Physical Review B*, 16(1), 10-20.
- [12] Stanworth, J.E., 1952. Tellurite glasses., *Nature*, 169, 581-582.

- [13] Ulrich, D.R., 1964. *J. Am. Ceram. Soc.* **47**, 595.
- [14] Wang, J.S., Snitzer, E., Vogel, E.M., Sigel, G.H., 1994. 1.47 1.88 and 2.8 μm emissions of Tm³⁺ and Tm³⁺-Ho³⁺-codoped tellurite glasses, *Journal of Luminescence*, **60-61**, 145-149.
- [15] Wang, J.S., Vogel, E.M., Snitzer, E., 1994. Tellurite glass: a new candidate for fiber devices, *Optical Materials*, **3**, 187-203.
- [16] Kim, S.H., Yoko, T., 1995. Nonlinear optical properties of TeO₂-based glasses: MO_x-TeO₂ (M=Sc, Ti, V, Nb, Mo, Ta, and W) binary glasses., *J. Am. Ceram. Soc.*, **78(4)**, 1061-1065.
- [17] Li, J., Sun, Z., Zhu, X., Zeng, H., Xu, Z., Wang, Z., Lin, J., Huang, W., Armstrong, R.S., Lay, P.A., 2004, Optical bistability for ZnO-Nb₂O₅-TeO₂ glasses, *Optical Materials*, **25**, 401-405.
- [18] Charton P., Armand P., 2004, X-ray absorption and Raman characterization of TeO₂-Ga₂O₃ Glasses, *Journal of Non-Crystalline Solids*, **333**, 307-315.
- [19] Wang, G., Zhang, J., Dai, S., Wen, L., Yang, J., Jiang, Z., 2005, Structural investigation on TeO₂-BiCl₃ glassy system, *Journal of Molecular Structure*, **750**, 1-6.
- [20] Wang, G., Zhang, J., Dai, S., Wen, L., Yang, J., Jiang, Z., 2005, Thermal analyses, spectral characterization and structural interpretation of Yb³⁺ doped TeO₂-ZnO-ZnCl₂ glasses, *Physics Letters A*, **341**, 285-290.
- [21] Sekiya, T., Mochida, N., Ogawa, S., 1994, Structural study of WO₃-TeO₂ glasses, *Journal of Non-Crystalline Solids*, **176**, 105-115.
- [22] Mattarelli, M., Chiappini, A., Montagna, M., Martucci, A., Ribaudo, A., Guglielmi, M., Ferrari, M., Chiasera, A., 2005, Optical spectroscopy of TeO₂-GeO₂ glasses activated with Er³⁺ and Tm³⁺ ions, *Journal of Non-Crystalline Solids*, **351**, 1759-1763.
- [23] Takabe, H., Nagano, Y., Morinaga, K., 1994. Effect network modifier on spontaneous emission probabilities of Er³⁺ in oxide glasses, *Journal of the American Ceramic Society*, **77(8)**, 2132.
- [24] Kabalci I., Özen G., Öveçoglu M.L., Kurt A., Demirbaş U., Sennaroğlu A., 2005. Luminescence properties and thermal analysis of Tm³⁺: TeO₂-PbF₂ glasses, *NATO ASI, Scottish University Summer School in Physics St Andrews*, (Poster), St Andrews, England, August 14-26.

- [25] **Jackson, S.D.**, 2004. Cross relaxation and energy transfer upconversion processes relevant to the functioning of 2 μm Tm³⁺-doped silica fibre lasers, *Optics Communications*, **230**, 197-203.
- [26] **Kadono, K., Yazawa, T., Shojiya, M., Kawamoto, Y.**, 2000. Judd-Ofelt analysis and luminescence property of Tm³⁺ in Ga₂S₃-GeS₂-La₂S₃ glasses, *Journal Of Non-Crystalline Solids*, **274**, 75-80.
- [27] **Yamauchi, H., Murugan, G.S., Ohishi, Y.**, 2005. Optical properties of Er³⁺ and Tm³⁺ ions in a tellurite glass, *Journal of Applied Physics*, **97**, 043505.
- [28] **Balda, R., Lacha, L.M., Fernandez, J., Fernandez-Navarro, J.M.**, 2005. Optical spectroscopy of Tm³⁺ ions in GeO₂-PbO-Nb₂O₅ glasses, *Optical Materials*, (In press).
- [29] **Atkins, P.W.**, 1998. *Physical Chemistry*, University of Oxford, Oxford.
- [30] **Cotton, S.**, 1991. Lantanides and actinides, Oxford University press, New York.
- [31] **Kabalci, I., Özen, G., Kurt, A., Demirbaş, U., Sennaroğlu, A.**, 2004. Spectroscopic properties of Tm³⁺: TeO₂-PbF₂ glasses in the near infrared., *Proc. SPIE*, Vol. **5460**, September 24, 195-203.
- [32] **Sennaroğlu, A., Kabalci, I., Kurt, A., Demirbaş, U., Özen, G.**, 2006. Spectroscopic properties of Tm³⁺: TeO₂-PbF₂ glasses in the near infrared, *Journal of Luminescence*, **116**, 79-86.
- [33] **Taylor, E., Ng, L.N., Sessions, N.P.**, 2002. Spectroscopic of Tm³⁺-doped tellurite glasses for 1470 nm fiber amplifier, *Journal of Applied Physics*, **92-I**, 112-117.
- [34] **Kim, S.H., Yoko, T.**, 1995. Nonlinear optical properties of TeO₂-based glasses: MO_x-TeO₂ (M=Sc, Ti, V, Nb, Mo, Ta, and W) binary glasses., *J. Am. Ceram. Soc.*, **78(4)**, 1061-1065.
- [35] **Weber, M.J.**, 1971. Luminescence decay by energy migration and transfer: Observation of diffusion-limited relaxation, *Physical Review B*, **4(9)**, 2932-2939.
- [36] **Spector, N., Reisfeld, R., Boehm, L.**, 1977. Eigenstates and radiative transition probabilities for Tm³⁺ (4f¹²) in phosphate and tellurite glasses, *Chemical Physics Letter*, **1**, 49-53.
- [37] **Blanchandin, S., Marchet, P., Thomas, P., Champarnaud-Mesjard, J.C., Frit, B.**, 1999. New investigations within the TeO₂-WO₃ system:

- phase equilibrium diagram and glass crystallization, *Journal of Materials Science*, **34**, 4285-4292.
- [38] El-Damrawi, G., 2000. Transport behaviour of PbO-PbF₂-TeO₂ glasses, *Phys. Stat. Sol.*, **177**, 385-392.
- [39] Sekiya T., Mochida, N., Ohsushi, A., Tonokawa, M., 1992, Raman spectra of MO_{1/2}-TeO₂ (M=Li,Na, K, Rb, Cs, and Tl) glasses, *Journal of the Non-Crystalline Solids*, **144**, 128-144.
- [40] Silva, M.A.P., Briois V., Poulain, M., Messaddeq, Y., Ribeiro, S.J.L., 2003. SiO₂-PbF₂-CdF₂ glasses and glass ceramics, *Journal of Physics and Chemistry of Solids*, **64**, 95-105.
- [41] Silva, M.A.P., Messaddeq, Y., Briois, V., Poulain, M., Villain, F., Ribeiro, S.J:L., 2002. Synthesis and structural investigations on TeO₂-PbF₂-CdF₂ glasses and transparent glass-ceramics, *Journal of Physics Chemistry of Solids*, **63**, 605-612.
- [42] El-Mallawany, R., 2002. Tellurite glasses handbook, CRC Press., Boca Raton.
- [43] Weber, M.J., 1961. Probabilities for radiative and nonradiative decay Er³⁺ in LaF₃, *Physical Review*, **157**(2), 262-272.
- [44] Özsoy, S., 2001. *Fiber Optik*, İstanbul.
- [45] Silva, M.A.P., Briois, V., Poulain, M., Messaddeq, Y., Ribeiro, S.J.L., 2003. SiO₂-PbF₂-CdF₂ glasses and glass ceramics, *Journal of Physics and Chemistry of Solids*, **64**, 95-105
- [46] Brock, W.H., 1993. The Norton History of chemistry, 1st ed. W.W. Norton and Company.
- [47] Digonaet, M.J.F., 1993. Rare-Earth Doped fiber lasers and amplifiers, New York, 25.
- [48] Xu, S., Wang, G., Zhang, J., Dai, S., Hu, L., Jiang, Z., 2004. Composition dependent upconversion of Er³⁺-doped PbF₂-TeO₂ glasses, *Journal of Non Cryst-Solids*, **336**, 230-233.
- [49] Malta, O.L., Carlos, L.D., 2003. Intensities of 4f-4f transitions in glass materials, *Quim. Nova*. Vol. **26**, 889-895.
- [50] Saleh, B.E.A., Teich, M.C., 1991. Fundamental of Photonics A Wiley-Interscience Publication, New York.
- [51] Judd, B.R., 1962. Optical absorption intensities of rare-earth ions, *Physical Review.*, **127**, pp.750-761.

- [52] **Ofelt, G.S.**, 1962. Intensities of crystal spectra of rare-earth ions, *The Journal of Chemical Physics*, **37**, pp.511-520.
- [53] **Kaminskii, A.A.**, 1990. *Laser Crystals*, Chapter 4, Springer-Verlag, Berlin.
- [54] **Bowlby, B.E., Di Bartolo, B.**, 2002. Applications of the Judd-Ofelt theory to the praseodymium ion in laser solids, *Jurnal of Luminescence*, **100**, 131-139.
- [55] **Han, Y.S., Heo, J., Shin, Y.B.**, 2003. Cross relaxation mechanism among Tm³⁺ ions in Ge₃₀Ga₂As₆S₆₂ glass, *Journal of Non Cryst-Solids*, **316**, 302-308.
- [56] **Yokota, M., Tanimoto, O.**, 1967. Effects of diffusion on energy transfer by resonance, *Journal of the Physical Society of Japan*, **22**(3), 779-784.
- [57] **Sennaroğlu, A., Kurt, A., Özen, G.**, 2004. Effects of cross relaxation on the 1470 and 1800 nm emissions in Tm³⁺:TeO₂-CdCl₂ glass, *J.Phys.:Condens. Matter* **16**, 2471-2478.
- [58] **Yeh, D.C., Petrin, R.R., Sibley, W.A., Madigou, V., Adam, J.L., Suscavage, M.J.**, 1989. Energy transfer between Er³⁺ and Tm³⁺ ions in a barium fluoride-thorium fluoride glass, *Physical Rev. B*, **39**, 80-90.
- [59] **Walsh, B.M., Barnes, N.P., Di Bartolo, B.**, 1997. On the distribution of energy between Tm ³F₄ and Ho ⁵I₇ manifolds in Tm-sensitized Ho luminescence, *Journal of Luminescence*, **75**, 89-98.
- [60] **Richardson, L.J., Bonner, C.E., Lewis, J., Loutss, G.B., Rodriguez, W.J., Walsh, B.M.**, 2004. Temperature dependence on the cross-relaxation rates in Tm³⁺ doped strontium fluorapatite, *Journal of Luminescence*, **109**, 129-133.
- [61] **Camargo, A.S.S. de., Oliveira, S.L., Sousa, D.F., Nunes, L.A.O., Hewak, D.W.**, 2002. Spectroscopic properties and energy transfer parameters of Tm³⁺ ions in gallium lanthanum sulfide glass, *J.Phys.: Cond. Matt.*, **14**, 9495-9505.
- [62] **Strekanth-Chakradhar, R.P., Ramwsh, K.P., Rao, J.L., Ramakrishna, R.J.**, 2003. Mixed alkali effect in borate glasses-EPR and optical absorption studies in xNa₂O-(3-x)K₂O-70B₂O₃ glasses doped with Mn²⁺, *J. Physics and Chemistry of Solids*, **64**, 641-650.
- [63] **Prakash, G.V., Narayana-Rao, D., Bhatnagar, A.K.**, 2001. Linear optical properties of niobium-based tellurite glasses, *Solid State Communication*, **119**, 39-44.

- [64] Davis E., Mott N., 1970. Conduction in non-crystalline systems V. Conductivity, optical absorption and photoconductivity in amorphous semiconductors., *Philos. Mag.*, **22**, 903.
- [65] Matusita, K., Komatsu, T., Yokota, R., 1984. Kinetics of non-isothermal crystallization process and activation energy for crystal growth in amorphous materials, *Journal of Materials Science*, **19**, 291-296.
- [66] Matusita, K., Sakka, S., 1980. Kinetics study on crystallization of glass by differential thermal analysis-criterion on application of Kissinger plot, *Journal of Non-Cryst. Solids*, **38-39**, 741-746.
- [67] Öveçoğlu, M.L. Özen, G. Demirata, B. Genç, A., 2001. Microstructural characterization and crystallization kinetics of $(1-x)\text{TeO}_2-x\text{LiCl}$ ($x=0.6-0.4$ mol) glasses, *Journal of the European Ceramic Society*, **21**, 177-183.
- [68] Cenk, S., Demirata, B., Öveçoğlu, M.L., Özen, G., 2001. Thermal properties and optical transition probabilities of Tm^{3+} doped TeO_2-WO_3 glass, *Spectrochimica Acta Part A*, **57**, 2367-2372.
- [69] Erol, M., Küçükbayrak, S., Meriçboyu, A.E., Öveçoğlu, M.L., 2001. Crystallization behaviour of glasses produced from fly ash, *Journal of the European Ceramic Society*, **21**, 2835-2841.
- [70] Jain, R., Saxena, N.S., Bhandari, D., Sharna, S.K., Rao, K.V.R., 2001. Crystallization kinetics of $\text{Cu}_x\text{Ti}_{100-x}$ ($x=43, 40$ and 53) glasses, *Physica B*, **301**, 241-348.
- [71] Kabalci, I., Özen, G., Öveçoğlu, M.L., 2004. Structural properties and crystallization kinetics of $\text{TeO}_2-\text{PbF}_2$ glass, *VIII. ULUSAL SİVİHAL FİZİĞİ SEMPOZYUMU*, İstanbul, Eylül 24-26.
- [72] Hatakeyama, T., Quinn, F.X., 1995, Thermal Analysis, JOHN WILEY&SONS, Chichester.
- [73] Dood, J.W. Tonge, K.H. Currel B.R., 1987. Thermal Methods, JOHN WILEY&SONS, Chichester.
- [74] Cenk, S., 2002. Tulyum iyonu ile katkılanmış telüryüm tungsten oksit camlarının optik özellikleri, termal analizi ve mikroyapı karakterizasyonu, *Doktora Tezi*, İ.T.Ü. Fen Bilimleri Enstitüsü, İstanbul.

- [75] **Donald, I.W.**, 1995. The crystallization kinetics of a glass based on the cordierite composition studied by DTA and DSC, *Journal of Materials Science*, **30**, 904-915.
- [76] **Byrne, J. G.**, 1965. Recovery, Recrystallization and Grain Growth, The Macmillan Co., New York.
- [77] **Reed-Hill, R. E.**, 1973. Physical Metallurgy Principles, pp. 267-325, Litton Educational Publishing, New York.
- [78] **Askeland, D. R.**, 1990. The Science and Engineering of Materials, pp. 186-217, Chapman and Hall, London.
- [79] **Avner, S. H.**, 1974. Introduction to Physical Metallurgy, pp. 129-147, McGraw-Hill Book Company, New York.
- [80] **Cheng, K., Wan, J., Liang, K.**, 1999. Differential thermal analysis on the crytsallization kinetics, *J. Am. Ceram. Soc.*, **82(5)** 1212-1216.
- [81] **Jain, R., Saxena, N.S., Bhandari, D., Sharma, S.K., Rao, K.V.R.**, 2001. Crystallization kinetics of $\text{Cu}_x\text{Ti}100_{1-x}$ ($x=43, 50$, and 53) glasses, *Physica B*, **301**, 341-348.
- [82] **Kowada, Y., Morimoto, K., Adachi, H., Tatsumisago, M., Minami, T.**, 1996. Electronic states of binary tellurite glasses, *Journal of Non-Crystalline Solids*, **196**, 1204-209.
- [83] **Avramov, I., Guinev, G., Rodrigues, A.C.M.**, 2000. Thermal analysis of $\text{Li}_2\text{O}-\text{TeO}_2$ glass, *Journal of Non-Crystalline Solids*, **271**, 12-17.
- [84] **Dimitriev, Y.B., Bursukova, M.A., Kashchieva, E.P.**, 1997. Short range order in $\text{TeO}_2-\text{B}_2\text{O}_3-\text{SiO}_2$ glasses, *Journal of Materials Science Letters*, **16**, 1622-1624.
- [85] **Cheng, K.**, 1999. Determining crystallization kinetic parameters of $\text{Li}_2\text{O}-\text{Al}_2\text{O}_3-\text{SiO}_2$ glass from derivative differential thermal analysis curves, *Materials Science and Engineering*, **B60**, 194-199.
- [86] **Omar, M.A.**, 1993, Elementary Solid State Physics, Addison Wesley Longman, Reading.
- [87] **Pan, A., Ghosh, A.**, 1999-II. Activation energy and conductivity relaxation of sodium tellurite glasses, *Physical Review B*, **59(2)**, 899-904.
- [88] **Wilson, J., Hawkes, J.F.B.**, 2000. Optoelektronik, Çev.İ.Okur, Adapazarı.

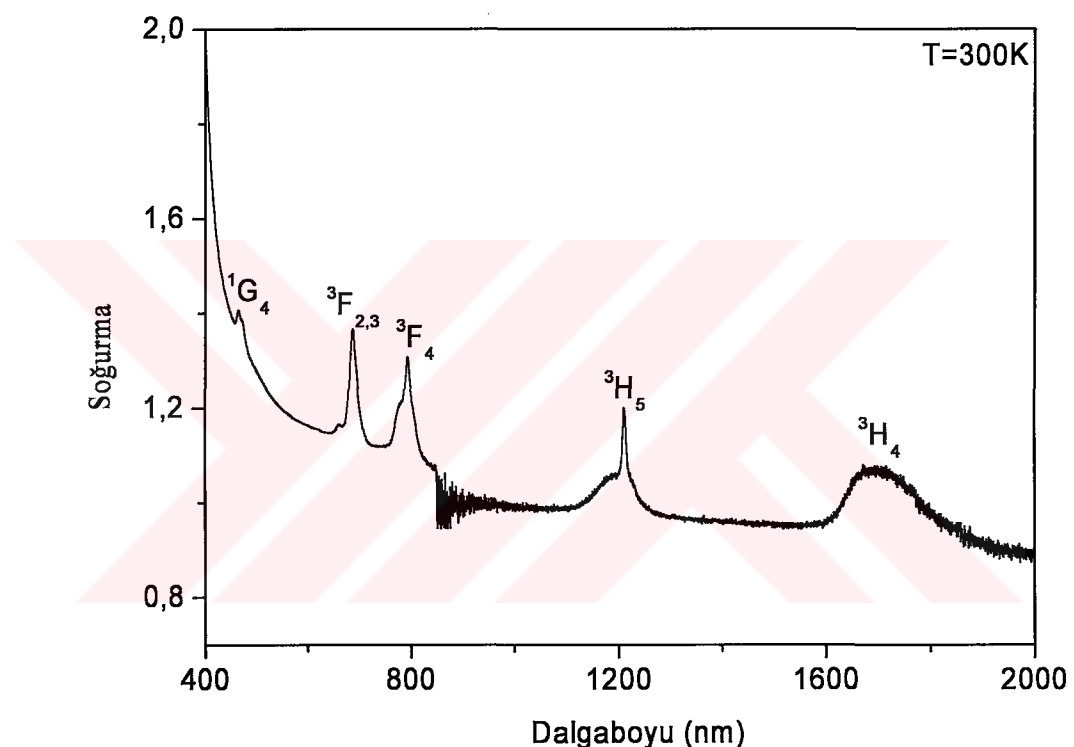
- [89] **Powder Diffraction File**, Card no. 42-1365, 1992. Database Edition, Joint Committee on Powder Diffraction Standards (JCPDS), Swathmore, PA, U. S. A.
- [90] **Powder Diffraction File**, Card no. 37-1392, 1992. Database Edition, Joint Committee on Powder Diffraction Standards (JCPDS), Swathmore, PA, U. S. A.
- [91] **Goldstein, J.I., Newbury, D.E., Echlin P., Joy D.C., Romig A.D., Lyman C.E., Fiori C., Lifshin E.**, 1992. Scanning Electron Microscopy and X-Ray Microanalysis, Plenum Press, NewYork, **69**,115.
- [92] **Holt, D.B., Muir, M.D., Grant, P.R., Boswara, I.M.**, 1974, Quantitative Scanning Electron Microscopy, Academic Press, London.
- [93] **Hearle, J.W.S., Sparrow, J.T., Cross, P.M.**, 1972, The use of the Scanning Electron Microscopy, Pergamen Press Ltd., Oxford.
- [94] **Speyer, R.F.**, 1994. Thermal analysis of materials, New York.
- [95] **Kabalci, I., Özen, G., Öveçoğlu, M.L.**, 2005. Thermal analysis and microstructural characterization of $(1-x)\text{TeO}_2\text{-xPbF}_2$ glasses, *23th International Physics Congress*, Turkish Physical Society, Mugla, Turkiye, September 13-16.
- [96] **Öveçoğlu, M.L., Kabalci, I., Öz, B., Özen, G.**, 2005. Crystallization kinetics of $(1-x)\text{TeO}_2\text{-xPbF}_2$ ($x=0.15$, and 0.25 mol%) glasses, *Proceedings, IX Conference of the European Ceramic Society*, Portoroz, Slovenia, June 19-23.
- [97] **Kashchieva, E.P., Dimitriev, Y.B.**, 1997. Unusual immiscibility in tellurite glasses, *J.Am. Ceram. Soc.* **80**(6) 1588-1590.
- [98] **Ozawa, T.**, 1971. Kinetics of non-isothermal crystallization., *Polymer*, **12**, 150-158.
- [99] **Kissinger, H.E.**, 1957. Reaction kinetics in different thermal analysis., *Anal. Chem.*, **29**, 1702-1706.
- [100] **Komatsu, T., Noguchi, T., Benino, Y.**, 1997. Heat capacity changes and structural relaxation at glass transition in mixed-alkali tellurite glasses, *Journal of Non-Crystalline Solids*, **222**, 206-211.
- [101] **Kabalci, I., Özen, G., and Sennaroğlu, A.**, 2006. Radiative lifetime and Quantum efficiency of Tm^{3+} -doped $\text{TeO}_2\text{-PbF}_2$ glasses, *IX. ULUSAL SİVİHAL FİZİĞİ SEMPOZYUMU*, İstanbul, Eylül 24-26.

- [102] **Zhao, H., Zhou, W., Li, Y., Wu, J.**, 2002. Nucleation and Crystallization of a Lead Halide Phosphate Glass by Differential thermal Analysis, *Journal of Am. Ceram. Soc.*, **85**(4), 903-908.
- [103] **Li, W., Mitchell, B.S.**, 1999. Nucleation and crystallization in calcium aluminate glasses, *Journal of Non-Crystalline Solids*, **255**, 199-207.
- [104] **Xu, X., Ray, C.S., Day, D.E.**, 1991. Nucleation and Crystallization of $\text{Na}_2\text{O} \cdot 2\text{CaO} \cdot 3\text{SiO}_2$ Glass by Differential Thermal Analysis, *J. Am. Ceram. Soc.*, **74**(5), 909-914.
- [105] **Karamanov, A., Pelino, M.**, 2001. Influence of the nucleation time-lag on the activation energy in non-isothermal crystallization, *Journal of Non-Crystalline Solids*, **290**, 173-179.
- [106] **Tanebe, S., Ohyagi, T., Todoroki, S., Hanada, T., Soga, N.**, 1993. Relation between the Ω_6 intensity parameter of Er^{3+} ions and the ^{151}Eu isomer shift in oxide glasses, *Journal of Applied Phys.*, **73**(12), 8451-8454.
- [107] **Tanaka, K., Hirao, K., Kashima, K., Benino, Y., Soga, N.**, 1997, *Phys. Chem. Glasses*, **38**, p.87.
- [108] **Tanebe, S.**, 1999. Optical transitions of rare earth ions for amplifiers: how the local structure works in glass, *Journal of Non-Crystalline Solids*, **259**, 1-9.
- [109] **Tanabe, S.**, 2002. Rare-earth-doped glasses for fiber amplifiers in broadband telecommunication, *C.R. Chimie*, vol. **5**, 815-824.
- [110] **Kabalci, I., Özen G., Öveçoğlu, M.L., Sennaroğlu, A.**, 2005. Thermal study and linear optical properties of $(1-x)\text{TeO}_2-x\text{PbF}_2$ ($x=0.10, 0.15$ and 0.25 mol) glasses, *Journal of Alloys and Compounds*, (Baskıda).
- [111] **Kabalci, I., Özen, G., Kurt A., Sennaroğlu, A.**, 2004. Composition dependence of the intensity parameters in $\text{TeO}_2\text{-PbF}_2:\text{Tm}^{3+}$ glasses, *MRS (Material Research Society)*, Proc. Volume 829, Boston, USA, December 3.
- [112] **Özen G., Kabalci I., Sennaroğlu A., Kurt A., John M. J.M., Chen X., Forte F., and DiBartolo B.**, 2004. Effect of the local structure on the spontaneous and stimulated emission probabilities of Tm^{3+} in $\text{TeO}_2\text{-ZnO}$ glass, *MRS (Material Research Society)*, Proc. Volume 848, Boston, USA, December 3.

[113] **Kabalci, I., Özen, G., Kurt A., Demirbas, U., Sennaroğlu, A.**, 2003. Tm^{+3} Katkili $(1-x)TeO_2-(x)PbF_2$ Camlarinin Yakin-Kizilalti Bolgesindeki Spektroskopik Ozellikleri, (Poster presentation at *5th Turkish Workshop on Electro-Optics and Photonics*, Middle East Technical University (METU), Ankara, Turkey, Aralik12.

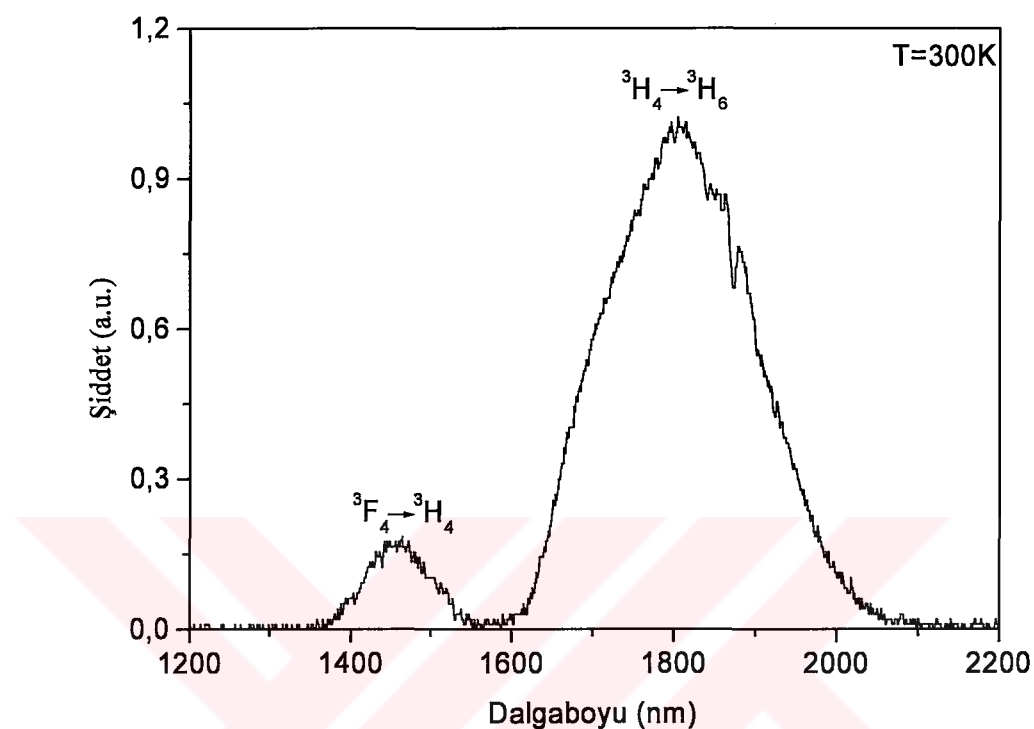
EKLER

EK-A : SOĞURMA SPEKTRUMLARI



Şekil A.1 : $0.85\text{TeO}_2 - 0.15\text{PbF}_2$ camı için $400-2000$ nm dalga boyunda %1.0 mol Tm^{3+} iyonunun soğurma bandının kompozisyonuna bağımlılığı.

EK-B : FLORESANS SPEKTRUMLARI



Şekil B.1 : Dalgaboyuna bağlı olarak $0.90\text{TeO}_2\text{-}0.10\text{PbF}_2$ camı için %1.0 mol Tm^{3+} iyonunun ölçülen salınım şiddeti.

EK-C: OPTİK SPEKTRUM ÖLÇÜMÜ SONUÇLARI

Tablo C.1: Tm^{3+} iyonunun $0.9TeO_2-0.1PbF_2$ camındaki ışımlı geçiş olasılıkları, A_{ed} , ışımlı yaşam süreleri, $\tau_R(ms)$, ve dallanma oranları, β değerleri.

Geçişler	Ortalama frekans (cm^{-1})	$A_{ed}(s^{-1})$	$\tau_R(ms)$	β
(a) $0.9TeO_2-$				
$0.1PbF_2$				
$^1G_4 \rightarrow ^3H_6$	21598.3	1388.54	0.378	0.525
3H_4	15774.8	305.503		0.115
3H_5	9018.07	412.772		0.156
3F_4	8935.24	398.515		0.151
3F_3	7126.49	115.275		0.043
3F_2	6428.37	25.056		0.009
$^3F_2 \rightarrow ^3H_6$	15169.9	1329.49	0.457	0.607
3H_4	9346.47	821.444		0.375
3H_5	2589.7	21.3523		0.009
3F_4	2506.87	17.6414		0.008
$^3F_3 \rightarrow ^3H_6$	14471.8	2382.7	0.410	0.976
3H_4	8648.35	57.6674		0.024
3H_5	1891.58	0.000894128		0
$^3F_4 \rightarrow ^3H_6$	12663	0.000205122	0.472	0.814
3H_4	6839.6	150.107		0.061
3H_5	82.8378	1966.24		0
$^3H_4 \rightarrow ^3H_6$	5823.43	299.143	3.342	0.124

Tablo C.2: Tm^{3+} iyonunun $0.85TeO_2-0.15PbF_2$ camındaki ışımalı geçiş olasılıkları, A_{ed} , ışımalı yaşam süreleri, $\tau_R(ms)$, ve dallanma oranları, β değerleri.

Geçişler	Ortalama frekans (cm^{-1})	$A_{ed}(s^{-1})$	$\tau_R(ms)$	β
(b) $0.85TeO_2-0.15PbF_2$				
$^1G_4 \rightarrow ^3H_6$				
	21565.7	1544.6	0.306	0.472021
3H_4	15901.2	227.306		0.0694636
3H_5	13441.5	1027.61		0.314031
3F_4	9009.16	370.275		0.113154
3F_3	7093.89	80.7696		0.0246827
3F_2	6391.16	21.754		0.00664789
$^3F_2 \rightarrow ^3H_6$	15174.5	819.417	0.471	0.386727
3H_4	9510.07	1047.06		0.494163
3H_5	7050.37	229.143		0.108145
3F_4	2618	23.2322	0.541	0.0109646
$^3F_3 \rightarrow ^3H_6$	14471.8	1644.22		0.889742
3H_4	8807.34	37.2121		0.0201367
3H_5	6347.64	166.543		0.0901216
$^3F_4 \rightarrow ^3H_6$	12556.5	31.4896	0.519	0.783291
3H_4	6892.07	149.242		0.0669912
3H_5	4432.37	1745.01		0.0141349
$^3H_4 \rightarrow ^3H_6$	5664.44	302.049	3.310	0.135582

Tablo C.3: Tm^{3+} iyonunun $0.83TeO_2-0.17PbF_2$ camındaki ışımalı geçiş olasılıkları, A_{ed} , ışımalı yaşam süreleri, $\tau_R(ms)$, ve dallanma oranları, β değerleri.

Geçişler	Ortalama frekans (cm^{-1})	$A_{ed}(s^{-1})$	$\tau_R(ms)$	β
(b) $0.83TeO_2-$				
$0.17PbF_2$				
$^1G_4 \rightarrow ^3H_6$	21528.5	2342.16	0.195	0.455853
3H_4	15904.9	352.229		0.068554
3H_5	13113.9	1638.72		0.318942
3F_4	8994.06	642.039		0.12496
3F_3	7248.93	134.01		0.0260823
3F_2	6406.8	28.8186		0.00560894
$^3F_2 \rightarrow ^3H_6$	15121.7	1372.82	0.288	0.394915
3H_4	9498.07	1807.87		0.520065
3H_5	6707.05	258.381		0.0743277
3F_4	2587.26	37.1703		0.0106927
$^3F_3 \rightarrow ^3H_6$	14279.6	2407.74	0.371	0.894016
3H_4	8655.93	63.6237		0.0236241
3H_5	5864.92	221.81		0.0823601
$^3F_4 \rightarrow ^3H_6$	12534.5	27.7068	0.314	0.800265
3H_4	6910.81	242.066		0.0664051
3H_5	4119.79	2917.2		0.00760071
$^3H_4 \rightarrow ^3H_6$	5623.66	458.321	2.182	0.12573

Tablo C.4: Tm³⁺ iyonunun 0.80TeO₂-0.20PbF₂ camındaki ışımalı geçiş olasılıkları, A_{ed}, ışımalı yaşam süreleri, τ_R(ms), ve dallanma oranları, β değerleri.

Geçişler	Ortalama frekans (cm ⁻¹)	A _{ed} (s ⁻¹)	τ _R (ms)	β
(b) 0.80TeO ₂ - 0.20PbF ₂				
¹ G ₄ → ³ H ₆	21450	3176.17	0.151	0.478596
³ H ₄	15748	403.17		0.060751
³ H ₅	13004	2037.25		0.306979
³ F ₄	8866	842.448		0.126943
³ F ₃	7084	146.275		0.0220412
³ F ₂	6259	31.1215		0.0046895
³ F ₂ → ³ H ₆	15190	1603.87	0.217	0.348378
³ H ₄	9489	2649.3		0.57546
³ H ₅	6744	296.179		0.0643336
³ F ₄	2607	54.4537		0.011828
³ F ₃ → ³ H ₆	14365	2732.51	0.319	0.872636
³ H ₄	8664	73.4134		0.0234448
³ H ₅	5919	325.404		0.103919
³ F ₄ → ³ H ₆	12583.4	30.1241	0.231	0.7978
³ H ₄	6881.79	322.41		0.0646094
³ H ₅	4137.42	3981.13		0.00603672
³ H ₄ → ³ H ₆	5701.58	656.473	1.523	0.131554

Tablo C.5: Tm^{3+} iyonunun $0.78TeO_2-0.22PbF_2$ camındaki ışımalı geçiş olasılıkları, A_{ed} , ışımalı yaşam süreleri, $\tau_R(ms)$, ve dallanma oranları, β değerleri.

Geçişler	Ortalama frekans (cm^{-1})	$A_{ed}(s^{-1})$	$\tau_R(ms)$	β
(b) $0.78TeO_2-$				
$0.22PbF_2$				
$^1G_4 \rightarrow ^3H_6$	21514	2311.04	0.192	0.443936
3H_4	15899	370.125		0.0710985
3H_5	13206	1748.66		0.335906
3F_4	8801	612.885		0.117731
3F_3	7132	134.775		0.0258893
3F_2	6333	28.3198		0.00544003
$^3F_2 \rightarrow ^3H_6$	15181	1500.09	0.273	0.410304
3H_4	9566	1821.94		0.498337
3H_5	6873	302.09		0.0826278
3F_4	2468	31.9201		0.0087308
$^3F_3 \rightarrow ^3H_6$	14382	2656.91	0.333	0.886331
3H_4	8767	74.1162		0.0247247
3H_5	6073	266.625		0.0889447
$^3F_4 \rightarrow ^3H_6$	12712	33.4877	0.294	0.804973
3H_4	7097	264.316		0.0687134
3H_5	4404	3096.45		0.00870568
$^3H_4 \rightarrow ^3H_6$	5615	452.396	2.210	0.117608

Tablo C.6: Tm^{3+} iyonunun $0.75TeO_2-0.25PbF_2$ camındaki ışımalı geçiş olasılıkları, A_{ed} , ışımalı yaşam süreleri, $\tau_R(ms)$, ve dallanma oranları, β değerleri.

Geçişler	Ortalama frekans (cm^{-1})	$A_{ed}(s^{-1})$	$\tau_R(ms)$	β
(b) $0.75TeO_2-$ $0.25PbF_2$				
$^1G_4 \rightarrow ^3H_6$	21470	2384.94	0.195	0.465834
3H_4	15765	323.656		0.0632175
3H_5	13364	1662.9		0.324802
3F_4	8842	606.806		0.118523
3F_3	7029	114.695		0.0224027
3F_2	6293	26.7274		0.00522048
$^3F_2 \rightarrow ^3H_6$	15176	1264.94	0.288	0.364911
3H_4	9472	1859.72		0.536492
3H_5	7070	305.122		0.0880217
3F_4	2548	36.6593		0.0105755
$^3F_3 \rightarrow ^3H_6$	14440	2295.83	0.376	0.863411
3H_4	8735	58.7036		0.0220772
3H_5	6334	304.488		0.114512
$^3F_4 \rightarrow ^3H_6$	12627	36.6914	0.308	0.793689
3H_4	6923	244.422		0.065419
3H_5	4521	2965.42		0.00982037
$^3H_4 \rightarrow ^3H_6$	5704	489.715	2.042	0.131071

Ek-D

Tablo D.1: Deneysel Malzemelerin özellikleri

	TeO ₂	PbF ₂	Tm ₂ O ₃					
	X=10	X=15	X=17	X=20	X=22	X=25	X=10, y=0.5	X=10, y=0.2
Cam Bileşeni	90TeO ₂ - 10PbF ₂	85TeO ₂ - 15PbF ₂	83TeO ₂ - 17PbF ₂	80TeO ₂ - 20PbF ₂	78TeO ₂ - 22PbF ₂	75TeO ₂ - 25PbF ₂	90TeO ₂ - 10PbF ₂	90TeO ₂ - 10PbF ₂
Kodu	TPF2- Tm4	TPF6- Tm4	TPF7- Tm4	TPF5- Tm4	TPF8- Tm4	TPF3- Tm4	TPF2- Tm5	TPF2- Tm2
Tm ₂ O ₃ , mol%	1	1	1	1	1	1	0,5	0,2
Hesaplanan TeO ₂ , g	3,3401	3,0778	5,2093	2,8283	4,7806	2,5901	3,3781	3,401
Ölçülen TeO ₂ , g	3,3402	3,0774	5,2086	2,829	4,7807	2,591	3,3792	3,4018
Hesaplanan PbF ₂ , g	0,57	0,8344	1,6391	1,0863	2,0713	1,3264	0,5765	0,5804
Ölçülen PbF ₂ , g	0,5702	0,8406	1,6484	1,0882	2,0704	1,3275	0,5766	0,5802
Hesaplanan Tm ₂ O ₃ , g	0,0897	0,0875	0,1514	0,0854	0,1479	0,0834	0,0453	0,0183
Ölçülen Tm ₂ O ₃ , g	0,0896	0,082	0,1512	0,0826	0,1478	0,0815	0,045	0,018
Total, g	4	4	7	4	7	4	4	4
Pt, Kroze, g	25,004	24,9974	24,9404	24,9985	24,9307	25,0046	24,9827	25,0223
Eritme sıcaklığı, °C	800	800	800	800	800	800	800	800
Bekleme süresi,dak	60	60	60	60	60	60	60	60
n, mol	2,0928	1,9285	3,264	1,7721	2,9954	1,6229	2,1166	2,131
Eritme sayısı	2	2	2	2	2	2	2	2
Tavılama sıcaklığı, °C	285	285	250	285	250	275	250	250
Tavılama süresi, dak	40	40	60	40	60	40	120	120
Kalınlık,mm	1,53	1,036	0,71	0,55	0,82	0,8	1,65	0,72
T _g , °C	310	305		297		288	281	302
T _m , °C	485	528		499		499	522	518
Kırılma indisi	2,057	2,057	2,057	2,057	2,057	2,057	2,057	2,057
TeO ₂ Aldrich	99.999%, pure	99.999%, pure	99.999%, pure	99.999%, pure	99.999%, pure	99.999%, pure	99.999%, pure	99.999%, pure
PbF ₂ Aldrich	99+% pure	99+% pure	99+% pure	99+% pure	99+% pure	99+% pure	99+% pure	99+% pure
Tm ₂ O ₃ Sigma	99.9% pure	99.9% pure	99.9% pure	99.9% pure	99.9% pure	99.9% pure	99.9% pure	99.9% pure

EKE: Erkeni Sinyalleri



S. Hüfner, in S. P. Sipha (ed.), *Structure and Properties of the Lanthanides*, Reidel, Dordrecht, 1983;

ÖZGEÇMİŞ

1972 Kahramanmaraş-Andırın doğumlu. İlk, orta ve lise eğitimini Kahramanmaraş'ta tamamladı. 1987 yılında Selçuk Üniversitesi Fen-Edebiyat Fakültesi – Fizik Bölümüne girdi. 1991 yılında Fizik Bölümünden başarıyla mezun oldu. 1991–93 yıllarında Adıyaman - Kahta Lisesi'nde Fizik öğretmeni olarak görev yaptı. 1994–1997 yılları arasında Selçuk Üniversitesi Fen Bilimleri Enstitüsü, Fizik Anabilim dalında Yüksek Lisans eğitimini tamamladı. 1997–1998 yıllarında Gebze-Yükseklere Teknoloji Enstitüsü Fizik Bölümü'nde Doktora eğitimi devam etti. 1999 yılında İ.T.Ü. Fen Bilimleri Enstitüsü Fizik Mühendisliği Anabilim dalında Doktora eğitimi devam etti. Halen, çalışmaları, FT-IR ve Raman spektroskopisi, yeni-lazer-malzemelerinin sentezi ve spektroskopik olarak araştırılması üzerine devam etmektedir.